

IDENTIFIKASI TANAMAN ATSIRI MENGGUNAKAN METODE *IMPROVED K-MEANS* BERBASIS CITRA SATELIT

SKRIPSI

Untuk memenuhi sebagian persyaratan
memperoleh gelar Sarjana Komputer

Disusun oleh :
Muhammad Syaifuddin Zuhri
NIM : 115060800111040



PROGRAM STUDI INFORMATIKA / ILMU KOMPUTER
PROGRAM TEKNOLOGI INFORMASI DAN ILMU KOMPUTER
UNIVERSITAS BRAWIJAYA
MALANG
2015

PENGESAHAN

IDENTIFIKASI TANAMAN ATSIRI MENGGUNAKAN METODE *IMPROVED K-MEANS*
BERBASIS CITRA SATELIT

SKRIPSI

Diajukan untuk memenuhi sebagian persyaratan
memperoleh gelar Sarjana Komputer

Disusun Oleh :
Muhammad Syaifuddin Zuhri
NIM: 115060800111040

Skripsi ini telah diuji dan dinyatakan lulus pada
31 Desember 2015
Telah diperiksa dan disetujui oleh:

Dosen Pembimbing I

Dosen Pembimbing II

Candra Dewi, S.Kom, M.Sc.
NIP: 19771114 200312 2 001

Budi Darma Setiawan, S.Kom, M.Cs.
NIP: 19841015 201404 1 002

Mengetahui
Ketua Program Studi Informatika / Ilmu Komputer

Drs. Marji, M.T.
NIP: 19670801 199203 1 001

PERNYATAAN ORISINALITAS

Saya menyatakan dengan sebenar-benarnya bahwa sepanjang pengetahuan saya, di dalam naskah skripsi ini tidak terdapat karya ilmiah yang pernah diajukan oleh orang lain untuk memperoleh gelar akademik di suatu perguruan tinggi, dan tidak terdapat karya atau pendapat yang pernah ditulis atau diterbitkan oleh orang lain, kecuali yang secara tertulis disitasi dalam naskah ini dan disebutkan dalam daftar pustaka.

Apabila ternyata didalam naskah skripsi ini dapat dibuktikan terdapat unsur-unsur plagiasi, saya bersedia skripsi ini digugurkan dan gelar akademik yang telah saya peroleh (sarjana) dibatalkan, serta diproses sesuai dengan peraturan perundang-undangan yang berlaku (UU No. 20 Tahun 2003, Pasal 25 ayat 2 dan Pasal 70).

Malang, 5 Desember 2015



Muhammad Syaifuddin Zuhri

NIM: 115060800111040



KATA PENGANTAR

Puji syukur kehadirat Allah SWT yang telah mencerahkan segala rahmat dan karunia-Nya sehingga penulis dapat menyelesaikan skripsi ini. Tidak lupa shalawat dan salam kepada junjungan besar nabi Muhammad SAW beserta keluarga dan para sahabat. Judul Skripsi ini adalah "**Identifikasi Tanaman Atsiri Menggunakan Metode *Improved K-Means* Berbasis Citra Satelit**".

Skripsi ini merupakan bagian dari tugas akhir penulis selama mengikuti perkuliahan dan sebagai salah satu syarat untuk mencapai gelar Sarjana Komputer di Fakultas Ilmu Komputer, Universitas Brawijaya. Melalui kesempatan ini, Penulis ingin menyampaikan rasa hormat dan terima kasih yang sebesar-besarnya kepada semua pihak yang telah memberikan bantuan dan dukungan selama penggerjaan skripsi, diantaranya:

1. Candra Dewi, S.Kom, M.Sc. Selaku dosen pembimbing pertama yang telah meluangkan waktunya untuk membantu dan membimbing penulis dalam penggerjaan tugas akhir ini.
2. Budi Darma Setiawan, S.Kom, M.Cs. Selaku dosen pembimbing kedua yang telah meluangkan waktunya untuk membantu dan membimbing penulis dalam penggerjaan tugas akhir ini.
3. Ir. Sutrisno, MT. Selaku Ketua Fakultas Ilmu Komputer Universitas Brawijaya
4. Drs. Marji, MT Selaku Ketua Program Studi Informatika/Illu Komputer Fakultas Ilmu Komputer Universitas Brawijaya.
5. Seluruh dosen Informatika/Illu Komputer Universitas Brawijaya atas kesediaan membagi ilmunya kepada penulis.
6. Seluruh civitas akademika informatika/ilmu komputer Universitas Brawijaya yang telah banyak membantu dan memberi dukungan selama penulisan skripsi ini.
7. Kedua orang tua Mochammad Choldun dan Boinah Al Hartinah, beserta keluarga yang selalu memberikan doa dan dorongan semangat hingga skripsi ini dapat terselesaikan.
8. Keluarga besar SCANF dan seluruh sahabat Informatika 2011. Terima kasih atas bantuannya selama menempuh studi.
9. Keluarga besar LSO RAION COMMUNITY Fakultas Ilmu Komputer Universitas Brawijaya. Terima kasih atas bantuannya selama menempuh studi.
10. Sahabat dari Universitas Brawijaya angkatan 2011. Terima kasih atas dukungan dan bantuan selama menempuh studi.
11. Sahabat dari SMA Negeri 1 Pacitan 2008. Terima kasih atas dukungan, bantuan, serta hiburan selama menempuh studi.
12. Semua pihak yang telah membantu penulis dalam penggerjaan skripsi yang tidak bisa disebutkan satu persatu.

Penulis menyadari bahwa tugas akhir ini tidak lepas dari kekurangan dan kesalahan. Penulis mengharapkan kritik dan saran dari berbagai pihak demi penyempurnaan tugas akhir ini. Akhir kata, semoga skripsi ini dapat bermanfaat dan berguna bagi pembaca terutama mahasiswa FILKOM Universitas Brawijaya. Terima kasih.

Malang, Desember 2015

Penulis

UNIVERSITAS



ABSTRAK

Indonesia merupakan negara agraris dengan luas perkebunan 21.615.806 Hektar. Salah satu tanaman perkebunan yang memiliki potensi besar yaitu tanaman serai wangi (*Cymbopogon nardus*) dan nilam (*Pogostemon cablin*). Kedua tanaman ini merupakan penghasil minyak atsiri yang merupakan bahan baku industri kosmetik, obat, dan pestisida. Saat ini Indonesia merupakan pemasok 90% kebutuhan minyak atsiri dunia. Untuk menjaga ketersediaan tanaman atsiri di Indonesia, diperlukan monitoring sebaran lahan tanaman atsiri. Monitoring ini dapat dilakukan menggunakan teknik *remote sensing*. Teknik *remote sensing* memungkinkan monitoring tanaman atsiri tanpa mendatangi langsung lokasinya. Teknik ini menggunakan citra hasil penginderaan dari jarak jauh, dapat berupa citra dari penginderaan sensor satelit, pesawat, dan pesawat tanpa awak. Pada penelitian ini digunakan metode *improved K-Means* untuk mengidentifikasi tanaman atsiri berbasis citra satelit. Pertama, citra satelit melalui *pre-processing* menggunakan *histogram equalization*, kedua inisialisasi jumlah *cluster* menggunakan jumlah puncak histogram citra lalu inisialisasi *cluster* awal *improved K-Means* menggunakan *Euclidean distance* antar *pixel*, serta ketiga merupakan proses *clustering* menggunakan *K-Means*. Pengujian *internal criteria* metode *improved K-Means* dengan perhitungan *silhouette coefficient* menunjukkan bahwa jumlah *cluster* optimal yaitu 2 *cluster* dan jumlah *cluster* berdasarkan jumlah puncak histogram citra masih kurang optimal. Pada pengujian *external criteria* menggunakan perhitungan nilai *purity* menunjukkan bahwa tidak ada cluster yang didominasi oleh tanaman atsiri. Hasil ini disebabkan jumlah *pixel* tanaman atsiri jauh lebih sedikit dibanding jumlah *pixel* tanaman padi dan bangunan sehingga tanaman atsiri dikenali sebagai tanaman padi.

Kata kunci: Identifikasi, *Remote Sensing*, *Clustering*, *Improved K-Means*



ABSTRACT

*Indonesia is an agricultural country with plantation 21.615.806 Ha. Two of plantation crops that have great potential are lemongrass (*Cymbopogon nardus*) and patchouli (*Pogostemon cablin*). They produce essential oil for cosmetics, medicine, and pesticide industry. Now, Indonesia supplying 90% global essential oil needs. It need to monitoring distribution of essential plantation to maintain the availability. Essential plantation monitoring can be done with remote sensing technique. Remote sensing technique can do essential plantation monitoring without go to the location. This technique use image that produced from satellite, plane, or drone sensor as data. In this research, improved K-Means method used to identify essential plantation based on satellite imagery. First, satellite imagery passed image pre-processing with histogram equalization, second this method use amount of histogram's peak for determine clusters number and does cluster initialization by calculating Euclidean distance on each pixels, third clustering process by K-Means clustering. Internal criteria testing by calculating silhouette coefficient index showed that optimum clusters number is 2. It means that clusters number that determined by amount of histogram's peak does not optimum. External criteria testing on this method by calculating purity value showed that none of clusters with essential plantation domination. Test result did caused by essential plantations pixel quantity much less than buildings and rice plantations pixel quantity.*

Keywords : Identification, Remote Sensing, Clustering, Improved K-Means



DAFTAR ISI

PENGESAHAN	ii
PERNYATAAN ORISINALITAS	iii
KATA PENGANTAR.....	iv
ABSTRAK.....	iv
ABSTRACT	vii
DAFTAR ISI.....	viii
DAFTAR TABEL.....	xi
DAFTAR GAMBAR.....	xiii
DAFTAR LAMPIRAN	xv
BAB 1	1
1.1 Latar belakang	1
1.2 Rumusan Masalah	2
1.3 Tujuan Penelitian	2
1.4 Manfaat Penelitian.....	3
1.5 Batasan Masalah	3
1.6 Sistematika Penulisan	3
BAB 2	5
2.1 Kajian Pustaka	5
2.2 Citra Satelit	9
2.2.1 Citra Satelit Multispektral	9
2.2.2 Pemilihan BAND	11
2.3 <i>Pre-Processing</i> Citra	11
2.3.1 <i>Histogram Equalization</i>	11
2.4 <i>K-Means Clustering</i>	12
2.4.1 Algoritma <i>K-Means</i>	12
2.4.2 Inisialisasi <i>Improved K-Means</i>	14
2.5 Pengujian Hasil <i>Clustering</i>	14
2.5.1 <i>Silhouette Coefficient</i>	14
2.5.2 Metode <i>Purity</i>	15
2.6 Tanaman Atsiri	16
BAB 3	18
3.1 Studi Literatur	18



3.2 Analisis Kebutuhan.....	19
3.3 Pengumpulan Data.....	19
3.4 Analisis dan Perancangan.....	20
3.5 Implementasi Sistem.....	21
3.6 Pengujian Sistem dan Analisis Hasil	22
3.6.1 Pengujian <i>Silhouette Coefficient</i>	22
3.6.2 Pengujian Metode <i>Purity</i>	23
3.7 Pengambilan Kesimpulan	23
BAB 4	24
4.1 Analisis Kebutuhan.....	24
4.1.1 Deskripsi Umum.....	24
4.1.2 Analisis Kebutuhan Fungsional	24
4.1.3 Analisis Kebutuhan Non-Fungsional	24
4.2 Pengumpulan Data.....	25
4.2.1 Data Citra Satelit	25
4.2.2 Data <i>Groundtruth</i>	25
4.3 Perancangan Sistem Identifikasi	28
4.3.1 Flowchart Sistem.....	28
4.3.2 Perhitungan Manualisasi.....	40
4.3.3 Antarmuka.....	53
4.3.4 Perancangan Pengujian dan Analisis.....	57
BAB 5	58
5.1 Spesifikasi Lingkungan Pengembangan	58
5.1.1 Spesifikasi Sistem	58
5.1.2 Spesifikasi Perangkat Keras.....	58
5.1.3 Spesifikasi Perangkat Lunak	58
5.2 Batasan Implementasi.....	59
5.3 Implementasi Algoritma.....	59
5.3.1 <i>Pre-Processing</i> Citra	59
5.3.2 Inisialisasi <i>Improved K-Means</i>	60
5.3.3 <i>K-Means Clustering</i>	64
5.4 Implementasi Antarmuka	66
5.4.1 Antarmuka <i>Home</i>	66
5.4.2 Antarmuka Input Citra	67



5.4.3 Antarmuka Inisialisasi	68
5.4.4 Antarmuka <i>K-Means Clustering</i>	69
BAB 6	70
6.1 Pengujian <i>Internal Criteria</i>	70
6.2 Analisis Pengujian <i>Internal Criteria</i>	73
6.3 Pengujian <i>External Criteria</i>	75
6.4 Analisis Pengujian <i>External Criteria</i>	78
BAB 7	80
7.1 Kesimpulan.....	80
7.2 Saran.....	80
DAFTAR PUSTAKA.....	81
LAMPIRAN A HASIL PERHITUNGAN MANUALISASI.....	83
LAMPIRAN B HASIL PENGUJIAN	93



DAFTAR TABEL

Tabel 2.1 Tabel Perbandingan Objek dan Metode	7
Tabel 2.2 Spesifikasi BAND Landsat 8	10
Tabel 3.1 Tabel Pengambilan Data.....	20
Tabel 3.2 Tabel Pengujian Metode <i>Silhouette Coefficient</i>	23
Tabel 4.1 Tabel Data Citra Satelit Landsat 8	25
Tabel 4.2 Pelabelan kelas pada data <i>groundtruth</i>	26
Tabel 4.3 Data citra BAND 3.....	41
Tabel 4.4 Data citra BAND 4.....	41
Tabel 4.5 Data citra BAND 5	41
Tabel 4.6 Gray level baru BAND 3	42
Tabel 4.7 Gray level baru BAND 4	44
Tabel 4.8 Gray level baru BAND 5	46
Tabel 4.9 Nilai <i>pixel</i> baru setelah <i>histogram equalization</i>	48
Tabel 4.10 Hasil perhitungan <i>Euclidean distance</i> untuk <i>pixel</i> ke-1.....	50
Tabel 4.11 Hasil perhitungan jumlah <i>Euclidean distance pixel</i> ke-1 sampai 5	50
Tabel 4.12 Hasil perhitungan nilai <i>v</i> pada <i>pixel</i> ke-1.....	51
Tabel 4.13 Jumlah nilai <i>v</i> untuk <i>pixel</i> 1 sampai 5	51
Tabel 4.14 Hasil <i>sorting ascending</i> terhadap jumlah nilai <i>v</i>	51
Tabel 4.15 <i>Centroid</i> awal.....	51
Tabel 4.16 Inisialisasi <i>cluster</i> awal	52
Tabel 4.17 Jumlah anggota dan jumlah nilai <i>pixel</i> anggota setiap <i>cluster</i>	52
Tabel 4.18 <i>Centroid</i> baru yang dihasilkan	52
Tabel 4.19 <i>Cluster</i> baru	53
Tabel 4.20 Hasil <i>K-Means clustering</i> untuk <i>pixel</i> 1 sampai 5	53

Tabel 5.1 Spesifikasi perangkat keras	58
Tabel 5.2 Spesifikasi perangkat lunak	59
Tabel 6.1 Tabel Nilai <i>Silhouette Coefficient</i> Dataset Bulan Februari	70
Tabel 6.2 Tabel Nilai <i>Silhouette Coefficient</i> Dataset Bulan Maret	71
Tabel 6.3 Tabel Nilai <i>Silhouette Coefficient</i> Dataset Bulan April	71
Tabel 6.4 Tabel Nilai <i>Silhouette Coefficient</i> Dataset Bulan Mei.....	72
Tabel 6.5 Tabel Nilai <i>Silhouette Coefficient</i> Dataset Bulan Juni.....	72
Tabel 6.6 Tabel Nilai <i>Silhouette Coefficient</i> Dataset Bulan Juli.....	72
Tabel 6.7 Hasil pengujian purity bulan Februari untuk 2 cluster	75
Tabel 6.8 Hasil pengujian purity bulan Februari untuk 3 cluster	76
Tabel 6.9 Hasil pengujian purity bulan Februari untuk 4 cluster	76
Tabel 6.10 Hasil pengujian purity bulan Februari untuk 5 cluster.....	77
Tabel 6.11 Hasil pengujian purity bulan Februari untuk 6 cluster.....	77
Tabel 6.12 Hasil nilai <i>purity</i>	78



DAFTAR GAMBAR

Gambar 2.1 Citra Satelit Landsat 8 BAND 5	9
Gambar 2.2 Perhitungan PMF.....	11
Gambar 2.3 Perhitungan CDF.....	12
Gambar 2.4 Tanaman Nilam	16
Gambar 3.1 Blok Diagram Tahapan Penelitian	18
Gambar 3.2 Blok Diagram Sistem	20
Gambar 3.3 Diagram Alir Berjalannya Sistem.....	21
Gambar 3.4 Blok Diagram Pengujian Sistem.....	22
Gambar 4.1 Data <i>groundtruth</i>	27
Gambar 4.2 <i>Flowchart</i> sistem identifikasi tanaman atsiri	28
Gambar 4.3 <i>Flowchart</i> <i>pre-processing</i> citra <i>histogram equalization</i>	30
Gambar 4.4 <i>Flowchart</i> ekstraksi histogram citra	31
Gambar 4.5 <i>Flowchart</i> menghitung <i>Cumulative Distribution Function</i> (CDF)	32
Gambar 4.6 <i>Flowchart</i> membuat histogram baru	33
Gambar 4.7 <i>Flowchart</i> proses inisialisasi <i>K-Means</i>	34
Gambar 4.8 <i>Flowchart</i> proses menghitung jumlah jarak setiap <i>pixel</i>	35
Gambar 4.9 <i>Flowchart</i> proses menghitung nilai <i>v</i> antar <i>pixel</i>	36
Gambar 4.10 <i>Flowchart</i> proses menghitung jumlah nilai <i>v</i> setiap <i>pixel</i>	37
Gambar 4.11 <i>Flowchart</i> proses <i>K-Means Clustering</i>	38
Gambar 4.12 <i>Flowchart</i> menghitung nilai <i>centroid</i>	39
Gambar 4.13 <i>Flowchart</i> menghitung <i>Euclidean distance</i>	40
Gambar 4.14 Histogram nilai <i>pixel</i> rata-rata.....	50
Gambar 4.15 <i>Sitemap</i> antarmuka sistem	54
Gambar 4.16 Antarmuka <i>Home</i>	54



Gambar 4.17 Antarmuka <i>Form Input Citra</i>	55
Gambar 4.18 Antarmuka Inisialisasi <i>K-Means</i>	56
Gambar 4.19 Antarmuka proses <i>K-Means</i>	56
Gambar 5.1 Antarmuka <i>home (default)</i>	67
Gambar 5.2 Antarmuka <i>home</i> setelah <i>clustering</i>	67
Gambar 5.3 Antarmuka input citra (<i>default</i>)	68
Gambar 5.4 Antarmuka input citra setelah proses input citra dan <i>histogram equalization</i>	68
Gambar 5.5 Antarmuka inisialisasi.....	69
Gambar 5.6 Antarmuka <i>K-Means clustering</i>	69
Gambar 6.1 Grafik jumlah iterasi pada setiap jumlah <i>cluster</i>	74
Gambar 6.2 Grafik nilai <i>silhouette coefficient</i> pada setiap jumlah <i>cluster</i>	74
Gambar 6.3 Grafik nilai <i>purity</i> dan jumlah <i>cluster</i>	78



DAFTAR LAMPIRAN

LAMPIRAN A HASIL PERHITUNGAN MANUALISASI.....	83
A.1 Tabel Hasil Perhitungan Jumlah <i>Euclidean Distance</i> setiap <i>Pixel</i>	83
A.2 Tabel Hasil Perhitungan Jumlah Nilai <i>v</i> setiap <i>Pixel</i>	84
A.3 Table Sorting Jumlah Nilai <i>v</i>	86
A.4 Tabel Inisialisasi Cluster Awal	87
A.5 Tabel Cluster Baru Hasil Iterasi Pertama	89
A.6 Tabel Cluster Baru Hasil Iterasi ke-4	91
LAMPIRAN B HASIL PENGUJIAN	93
B.1 Citra Hasil <i>Clustering</i>	93
B.1.1 Dataset Bulan Februari	93
B.1.2 Dataset Bulan Maret	94
B.1.3 Dataset Bulan April	95
B.1.4 Dataset Bulan Mei.....	96
B.1.5 Dataset Bulan Juni.....	97
B.2 Hasil Pengujian <i>Purity</i>	98
B.2.1 Tabel Hasil Pengujian <i>Purity</i> Bulan Maret 2 <i>Cluster</i>	98
B.2.2 Tabel Hasil Pengujian <i>Purity</i> Bulan Maret 3 <i>Cluster</i>	98
B.2.3 Tabel Hasil Pengujian <i>Purity</i> Bulan Maret 4 <i>Cluster</i>	98
B.2.4 Tabel Hasil Pengujian <i>Purity</i> Bulan Maret 5 <i>Cluster</i>	99
B.2.5 Tabel Hasil Pengujian <i>Purity</i> Bulan Maret 6 <i>Cluster</i>	99
B.2.6 Tabel Hasil Pengujian <i>Purity</i> Bulan April 2 <i>Cluster</i>	99
B.2.7 Tabel Hasil Pengujian <i>Purity</i> Bulan April 3 <i>Cluster</i>	100
B.2.8 Tabel Hasil Pengujian <i>Purity</i> Bulan April 4 <i>Cluster</i>	100
B.2.9 Tabel Hasil Pengujian <i>Purity</i> Bulan April 5 <i>Cluster</i>	100
B.2.10 Tabel Hasil Pengujian <i>Purity</i> Bulan April 6 <i>Cluster</i>	101
B.2.11 Tabel Hasil Pengujian <i>Purity</i> Bulan Mei 2 <i>Cluster</i>	101
B.2.12 Tabel Hasil Pengujian <i>Purity</i> Bulan Mei 3 <i>Cluster</i>	101
B.2.13 Tabel Hasil Pengujian <i>Purity</i> Bulan Mei 4 <i>Cluster</i>	102
B.2.14 Tabel Hasil Pengujian <i>Purity</i> Bulan Mei 5 <i>Cluster</i>	102
B.2.15 Tabel Hasil Pengujian <i>Purity</i> Bulan Mei 6 <i>Cluster</i>	102
B.2.16 Tabel Hasil Pengujian <i>Purity</i> Bulan Juni 2 <i>Cluster</i>	103

B.2.17 Tabel Hasil Pengujian <i>Purity</i> Bulan Juni 3 <i>Cluster</i>	103
B.2.18 Tabel Hasil Pengujian <i>Purity</i> Bulan Juni 4 <i>Cluster</i>	103
B.2.19 Tabel Hasil Pengujian <i>Purity</i> Bulan Juni 5 <i>Cluster</i>	104
B.2.20 Tabel Hasil Pengujian <i>Purity</i> Bulan Juni 6 <i>Cluster</i>	104



BAB 1

PENDAHULUAN

1.1 Latar belakang

Indonesia merupakan negara agraris yang menurut Direktorat Jenderal Perkebunan (Ditjenbun) Kementerian Pertanian pada tahun 2013 mempunyai luas perkebunan 21.615.806 Hektar [KPE-15]. Salah satu tanaman perkebunan di Indonesia yang mempunyai potensi sangat besar yaitu tanaman serai wangi (*Cymbopogon nardus*) dan nilam (*Pogostemon cablin*). Kedua tanaman tersebut merupakan tanaman yang menghasilkan minyak atsiri untuk bahan baku industri parfum, insektisida, dan medis. Pertumbuhan tanaman atsiri dipengaruhi oleh banyak hal yaitu, intensitas cahaya matahari, ketinggian lahan dari permukaan laut, serta iklim [KAA-05]. Di Indonesia, tanaman atsiri sudah banyak dibudidayakan secara komersial. Menurut laporan Ditjenbun Kementerian Pertanian luas lahan perkebunan tanaman atsiri khususnya nilam mencapai 29.783 Hektar [KPE-15]. Dengan lahan seluas ini, Indonesia mampu memasok 90% kebutuhan atsiri dunia atau 1600 ton per tahun [KIN-15]. Pemerintah harus tetap mendorong produksi minyak atsiri tetap stabil bahkan meningkat, agar posisi Indonesia pada pasar minyak atsiri dunia bisa bertahan. Untuk menjaga ketersediaan tanaman atsiri, diperlukan monitoring sebaran lahan perkebunan tanaman atsiri.

Monitoring sebaran lahan perkebunan tanaman atsiri ini bisa dilakukan menggunakan teknik *remote sensing*. Remote sensing merupakan teknik yang memungkinkan untuk melihat keadaan suatu objek, daerah, atau fenomena tertentu tanpa mengunjungi daerah tersebut secara langsung [LIL-79]. Teknik ini bisa menggunakan berbagai macam cara, namun dalam hal ini penulis menekankan pada pemanfaatan citra satelit. Beberapa satelit menghasilkan citra hasil perekaman berbagai sensor yang ada di satelit tersebut yang disebut citra satelit *multispectral*. Citra satelit ini bisa dimanfaatkan untuk berbagai keperluan, salah satunya yaitu untuk monitoring lahan pertanian. Sebaran lahan pertanian diidentifikasi melalui citra satelit *multispectral* yang biasa disebut dengan penginderaan jauh. Keuntungan dari penginderaan jauh yaitu citra yang dihasilkan menggambarkan obyek, daerah, dan gejala di permukaan bumi dengan wujud dan letak obyek yang sesuai dengan wujud dan letak di permukaan bumi, relatif lengkap, meliputi daerah yang luas, serta bersifat permanen. Citra dapat dibuat atau diperbarui dengan waktu yang relatif cepat meskipun lokasi berada di daerah yang sulit dijangkau [SUT-86]. Dengan mengamati daerah yang sangat luas beserta keadaan lahan yang mencakup topografi/relief, pertumbuhan tanaman / vegetasi, dan fenomena alam pada citra, memungkinkan untuk mengamati dan mempelajari pengaruh iklim, vegetasi, litologi, dan topografi terhadap penyebaran sumberdaya lahan pertanian.



Pada penelitian sebelumnya dengan judul "*Tempora-Spatial-Probabilistic Model Based For Mapping Paddy Rice Using Multi-Temporal Landsat Images*", citra satelit *multiplespectral* digunakan untuk memetakan penggunaan lahan pertanian tanaman padi di China. *Monitoring* tanaman padi ini memanfaatkan citra dari satelit Landsat 8 OLI. Penelitian ini menggunakan metode *Tempora-Spatial-Probabilistic Model* (TSPM) untuk membedakan citra lahan pertanian padi dengan citra yang lain. Hasil dari penelitian ini dapat memberikan luasan pertanian padi di China [PES-14]. Pada penelitian pengolahan citra digital yang lain dengan judul "*An improved K-Means clustering algorithm for fish image segmentation*", diperkenalkan metode *improved K-Means* untuk segmentasi citra ikan. Penggunaan metode ini menghasilkan ekstraksi citra ikan yang lebih akurat dan stabil dibandingkan dengan metode segmentasi yang lain [HOY-12].

Berdasarkan penelitian yang telah dilakukan tersebut, maka penulis mengusulkan penelitian dengan judul "Identifikasi Tanaman Atsiri Menggunakan Metode *Improved K-Means* Berbasis Citra Satelit". Area yang dianalisis yaitu kebun atsiri di wilayah Kecamatan Kesamben, Kabupaten Blitar. Kebun atsiri pada wilayah ini berupa beberapa petak dengan ukuran setiap petak $\pm 30 \times 80$ meter. Penelitian ini menggunakan citra satelit Landsat 8 OLI karena citra hasil penginderaannya memiliki resolusi spasial menengah yaitu 30×30 meter untuk setiap *pixel*. Penggunaan citra satelit Landsat 8 OLI diharapkan mampu mendeteksi tanaman atsiri karena luas setiap petak kebun atsiri mencapai 2 *pixel* atau lebih. Citra satelit landsat 8 OLI pada area penelitian dianalisis menggunakan metode *improved K-Means*. Improvisasi yang dimaksud yaitu inisialisasi jumlah *cluster* berdasarkan jumlah puncak histogram dan inisialisasi *centroid* awal menggunakan perhitungan *Euclidean distance* antar *pixel*. Hasil dari metode *improved K-Means* ini diharapkan dapat mendeteksi sebaran tanaman atsiri dengan akurat sesuai dengan data lokasi yang didapat dari lapangan secara langsung.

1.2 Rumusan Masalah

Rumusan masalah pada penelitian ini yaitu :

1. Bagaimana mengimplementasikan metode *improved K-Means* untuk klasterisasi berbasis citra satelit agar bisa mengidentifikasi tanaman atsiri?
2. Bagaimana tingkat akurasi metode *improved K-Means* untuk mendeteksi tanaman atsiri?

1.3 Tujuan Penelitian

Secara umum tujuan yang ingin dicapai pada penelitian ini adalah mengimplementasikan metode improved K-Means untuk mendeteksi tanaman atsiri berdasarkan citra satelit. Dari tujuan umum tersebut dapat dikhususkan menjadi beberapa poin tujuan, yaitu :



1. Merancang dan mengimplementasikan metode *improved K-Means* untuk clusterisasi berbasis citra satelit agar bisa mengidentifikasi tanaman atsiri.
2. Menguji akurasi metode improved K-Means untuk melakukan clusterisasi dan mendeteksi tanaman atsiri dengan membandingkan hasil dari sistem dengan data groundtruth di lapangan.

1.4 Manfaat Penelitian

Manfaat yang dihasilkan dari penelitian ini yaitu :

1. Hasil penelitian ini dapat digunakan untuk monitoring lahan perkebunan tanaman atsiri.
2. Memberikan hasil analisis performansi dari algoritma *improved K-Means* pada clusterisasi citra satelit.
3. Hasil penelitian ini dapat digunakan sebagai pembanding untuk penelitian selanjutnya.

1.5 Batasan Masalah

Batasan masalah pada penelitian ini yaitu :

1. Menggunakan citra satelit landsat 8 mencakup wilayah Kesamben dan Bantaran, Kabupaten Blitar yang diperoleh dari earthexplorer USGS.
2. Citra yang digunakan yaitu citra yang diambil pada bulan Februari 2015 sampai Juli 2015 dengan setiap bulan diambil satu citra.
3. Identifikasi tanaman atsiri menggunakan metode *improved K-Means*. Improvisasi yang dimaksud adalah inisialisasi *cluster* awal berdasarkan *Euclidean distance* dan nilai *v* antar pixel.

1.6 Sistematika Penulisan

Untuk mencapai tujuan yang diharapkan, maka sistematika penulisan yang disusun dalam tugas akhir ini adalah sebagai berikut :

BAB I Pendahuluan

Bab ini berisi tentang latar belakang, rumusan masalah, tujuan penelitian, manfaat penelitian, batasan masalah, dan sistematika penulisan.

BAB II Dasar Teori

Membahas teori-teori yang mendukung dalam mengidentifikasi tanaman atsiri menggunakan metode improved K-Means berbasis citra satelit.

BAB III Metodologi

Membahas tentang metodologi yang digunakan dalam penulisan yang terdiri dari studi literatur, perancangan, implementasi, dan pengujian hasil penelitian.

BAB IV Perancangan

Membahas tentang perancangan untuk mengidentifikasi tanaman atsiri menggunakan metode improved K-Means berbasis citra satelit.

BAB V Implementasi dan Pembahasan

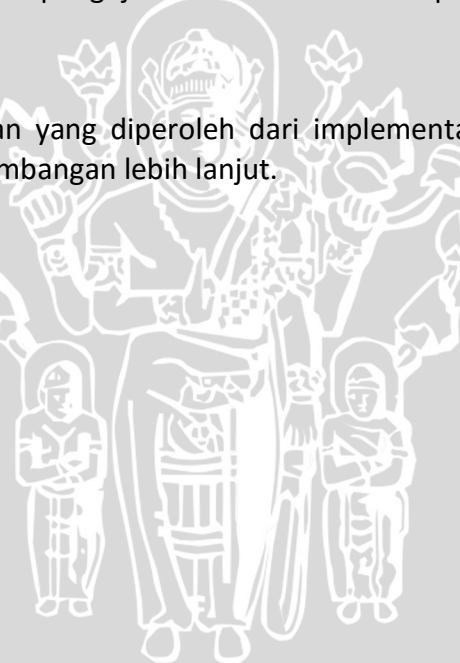
Membahas tentang hasil penelitian.

BAB VI Pengujian dan Analisis

Memuat tentang hasil pengujian dan analisis terhadap hasil implementasi.

Bab VII Penutup

Memuat kesimpulan yang diperoleh dari implementasi skripsi ini serta saran – saran untuk pengembangan lebih lanjut.



BAB 2

DASAR TEORI

Pada bab dua berisi tentang dasar-dasar teori yang mendukung penelitian ini. Dasar teori berisi tentang kajian pustaka yang berisi paper-paper yang dijadikan sebagai referensi, citra satelit multispektral, *pre-processing* pengolahan citra, *K-Means clustering*, pengujian hasil *clustering*, serta tanaman atsiri.

2.1 Kajian Pustaka

Pada kajian pustaka membahas tentang penelitian sebelumnya tentang segmentasi citra satelit dan pengolahan citra digital. Pada penelitian sebelumnya teknologi ini digunakan untuk mapping lahan pertanian padi di Provinsi Liaonin, China. Pada penelitian ini digunakan metode *Tempora-Spatial-Probabilistic Model* (TSPM). Pada penelitian ini digunakan citra dari satelit Landsat 8 OLI. Pada pengujian hasil penelitian ini digunakan citra yang diambil dari *Unmanned Aerial Vehicle* (UAV) atau yang disebut *drone*. Data citra yang digunakan pada penelitian ini yaitu 6 citra yang diambil pada tahap pembibitan, pertumbuhan, dan masa siap panen. Data citra terlebih dahulu diklasifikasi menggunakan metode *support vector machine* (SVM) kemudian dihitung probabilitas *pixel* merupakan tanaman padi, lalu dihitung probabilitas *pixel* merupakan air. Citra hasil metode ini dibandingkan dengan citra yang diambil pada 23 Mei dan 12 September, citra ini diproses menggunakan metode *Post-Classification Comparison* (PCC). Hasil perbandingan ini, peta tematik yang dihasilkan menggunakan metode TSPM mencapai akurasi 92,42%, sedangkan pada PCC hanya menghasilkan akurasi 91,44% [PES-14].

Selain itu, telah diterapkan pula dengan metode Temporal Profile Analysis untuk tujuan penelitian yang sama pada penelitian lainnya. Pada penelitian ini digunakan citra MODIS dari satelit EOS Terra. Citra yang digunakan yaitu citra composite yang diambil pada masa pembibitan, masa tanam, dan citra setelah panen. Penghitungan probabilitas dilakukan pada setiap region dengan menghitung Normalized Difference Vegetation Index (NDVI), Enhanced Vegetation Index (EVI), dan Land Surface Water Index (LSWI). Pada penelitian ini digunakan dataset NLCD2000 untuk mengevaluasi hasil dari MODIS. Hasil pengenalan yang dilakukan menggunakan algoritma yang sama pada dua dataset menunjukkan pada NLCD2000 menghasilkan 560.257 km² sawah padi, sedangkan pada MODIS menghasilkan 420.572 km² sawah padi [XXT-04].

Pada penelitian pemrosesan citra digital yang lain terdapat penelitian segmentasi citra untuk memisahkan citra ikan dari background. Pada penelitian segmentasi citra ikan ini, digunakan metode improved K-Means. Improvisasi yang dimaksudkan pada penelitian ini yaitu improvisasi pada tahap *pre-processing* citra. Pada tahap pertama ekstraksi histogram dilakukan pada citra gray-level untuk



kemudian dihitung jumlah puncaknya yang digunakan untuk menentukan jumlah *cluster*. Tahap kedua yaitu menentukan inisialisasi pusat *cluster* menggunakan metode Otsu untuk menentukan nilai threshold pusat *cluster*. Algoritma K-Means diimplementasikan pada citra *gray-level*. Hasil dari proses yang telah dilakukan masih menghasilkan banyak *noise* sehingga dilakukan operasi morfologi *opening* dan *closing*. Hasil segmentasi menggunakan metode yang diajukan pada penelitian ini memiliki banyak tepi pada bagian background, sehingga objek utama pada gambar target lebih mudah dikenali dan lengkap [HOY-12].

Pada tabel 2.1 berikut ini akan diberikan perbandingan dari objek dan metode yang digunakan.



Tabel 2.1 Tabel Perbandingan Objek dan Metode

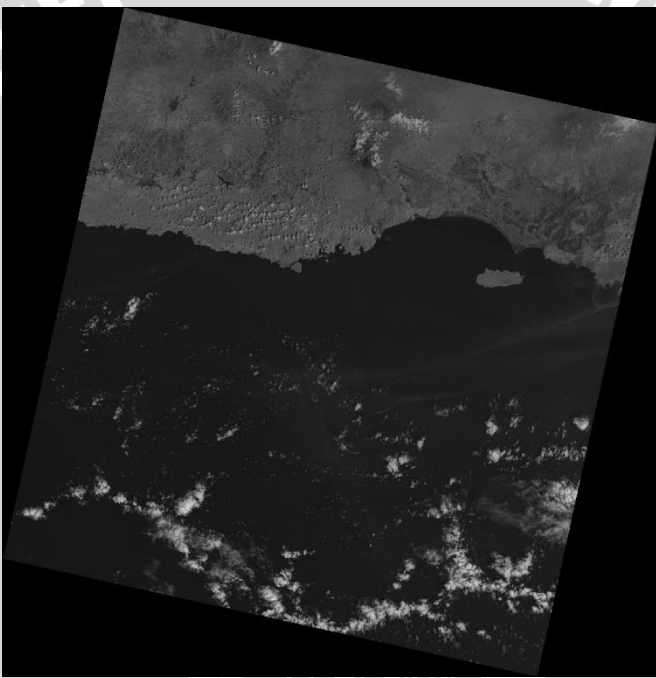
No	Judul	Objek	Metode	Output
		Input & Parameter	Proses	Hasil penelitian
1	Tempora-Spatial-Probabilistic Model Based For Mapping Paddy Rice Using Multi-Temporal Landsat Images	6 spektral Landsat 8 OLI imagery Citra tanggal : 05/23/2013 06/08/2013 07/26/2013 08/11/2013 09/12/2013 09/28/2013	Tempora-Spatial-Probabilistic Model 1) Melakukan klasifikasi menggunakan SVM dan menghitung probabilitas sebuah <i>pixel</i> merupakan tanaman padi. 2) Menghitung <i>temporal-spatial probability</i> sebuah <i>pixel</i> merupakan tanaman padi. 3) Menentukan <i>threshold</i> untuk mengklasifikasi sebuah <i>pixel</i> sebagai tanaman padi menggunakan metode <i>double-windows flexible pace searching</i> . 4) Menghitung probabilitas sebuah <i>pixel</i> merupakan air.	Mapping lahan pertanian padi Citra lahan pertanian padi ditandai <i>pixel</i> warna hijau sedangkan non-padi ditandai dengan <i>pixel</i> warna biru.
2	An improved K-Means clustering algorithm for fish image segmentation	Citra ikan tampak samping Citra gray level Jumlah puncak histogram citra. Jumlah <i>cluster</i>	<i>Improved K-Means</i> 1) Menentukan jumlah <i>cluster</i> dari jumlah puncak histogram citra. 2) Menentukan inisialisasi <i>cluster</i> menggunakan metode pencarian nilai <i>threshold Otsu</i> .	Ekstraksi citra ikan dari citra background Citra ikan ditandai dengan <i>pixel</i> warna putih sedangkan background ditandai dengan <i>pixel</i> warna hitam.

No	Judul	Objek	Metode	Output
		Input & Parameter	Proses	Hasil penelitian
			3) Menggunakan metode k-means untuk mendapatkan segmentasi citra. 4) Melakukan operasi morfologi citra berupa erosi, dilasi, opening, dan closing.	
2	An improved K-Means clustering algorithm for fish image segmentation	Citra satelit MODIS EOS Terra, BAND vis red, NIR, SWIR	Temporal profile analysis	Mapping lahan pertanian padi
		NDVI EVI LSWI	1) Memisahkan awan 2) Menghitung NDSI untuk memisahkan dari tutupan salju 3) Menghitung NDVI dan LSWI untuk mendeteksi genangan 4) Diketahui sawah padi dari perhitungan NDVI, LSWI, dan EVI	Citra lahan pertanian padi ditandai <i>pixel</i> warna hijau sedangkan non-padi ditandai dengan <i>pixel</i> warna putih.
3	Mapping paddy rice agriculture in southern China using multi-temporal MODIS images	Citra satelit Landsat 8 OLI pada BAND 3, 4, dan 5	<i>Improved K-Means</i>	Mapping lahan perkebunan tanaman atsiri
		Citra Bulan Februari – Juli 2015	1) melakukan proses <i>pre-processing</i> citra menggunakan <i>histogram equalization</i> 2) Menentukan inisialisasi <i>cluster</i> menggunakan <i>improved K-Means</i> 3) Menggunakan metode <i>K-Means</i> untuk mendapatkan segmentasi citra. 4) Melakukan pengujian	Citra lahan tanaman atsiri ditandai <i>pixel</i> warna hijau sedangkan non-tanaman atsiri ditandai dengan <i>pixel</i> warna biru.
4	Identifikasi Tanaman Atsiri Menggunakan Metode <i>Improved K-Means</i> Citra Satelit			

2.2 Citra Satelit

2.2.1 Citra Satelit Multispektral

Citra Satelit merupakan citra digital yang diperoleh dari perekaman sensor yang ada pada satelit. Citra digital sendiri adalah citra dua dimensi yang disimpan dalam format digital berupa $f(x,y)$ yang mana pada titik f yang disebut sebagai *pixel* berisi nilai kecerahan citra pada titik tersebut. Nilai kecerahan yang ada pada citra menyatakan tingkat kecerahan pada sebuah *pixel* [GOW-08]. Nilai kecerahan setiap *pixel* ini memiliki beberapa format. Format ini merupakan jumlah bit yang digunakan untuk menyimpan nilai kecerahan *pixel*. Pada citra RGB bisa digunakan format 24 bit, pada citra CMYK digunakan format 32 bit, pada citra biner digunakan format 1 bit karena hanya menyimpan nilai 0 atau 1, selain format yang telah disebutkan masih ada beberapa format lainnya [DAP-12].



Gambar 2.1 Citra Satelit Landsat 8 BAND 5

Sumber : earthexplorer.usgs.gov (2015)

Citra satelit merupakan citra yang memiliki banyak saluran. Setiap satu saluran ini mewakili satu sensor yang digunakan untuk menangkap pantulan dan pancaran spektral pada panjang gelombang tertentu. Pada penelitian ini digunakan hasil perekaman satelit Landsat 8 yang memiliki 11 saluran yang disebut BAND. Setiap BAND merupakan citra *grayscale* yang harus dikombinasikan dengan BAND yang lain agar menjadi citra berwarna. Citra ini disebut juga citra multispektral. Citra *grayscale* pada sebuah BAND citra Landsat 8 berbeda dengan citra *grayscale* pada umumnya yang memiliki format 8 bit, karena citra *grayscale* pada citra satelit ini menggunakan format 16 bit [DAP-12]. Citra digital hasil

penginderaan satelit ini memiliki ekstensi file GeoTIFF. Citra satelit Landsat 8 pada BAND 5 dapat dilihat pada gambar 2.1. Penjelasan spesifikasi setiap BAND pada citra satelit Landsat 8 dapat dilihat pada tabel 2.2.

Tabel 2.2 Spesifikasi BAND Landsat 8

BAND	Panjang Gelombang (nm)	Nama BAND	Resolusi (m)	Kegunaan Dalam Pemetaan
1	0,34-0,45	<i>Coastal Aerosol</i>	30	Studi pesisir dan aerosol
2	0,45-0,51	<i>Visible Blue</i>	30	Pemetaan batimetri, membedakan tanah
3	0,53-0,59	<i>Visible Green</i>	30	Menekankan vegetasi puncak yang berguna untuk menilai kekuatan tanaman
4	0,64-0,67	<i>Visible Red</i>	30	Mendiskriminasikan lereng vegetasi
5	0,85-0,88	<i>Near Infrared (NIR)</i>	30	Menekankan konten biomassa dan garis pantai
6	1,57-1,65	<i>Short-wave Infrared (SWIR) 1</i>	30	Mendiskriminasikan kadar air tanah dan vegetasi, menembus awan tipis
7	2,11-2,29	<i>Short-wave Infrared (SWIR) 2</i>	30	Peningkatan kadar air tanah dan vegetasi, penetrasi awan tipis
8	0,50-0,68	<i>Panchromatic</i>	15	Untuk definisi gambar lebih tajam
9	1,36-1,38	Cirrus	30	Peningkatan deteksi kontaminasi awan cirrus
10	10,60-11,19	<i>Thermal Infrared Sensor (TIRS) 1</i>	100	Pemetaan termal dan perkiraan kelembaban tanah
11	11,5-12,51	<i>Thermal Infrared Sensor (TIRS) 2</i>	100	Peningkatan pemetaan termal dan perkiraan kelembaban tanah

Sumber : <http://terra-image.com/band-landsat/> (2015)

Citra *multispectral* ini tidak hanya memiliki informasi nilai *pixel*. Terdapat informasi koordinat citra. Koordinat yang tersimpan dalam file citra ini hanya koordinat pada 4 sudut citra dan titik pusat citra. Informasi koordinat yang ada selanjutnya bisa dibaca oleh *software* pengolah citra satelit untuk mengetahui koordinat setiap *pixel*. Sistem koordinat yang digunakan pada satelit Landsat 8

yaitu *World Geodetic System (WGS) 84 datum*. Sistem proyeksi yang digunakan yaitu *Universal Transverse Mercator (UTM)*. Kedua sistem di atas digunakan untuk menentukan posisi koordinat dari citra secara presisi.

2.2.2 Pemilihan BAND

Perbedaan komposisi BAND yang digunakan mempengaruhi warna dari citra yang dihasilkan. Berdasarkan spesifikasi dan kegunaan sensor yang pada satelit Landsat 8 OLI, pada penelitian ini digunakan BAND *visible green* (3), BAND *visible red* (4), dan BAND *Near Infrared* (5). BAND tersebut digunakan karena kemampuannya dalam mendeteksi vegetasi dan membedakan jenis tanaman yang ada. Pada komposisi BAND 3,4,5 warna yang semakin merah menandakan semakin tingginya tingkat vegetasi pada area tersebut. Untuk menghitung index vegetasi melalui citra satelit juga digunakan BAND *visible red* dan NIR, salah satu index vegetasi yang banyak digunakan yaitu *Normalized Difference Vegetation Index (NDVI)* [DAP-12].

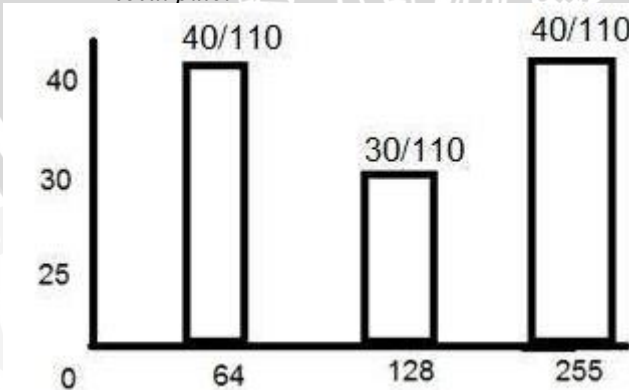
2.3 Pre-Processing Citra

2.3.1 Histogram Equalization

Teknik penajaman kontras yang memperbaiki tingkat kecerahan citra. Penajaman kontras menggunakan *histogram equalization* ini menghasilkan kontras citra yang optimal. Hasil yang terbentuk tidak terlepas dari bentuk histogram citra asli. *Histogram equalization* memberikan ketajaman yang lebih pada kenampakan antar blok objek [DAP-12]. Teknik ini memiliki tiga tahap perhitungan, yaitu :

1. Menghitung *Probability Mass Function (PMF)* dari histogram yang terbentuk pada citra. Formula untuk menghitung PMF setiap level histogram, yaitu :

$$PMF = \frac{\text{frequency}}{\text{total pixel}} \dots\dots\dots(2.1)$$

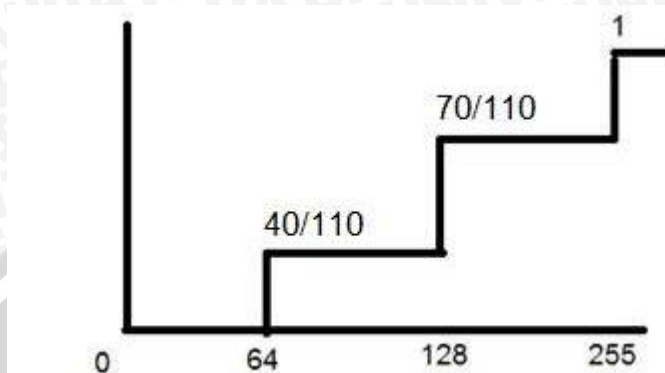


Gambar 2.2 Perhitungan PMF

Sumber : [\(2015\)](http://www.tutorialspoint.com/dip/Introduction_to_Probability.htm)

2. Menghitung *Cumulative Distribution Function* (CDF) dari perhitungan PMF tanpa melakukan *sorting* pada frekuensi histogram. Formula untuk menghitung CDF setiap level histogram, yaitu :

$$CDF(n) = \frac{\text{level frequency} + \sum_{i=0}^n \text{frequency}(i)}{\text{total pixel}} \dots\dots\dots (2.2)$$



Gambar 2.3 Perhitungan CDF

sumber : http://www.tutorialspoint.com/dip/Introduction_to_Probability.htm
(2015)

3. Mengalikan CDF dengan nilai *pixel* maksimal – 1, kemudian dihasilkan histogram yang baru sehingga dapat diterapkan pada citra.

PMF yaitu perhitungan probabilitas frekuensi tiap nilai *pixel* terhadap keseluruhan jumlah *pixel*. CDF merupakan PMF yang pada nilai *pixel* kedua dan seterusnya merupakan hasil jumlah dari nilai *pixel* yang telah dihitung sebelumnya. Nilai CDF pada nilai *pixel* pertama merupakan frekuensi nilai *pixel* dibagi total *pixel* yang ada dan pada nilai *pixel* yang terbesar yaitu 1. Pada hasil histogram yang baru terdapat nilai *pixel* yang hilang sehingga nilai *pixel* yang hilang dan digantikan dengan nilai *pixel* yang baru, sehingga ada nilai *pixel* yang frekuensinya bertambah.

Data yang digunakan pada penelitian ini memiliki kualitas yang berbeda-beda. Terdapat beberapa data dengan perbedaan nilai *pixel* tidak signifikan, sehingga diperlukan perentangan kontras menggunakan teknik ini agar perbedaan nilai *pixel* lebih mudah dikenali.

2.4 K-Means Clustering

2.4.1 Algoritma K-Means

Algoritma yang diperkenalkan oleh J.B. Mac Queen pada tahun 1967, merupakan salah satu algoritma *clustering* umum yang mengelompokkan data sesuai dengan karakteristik fitur yang serupa. Algoritma ini termasuk dalam *unsupervised learning*, karena bisa mengelompokkan sendiri data yang menjadi masukan tanpa mengetahui target kelasnya. Masukan yang dibutuhkan yaitu data dan jumlah kelompok atau *cluster* yang ingin dihasilkan. Algoritma ini akan

mengelompokkan data ke dalam *cluster* sesuai dengan kemiripan karakteristik fitur dengan sendirinya. Karakteristik setiap *cluster* ditentukan titik pusat *cluster* yang disebut *centroid* [MAQ-67].

Langkah-langkah algoritma *K-Means* :

1. Algoritma menentukan jumlah *cluster* (*K*) yang ditentukan sebelumnya dan *dataset* yang akan dikelompokkan kedalam *cluster*.
2. Dibentuk *centroid* awal sejumlah yang telah ditentukan. *Centroid* awal ini diambil 1 dari *dataset* secara acak.
3. Menghitung rata-rata aritmatika dari setiap *cluster* yang dibentuk dalam *dataset*. Rata-rata dari suatu *cluster* adalah rata-rata dari semua *record* yang terdapat di dalam *cluster* tersebut dan disebut *centroid*. Karena di dalam semua *cluster* pertama hanya ada satu *record* maka rata-ratanya adalah nilai *record* tersebut.
4. Masukkan tiap datum ke dalam *cluster* yang memiliki jarak dengan *centroid*-nya paling dekat.
5. Ubah *centroid* masing-masing *cluster* dengan menghitung lagi rata-rata dari suatu *cluster*.
6. *K-Means* memasukkan lagi satuan data kedalam *cluster* seperti langkah 4. Langkah 5 dan 6 diulang secara terus menerus hingga menghasilkan *centroid* yang stabil.

Nilai *centroid* diperoleh dari rata-rata nilai data yang merupakan anggota dari sebuah *cluster*. Nilai *centroid* dihitung untuk setiap fitur yang digunakan untuk perhitungan *K-Means clustering*, sehingga untuk setiap fitur pada setiap *cluster* memiliki nilai *centroid* masing-masing. Nilai *centroid* dapat dihitung dengan :

$$\mu_k = \frac{1}{N_k} \sum_{q=1}^{N_k} x_k \dots \quad (2.3)$$

Dimana :

- μ_k = titik *centroid* dari *cluster* ke-*k*
 N_k = banyaknya data pada *cluster* ke-*k*
 x_q = data ke-*q* pada *cluster* ke-*k*

Penentuan *cluster* yang dianggap stabil dapat dilakukan menggunakan banyak cara, diantaranya yaitu sampai *centroid* yang baru sama dengan *centroid* yang terbentuk pada iterasi *n*-1 dan bisa dengan membandingkan selisih *centroid* yang baru dan *centroid* yang terbentuk pada iterasi *n*-1 dengan nilai *threshold* yang ditentukan sebelumnya. Untuk menentukan jarak antara data dengan *centroid* digunakan *Euclidean Distance Space*. Cara menghitung *Euclidean distance* yaitu :

$$d_{ij} = \sqrt{\sum_{k=1}^p \{x_{ik} - x_{jk}\}} \dots \quad (2.4)$$



Dimana :

d_{ij} = Jarak objek antara objek i dan j

P = Dimensi data

X_{ik} = Koordinat dari obyek i pada dimensi k

X_{jk} = Koordinat dari obyek j pada dimensi k

2.4.2 Inisialisasi *Improved K-Means*

Pada penelitian ini, yang dimaksud dengan *improved K-Means* yaitu modifikasi penentuan jumlah *cluster* dan *centroid* awal. Untuk menentukan jumlah *cluster* yang digunakan, metode ini menghitung puncak histogram rata-rata citra. jumlah puncak histogram merupakan jumlah *cluster* untuk *K-Means clustering* [HOY-12].

Inisialisasi *centroid* awal yang digunakan yaitu dengan menghitung jarak setiap *pixel* terhadap setiap *pixel* yang lain. Kemudian digunakan perhitungan *improved K-Means* untuk menentukan titik yang digunakan sebagai *centroid*. Algoritma *improved K-Means* ini digunakan untuk meminimalkan pengambilan keputusan secara *random*, sehingga hasil yang diperoleh menjadi lebih akurat. Langkah untuk melakukak inisialisasi *centroid* awal adalah sebagai berikut [MSN-05] :

1. Menghitung jarak setiap *pixel* dengan setiap *pixel* lain menggunakan *Euclidean distance* seperti dijelaskan pada formula 2.4.
2. Menghitung jarak v_j untuk objek j, menggunakan perhitungan :

$$V_j = \sum_{i=1}^n \frac{d_{ij}}{\sum_{l=1}^n d_{il}} \dots \dots \dots \quad (2.5)$$

Pada formula di atas, d_{ij} adalah jarak *pixel* i terhadap *pixel* j. Jarak ini dibagi dengan $\sum_{l=1}^n d_{il}$ yang merupakan total jarak *pixel* i dengan semua *pixel* lain (l).

3. Melakukan *sorting* nilai v_j dari nilai yang terkecil sampai besar.
4. Mengambil n titik dari nilai v_j teratas untuk digunakan sebagai titik *centroid* awal.
5. Menentukan *cluster* setiap *pixel* dengan membandingkan setiap *pixel* dengan titik *centroid* awal sehingga diperoleh *cluster* setiap *pixel*.

2.5 Pengujian Hasil *Clustering*

2.5.1 *Silhouette Coefficient*

Merupakan salah satu metode yang digunakan untuk penilaian kualitas dari hasil *clustering* oleh algoritma *clustering*. Metode pengujian ini dikenalkan oleh Peter J. Rousseeuw pada tahun 1986. *Silhouette coefficient* menilai kualitas *cluster* berdasarkan *internal criteria*, yaitu menilai hasil *clustering* menggunakan informasi yang disajikan oleh algoritma seperti jarak *cluster*. Pengujian *internal criteria* bisa membantu optimasi algoritma. Pada *silhouette coefficient* ini, evaluasi



digunakan untuk menghitung seberapa besar kesamaan setiap anggota *cluster* pada *cluster* tersebut [KOG-07]. Metode *silhouette coefficient* pada penelitian ini digunakan untuk menguji hasil algoritma *improved K-Means* secara *internal criteria*. Langkah-langkah untuk menghitung *silhouette coefficient* :

1. Menghitung nilai *a* yang merupakan rata-rata dari *Euclidean distance* nilai datum *i* dengan nilai data lain yang ada pada satu *cluster*.
2. Menghitung rata-rata dari *Euclidean Distance* nilai datum *i* dengan nilai data yang ada pada *cluster* lain. Dari semua jarak rata-rata yang diperoleh, diambil nilai terkecil *b* yang menyatakan *cluster* tetangga.
3. *Silhouette coefficient* dihitung menggunakan formula :

$$s(i) = \frac{b(i) - a(i)}{\max\{a(i), b(i)\}} \dots\dots\dots\dots\dots (2.6)$$

Dimana :

s(i) : *silhouette coefficient* dari datum *i*

a(i) : rata-rata jarak datum *i* dengan data lain pada *cluster* yang sama

b(i) : nilai minimum rata-rata jarak datum *i* dengan data lain pada *cluster* yang lain

Nilai *silhouette coefficient* yang dihasilkan $-1 \leq s(i) \leq 1$. Semakin besar nilai *silhouette coefficient* maka semakin bagus *clustering* yang dilakukan. Rata-rata dari nilai keseluruhan *s(i)* pada sebuah *cluster* merupakan ukuran seberapa rapat data dikelompokkan dalam satu *cluster*. Demikian rata-rata dari nilai keseluruhan *s(i)* pada sebuah dataset merupakan ukuran seberapa tepat data dikelompokkan dalam *cluster*. Pengujian ini bisa digunakan untuk menentukan jumlah *cluster* alami dari dataset, karena jika jumlah *cluster* terlalu banyak atau terlalu sedikit maka beberapa *cluster* menghasilkan nilai *silhouette* yang sempit daripada yang lain.

2.5.2 Metode *Purity*

Salah satu metode untuk mengevaluasi *clustering* berdasarkan *external criteria*. Untuk menghitung nilai *purity* diperlukan data kelas yang sebenarnya pada setiap datum. Data hasil clustering dibandingkan dengan data kelas sebenarnya kemudian setiap *cluster* dimasukkan ke dalam kelas yang mempunyai frekuensi paling banyak dalam *cluster*. Akurasi diperoleh dari menghitung jumlah *pixel* kelas yang mendominasi pada *cluster* dibagi jumlah keseluruhan *pixel* [DEM-12]. Perhitungan menggunakan formula :

$$purity(\Omega, \mathcal{C}) = \frac{1}{N} \sum_k \max_j |\omega_k \cap c_j| \dots\dots\dots\dots\dots (2.7)$$

Dimana :

$\Omega = \{\omega_1, \omega_2, \dots, \omega_k\}$: merupakan set *cluster*

$\mathcal{C} = \{c_1, c_2, \dots, c_j\}$: merupakan set kelas

N : merupakan jumlah data

Nilai *purity* berkisar antara 0 sampai 1. Sebuah *clustering* dikatakan buruk jika angka *purity* mendekati 0, sedangkan sebuah *clustering* yang baik mempunyai angka *purity* 1 [DEM-12].

2.6 Tanaman Atsiri

Tanaman atsiri merupakan tanaman perkebunan yang menghasilkan minyak atsiri atau *essential oil*. Minyak atsiri dapat dihasilkan dari berbagai bagian tanaman, seperti akar, batang, daun, bunga, dan ranting. Tanaman atsiri memiliki 150-200 spesies. Di Indonesia terdapat kurang lebih 40 spesies tanaman atsiri. Tanaman atsiri yang banyak dikembangkan di Indonesia yaitu serai wangi (*Cymbopogon nardus*) dan nilam (*Pogostemon cablin*) [KAA-05].

Terdapat beberapa jenis spesies tanaman nilam di Indonesia yaitu *Pogostemon cablin* Benth (Nilam Aceh), *Pogostemon heyneatus* Benth (Nilam Jawa), dan *Pogostemon hortensis* Backer (Nilam Sabun). Tanaman nilam merupakan tanaman yang memiliki akar serabut. Struktur batang tanaman nilam yaitu batang berkayu dengan diameter 10-20 mm dengan jumlah cabang 3-5 cabang per tingkat. Umur tanaman nilam bisa mencapai 3 tahun dengan masa panen pertama bisa dilakukan pada bulan ke 6-7 dan panen berikutnya bisa dilakukan 2-3 bulan tergantung pada pola tanam [GUE-52].



Gambar 2.4 Tanaman Nilam

Tanaman nilam ini bisa tumbuh pada ketinggian 0-1.500 mdpl. Tanaman ini bisa tumbuh dengan baik di tanah yang gembur dan banyak mengandung humus. Tanah seperti ini bisa ditemui pada tanah bekas perkebunan kopi atau tanaman tahunan lainnya. Lingkungan yang dikehendaki adalah lingkungan dengan iklim sedang dengan curah hujan rata-rata 3.000 mm/tahun dengan penyebaran merata sepanjang tahun. Suhu optimal yang dibutuhkan yaitu 24-28° C dengan kelembaban relatif lebih dari 75%. Penyinaran matahari secara langsung juga mempengaruhi pertumbuhan tanaman [HIM-98]. Pada tanaman nilam dengan penyinaran matahari langsung, daun tanaman nilam lebih tebal dengan warna kuning kemerahan dan ukuran lebih sempit, sedangkan daun tanaman

nilam yang tumbuh di bawah naungan memiliki daun lebih tipis dengan warna hijau dan ukuran yang lebih lebar.

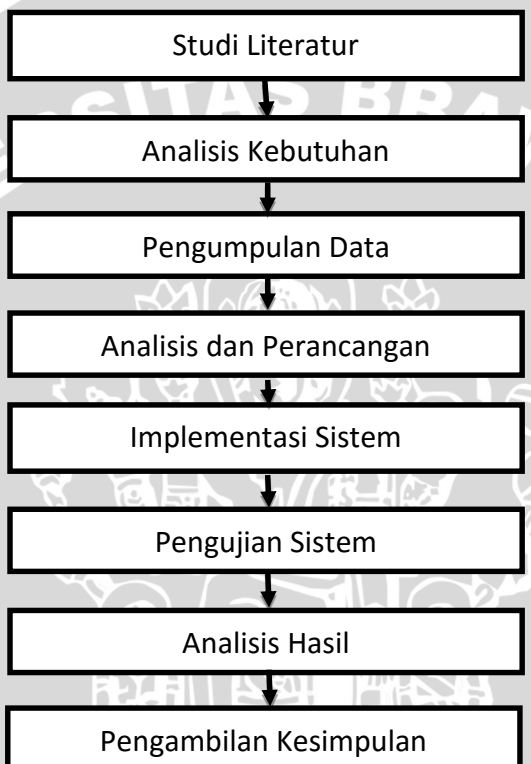
Namun pada kenyataan di lapangan, tanaman nilam yang dibudidayakan untuk menghasilkan minyak atsiri yaitu tanaman nilam Aceh. Tanaman nilam ini merupakan salah satu penghasil minyak atsiri utama di Indonesia. Minyak atsiri diperoleh dari hasil penyulingan daun dan tangkai tanaman nilam. Minyak atsiri yang dihasilkan dari tanaman nilam disebut minyak nilam (*patchouli oil*). Minyak nilam memiliki aroma yang kaya dan tahan lama. Minyak nilam banyak digunakan karena dapat dicampur dengan minyak atsiri lainnya. Minyak atsiri ini antara lain digunakan sebagai zat pengikat (fiksatif) dalam industri parfum, sabun, dan tonik rambut [KAA-05].



BAB 3

METODOLOGI PENELITIAN

Pada bab ini menjelaskan tahapan yang akan dilakukan dalam pembuatan sistem. Tahapan tersebut berisi studi literatur, pengumpulan data, analisa dan perancangan, implementasi sistem, pengujian sistem, dan kesimpulan. Berikut ini diberikan gambaran diagram blok dari tahapan yang akan dilakukan dalam metode penelitian.



Gambar 3.1 Blok Diagram Tahapan Penelitian

3.1 Studi Literatur

Metode ini digunakan untuk mendapatkan dasar teori sebagai sumber acuan untuk penulisan skripsi dan pengembangan aplikasi. Kajian pustaka yang berkaitan dengan tugas akhir ini meliputi jurnal dari penelitian yang sudah dilakukan sebelumnya. Studi literatur menjelaskan dasar teori yang digunakan sebagai penunjang dan pendukung penulisan skripsi. Teori penunjang dan pendukung skripsi ini meliputi :

1. Citra satelit
2. *Pre-processing* citra digital
3. *K-Means clustering*

4. Pengujian hasil *clustering*
5. Tanaman atsiri

Sumber atau referensi yang digunakan antara lain buku, jurnal, laporan penelitian, dan bantuan mesin pencari (*search engine*) internet.

3.2 Analisis Kebutuhan

Analisis kebutuhan merupakan proses untuk mengetahui kebutuhan apa saja dari sistem yang akan dibangun. Kebutuhan dibagi menjadi 2 yaitu kebutuhan fungsional dan non-fungsional. Kebutuhan fungsional merupakan kebutuhan sistem dalam hal yang bisa dilakukan oleh sistem. Sedangkan kebutuhan non-fungsional merupakan kebutuhan sistem dalam hal pendukung, *platform* berjalannya sistem, dan spesifikasi *software hardware* yang dibutuhkan untuk menjalankan sistem.

Kebutuhan fungsional sistem ini yaitu dapat melakukan proses perhitungan dengan menggunakan metode *improved K-Means*. Sistem juga harus dapat menghasilkan pengenalan tanaman atsiri berdasarkan perhitungan metode yang sudah dilakukan. *User* dapat menggunakan sistem ini secara terbuka tanpa harus *login* terlebih dahulu. *User* hanya perlu menginputkan citra satelit *multispectral* ke dalam sistem. Hasil yang keluar dari sistem berupa citra yang menggambarkan sebaran tanaman atsiri dari citra masukan yang dianalisa.

Kebutuhan non-fungsional yang dibutuhkan untuk mengembangkan sistem yaitu dengan menggunakan bahasa pemrograman C#. Sistem dibangun dengan *User Interface* yang mudah diakses dan dipelajari. Sistem membutuhkan performa kecepatan pemrosesan serta memory yang tinggi karena banyak proses yang dilakukan oleh algoritma dari metode *improved K-Means*.

3.3 Pengumpulan Data

Metodologi ini digunakan untuk mendapatkan data sebagai acuan untuk pengembangan sistem. Terdapat dua jenis data yang akan digunakan pada penelitian ini, yaitu data citra satelit *multispectral* dan data *groundtruth*. Citra satelit yang digunakan yaitu citra dari satelit landsat 8 OLI/TIRS. Dari keseluruhan 12 spektral yang ada, hanya digunakan 3 BAND 3 *visible green*, BAND 4 *visible red*, dan BAND 5 *Near Infrared*. Data yang diperoleh selanjutnya akan diolah menjadi data yang bisa digunakan untuk parameter *K-Means*. Data yang diperlukan yaitu data *time series* yang diambil oleh satelit pada setiap bulan mulai dari Februari – Juli 2015. Data yang diambil hanya data di wilayah Kesamben, Kabupaten Blitar.

Data *groundtruth* yaitu data kelas sebenarnya yang digunakan untuk pengujian sistem. Data ini diperoleh dengan observasi lapang di kebun atsiri Kecamatan Kesamben, Kabupaten Blitar dan sekitarnya. Hasil yang diperoleh dari sistem akan dicocokan koordinat wilayah yang ditandai sebagai tanaman atsiri



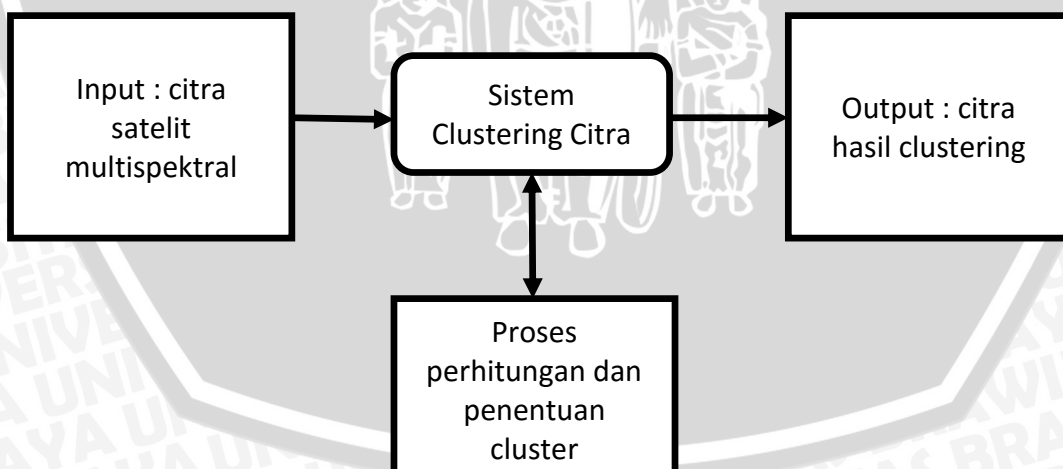
dengan mendatangi langsung tempat dengan koordinat yang dimaksud. Secara lebih lengkap dijelaskan pada tabel 3.1.

Tabel 3.1 Tabel Pengambilan Data

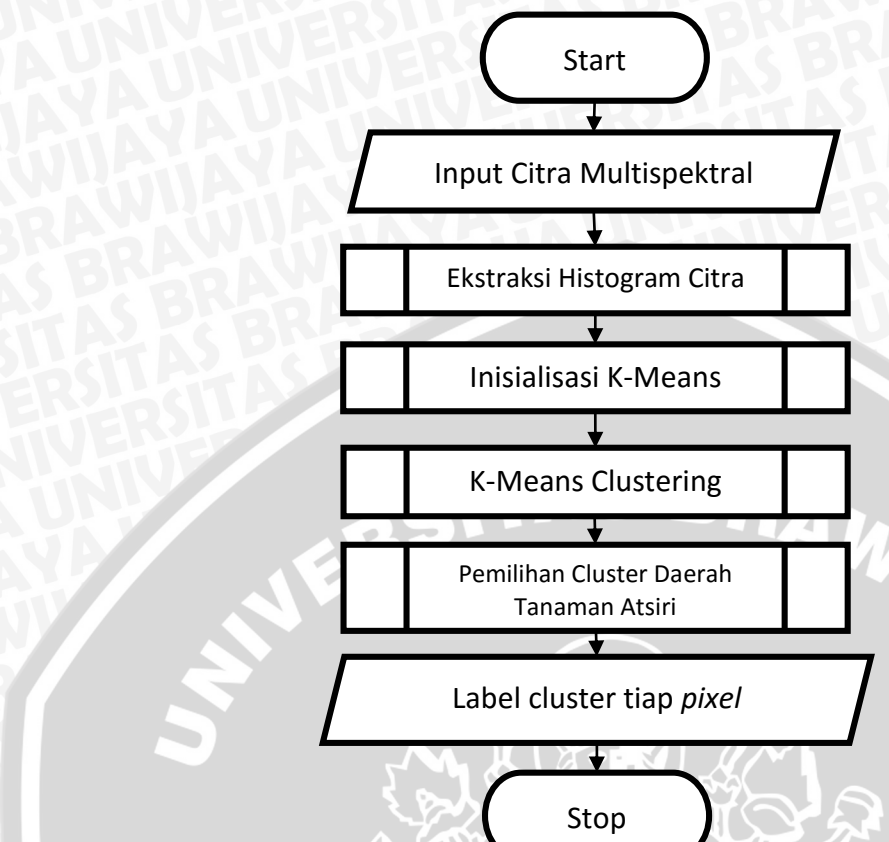
No.	Kebutuhan Data	Sumber Data	Metode	Kegunaan Data
1.	Data Citra Landsat 8 OLI/TIRS Wilayah Kesamben	www.earthexplorer.usgs.gov.us	Mengunduh data yang ada	Sebagai data <i>testing</i>
2.	Data <i>groundtruth</i>	Kebun atsiri Kecamatan Kesamben, Kabupaten Blitar	Observasi	Sebagai data untuk validasi

3.4 Analisis dan Perancangan

Perancangan arsitektur sistem adalah tahap dimana penulis mulai merancang suatu sistem yang mampu memenuhi semua kebutuhan fungsional dan non-fungsional aplikasi dalam tugas akhir ini. Teori-teori dari pustaka dan data digabungkan dengan ilmu yang didapat dianalisis untuk merancang serta mengembangkan sistem untuk mengidentifikasi tanaman atsiri menggunakan metode *improved K-Means* berbasis citra satelit. Perancangan sistem meliputi diagram alir, perancangan antarmuka, serta perhitungan manual metode. Rancangan arsitektur sistem secara digambarkan pada blok diagram pada Gambar 3.2.



Gambar 3.2 Blok Diagram Sistem



Gambar 3.3 Diagram Alir Berjalananya Sistem

Pada gambar 3.3 dijelaskan tentang diagram alir jalannya sistem *clustering* citra secara umum. Setelah sistem dimulai, maka *user* bisa menginputkan citra satelit BAND yang dibutuhkan. Kemudian sistem akan melakukan ekstraksi histogram citra masing-masing BAND, sehingga diperoleh puncak histogram citra sebagai inisialisasi *cluster* untuk melakukan *K-Means Clustering*. Inisialisasi ini mencakup inisialisasi *cluster* awal. Kemudian dilakukan proses *K-Means clustering* sehingga diperoleh *citra* yang menggambarkan berbagai banyak *cluster*. Setelah itu ditentukan *cluster* yang merupakan tanaman atsiri yang kemudian *output* dari sistem ini adalah citra yang menggambarkan sebaran tanaman atsiri pada daerah yang telah dianalisis.

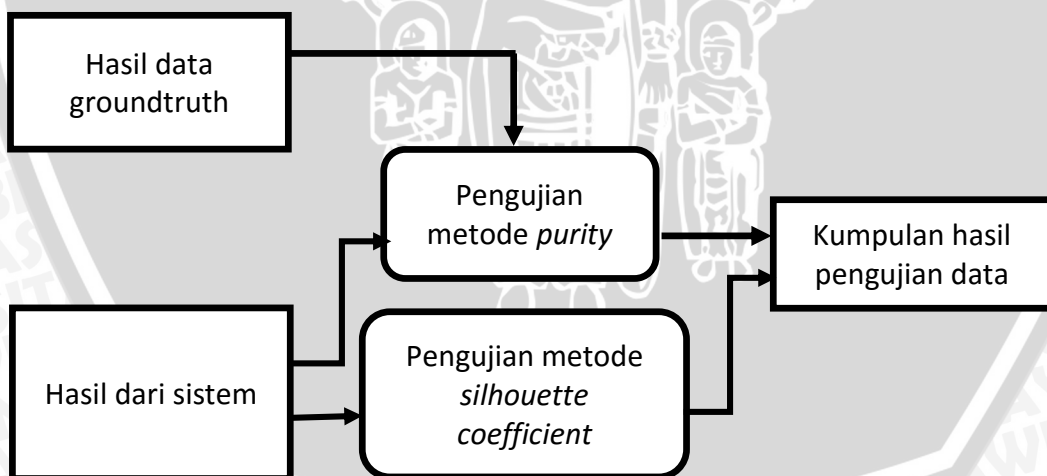
3.5 Implementasi Sistem

Implementasi sistem dilakukan dengan mengacu kepada perancangan sistem. Implementasi perangkat lunak dilakukan dengan menggunakan bahasa pemrograman C# yang di-*compile* menggunakan IDE Microsoft Visual Studio 2013. Implementasi sistem ini menggunakan *library* GDAL yang khusus dirancang untuk menangani pengolahan citra *spectral* dengan format GeoTIFF. Fitur utama dari sistem ini adalah bisa mengidentifikasi sebaran tanaman atsiri melalui analisis citra *multispectral*.

Ketika dijalankan sistem akan menampilkan *interface* untuk *user* memasukkan masukan berupa citra *multispectral*. Setelah itu sistem akan mengolah masukan dengan melakukan ekstraksi histogram untuk menghitung puncak histogram citra. Nilai yang diperoleh digunakan untuk menentukan jumlah *cluster* dalam perhitungan metode *K-Means*. Setelah itu nilai awal *cluster* setiap *pixel* diinisialisasi. Perhitungan menggunakan metode *K-Means* ini digunakan untuk menentukan *cluster* dari setiap *pixel* yang ada pada citra. Setelah anggota *cluster* ditentukan menggunakan *K-Means* maka *cluster* yang merupakan tanaman atsiri ditentukan dengan mencocokkan nilai yang ada pada *cluster* dengan sifat tanaman atsiri. Output dari sistem berupa citra klasterisasi area penelitian yang dengan label pada masing-masing *cluster*.

3.6 Pengujian Sistem dan Analisis Hasil

Pada tahap ini akan dilakukan pengujian keberhasilan dan akurasi sistem *clustering* yang telah dibuat pada tahap implementasi. Pengujian dilakukan dengan 2 kriteria, yaitu *internal criteria* dan *external criteria*. *Internal criteria* merupakan pengujian hasil *clustering* menggunakan data dari algoritma *clustering* itu sendiri. *External criteria* merupakan pengujian hasil *clustering* yang menggunakan data dari luar algoritma *clustering*, pengujian ini dilakukan untuk memeriksa kebenaran label *cluster* yang dihasilkan algoritma *improved K-Means* dengan data *groundtruth*. Pengujian *internal criteria* pada penelitian ini menggunakan metode *silhouette coefficient*, sedangkan untuk *external criteria* menggunakan metode *purity*. Blok diagram pengujian sistem ditunjukkan pada gambar 3.4.



Gambar 3.4 Blok Diagram Pengujian Sistem

3.6.1 Pengujian *Silhouette Coefficient*

Pengujian yang dilakukan dengan metode *silhouette coefficient* dilakukan dengan untuk semua *pixel* citra satelit hasil algoritma *clustering*. Hasil perhitungan ini dimasukkan ke dalam tabel 3.2. Masing-masing nilai *silhouette*

coefficient yang dihasilkan diproses lebih lanjut untuk mengetahui rata-rata nilai *silhouette coefficient* masing-masing *cluster*. Nilai rata-rata *silhouette coefficient* semua *pixel* juga dihitung untuk mengetahui nilai *silhouette coefficient* algoritma *improved K-Means* secara keseluruhan.

Tabel 3.2 Tabel Pengujian Metode Silhouette Coefficient

<i>Pixel No.</i>	<i>Cluster</i>	$a(i)$	$b(i)$	$s(i)$

3.6.2 Pengujian Metode Purity

Pengujian menggunakan metode *purity* dilakukan terhadap data uji tertentu. Data yang digunakan yaitu *pixel* yang sudah diketahui kelasnya melalui observasi data *groundtruth*. Kelas yang digunakan yaitu beberapa kelas yang ada di sekitar wilayah penelitian seperti, tanah terbangun, sawah padi, dan kebun atsiri. Setiap *cluster* yang digunakan dihitung nilai *purity* sehingga diketahui akurasi dari metode *improved K-Means*.

3.7 Pengambilan Kesimpulan

Pengambilan kesimpulan dilakukan setelah semua tahapan perancangan, implementasi dan pengujian sistem aplikasi telah selesai dilakukan dan didasarkan pada kesesuaian antara teori dan praktik. Kesimpulan diambil untuk menjawab rumusan masalah yang telah ditetapkan sebelumnya. Tahap terakhir dari penulisan adalah saran yang dimaksudkan untuk memperbaiki kesalahan-kesalahan yang terjadi dan menyempurnakan penulisan serta untuk memberikan pertimbangan atas pengembangan aplikasi selanjutnya.



BAB 4

PERANCANGAN

Bab ini membahas perancangan yang meliputi analisis kebutuhan sistem, pengumpulan data, dan perancangan sistem clustering citra. Analisis kebutuhan meliputi kebutuhan fungsional dan nonfungsional. Pengumpulan data meliputi data citra satelit Landsat 8 OLI dan data *groundtruth*. Perancangan sistem *clustering* meliputi desain sistem *clustering* citra menggunakan metode *improved K-Means*.

4.1 Analisis Kebutuhan

4.1.1 Deskripsi Umum

Secara umum sistem yang dibuat dalam penelitian ini adalah sistem yang dapat melakukan identifikasi tanaman atsiri dari citra satelit Landsat 8. Sistem ini menggunakan metode *improved K-Means* untuk melakukan identifikasi berdasarkan nilai *spectral* yang dihasilkan oleh satelit Landsat 8. Sistem menggunakan nilai *spectral* dari BAND 3, BAND 4, dan BAND 5 untuk melakukan *clustering* kemudian mengenali *cluster* yang merupakan tanaman atsiri.

4.1.2 Analisis Kebutuhan Fungsional

Kebutuhan fungsional adalah kebutuhan utama yang harus dimiliki agar sistem identifikasi dapat bekerja sesuai dengan tujuannya, yaitu :

1. Sistem harus menyediakan *form* untuk melakukan *input* data citra satelit untuk membentuk *dataset* nilai *pixel* citra.
2. Sistem harus mampu membaca format citra geotiff serta mengolah data citra lebih lanjut menggunakan metode *improved K-Means*.
3. Sistem harus mampu menghasilkan *cluster* dan *label cluster* agar lokasi tanaman atsiri dapat dibaca oleh user.

4.1.3 Analisis Kebutuhan Non-Fungsional

Kebutuhan non-fungsional adalah kebutuhan sistem agar sistem dapat digunakan dengan baik dan lancar, yaitu :

1. *Compatibility* : sistem harus dapat dijalankan di PC dengan sistem operasi Windows.
2. *Availability* : sistem harus mampu digunakan dalam jangka waktu 24 jam sehari, 7 hari perminggu.
3. *Usability* : sistem harus memiliki *user interface* yang mudah dan nyaman digunakan oleh *user*, serta sesuai dengan tujuan dari pembuatan sistem.



- Performance* : sistem harus dapat digunakan dengan kecepatan proses yang maksimal.

4.2 Pengumpulan Data

4.2.1 Data Citra Satelit

Data citra satelit pada penelitian ini menggunakan citra satelit Landsat8 OLI yang diperoleh dengan mengunduh di earthexplorer USGS. Citra yang digunakan telah melalui proses cropping pada daerah sekitar perkebunan tanaman atsiri di Kecamatan Kesamben, Kabupaten Blitar. Citra ini memiliki ukuran 41x42 pixel. Pada penelitian ini digunakan 6 citra yang merepresentasikan 6 bulan periode tanam tanaman atsiri. Citra yang digunakan diambil dari bulan Februari 2015 sampai Juli 2015. Detail spesifikasi citra yang digunakan dijelaskan pada tabel 4.1. Detail yang ditampilkan meliputi nomor identitas citra, tanggal perekaman, waktu perekaman, dan cloud coverage. *Cloud coverage* yaitu seberapa persen luas awan yang menutupi permukaan bumi saat citra direkam.

Tabel 4.1 Tabel Data Citra Satelit Landsat 8

Landsat Scene ID	Tanggal Perekaman	Waktu Perekaman	Cloud Coverage (%)
LC81180662015055LGN00	2015-02-24	02:35:58.0503736Z	27.03
LC81180662015087LGN00	2015-03-28	02:35:38.8368115Z	9.62
LC81180662015119LGN00	2015-04-29	02:35:25.7222365Z	34.00
LC81180662015135LGN00	2015-05-15	02:35:10.0371358Z	16.75
LC81180662015167LGN00	2015-06-16	02:35:27.3889844Z	9.08
LC81180662015199LGN00	2015-07-18	02:35:43.8314918Z	8.83

Data citra yang digunakan memiliki koordinat lokasi yang sama, yaitu :

Upper Left : 112°21'45.26" E, 8°8'36.28"S
Lower Left : 112°21'45.39" E, 8°9'16.32"S
Upper Right : 112°22'26.42" E, 8°8'36.14"S
Lower Right : 112°22'26.56" E, 8°9'16.18"S
Center : 112°22'5.91" E, 8°8'56.23"S
Datum : WGS_1984
Projection : UTM
WRS Path : 118
WRS Row : 66

4.2.2 Data *Groundtruth*

Data *groundtruth* merupakan data lokasi perkebunan atsiri serta lingkungan sekitar. Data ini diperoleh dengan melakukan observasi lokasi secara

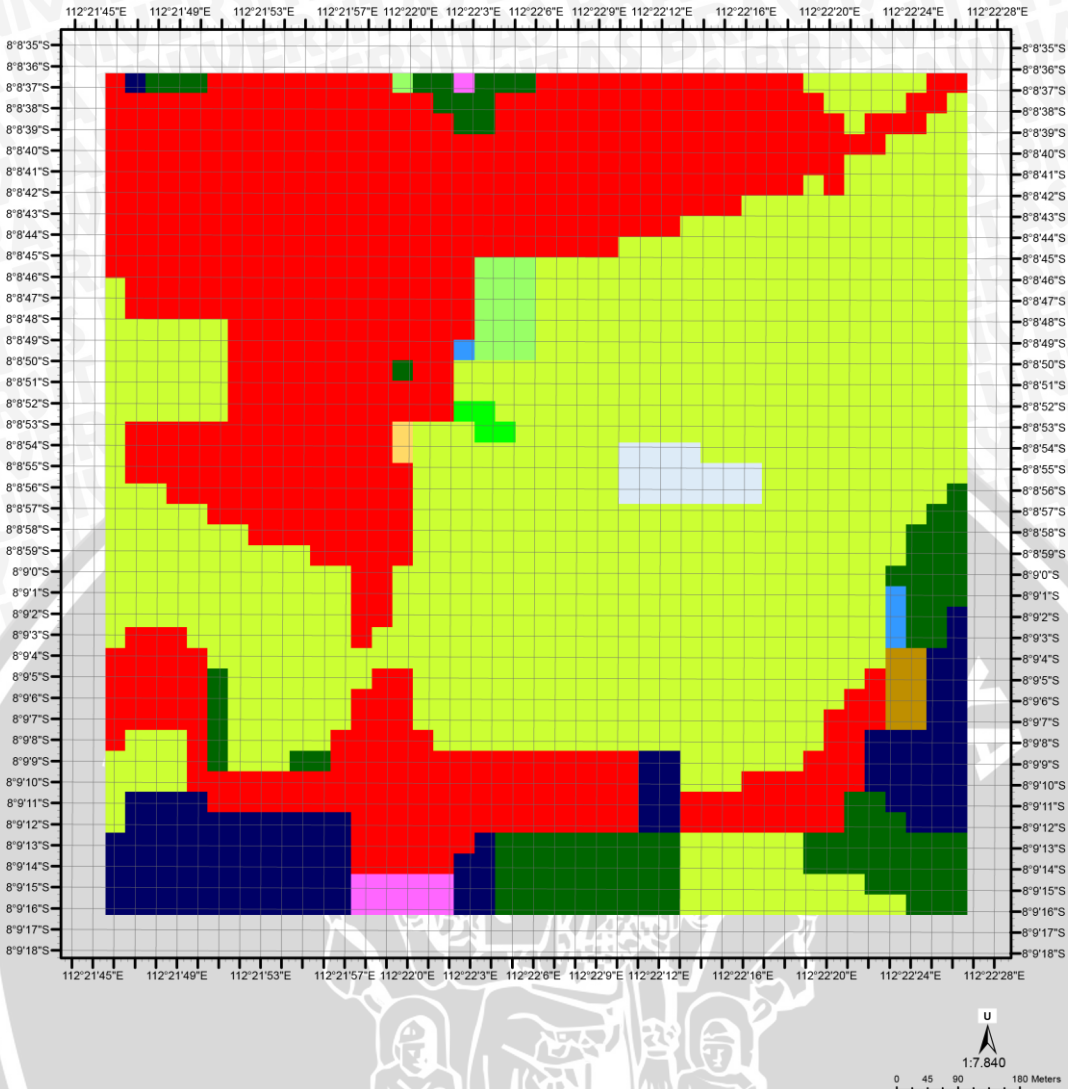
langsung menggunakan alat *Global Positioning System* (GPS). GPS yang digunakan pada observasi lokasi yaitu Garmin Etrex 20 dengan akurasi penentuan lokasi mencapai 3-7 meter. Data lokasi berupa kumpulan koordinat geografis. Observasi dilakukan di perkebunan atsiri percontohan milik Universitas Brawijaya di Kecamatan Kesamben, Kabupaten Blitar serta daerah sekitar yang berada pada area citra satelit yang digunakan pada penelitian ini.

Data yang diperoleh dari pengambilan posisi menggunakan GPS direpresentasikan pada peta dengan resolusi spectral 30 x 30 meter. Resolusi ini digunakan karena citra satelit yang digunakan pada penelitian ini juga memiliki resolusi 30 x 30 meter. Penggunaan lahan di sekitar kebun atsiri dibagi menjadi 11 kelas. Untuk menentukan kelas pada sebuah *pixel* dilihat dari kelas yang mendominasi pada daerah dengan area 30 x 30 meter. Data kelas sebenarnya untuk setiap *pixel* serta koordinat *pixel* dapat dilihat pada gambar 4.1 serta keterangan warna dan label kelas dapat dilihat pada tabel 4.2.

Tabel 4.2 Pelabelan kelas pada data *groundtruth*

No	Warna	Kelas
0	Red	Bangunan
1	Dark Green	Pohon besar
2	Yellow	Tanah terbuka
3	Light Green	Rerumputan
4	Magenta	Pemakaman
5	Light Yellow	Sawah padi
6	Blue	Sawah jagung
7	Dark Blue	Kebun bambu
8	Orange	Kebun tebu
9	Green	Serai wangi
10	Cyan	Nilam





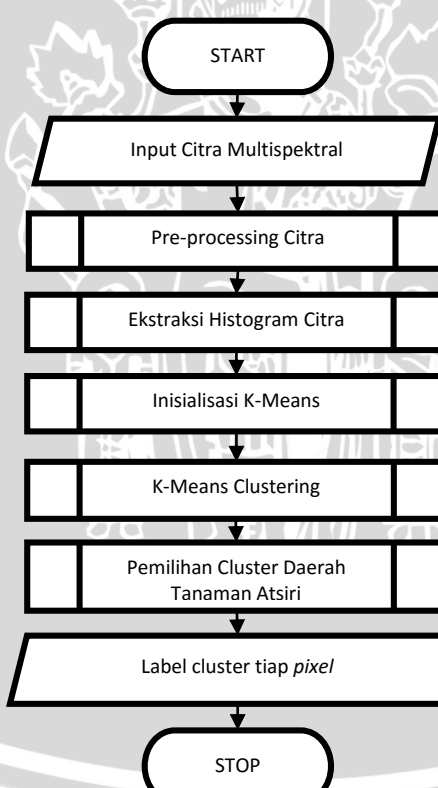
Gambar 4.1 Data *groundtruth*

4.3 Perancangan Sistem Identifikasi

4.3.1 Flowchart Sistem

Perancangan *flowchart* sistem identifikasi tanaman atsiri menggunakan metode *Improved K-Means* berdasarkan citra satelit pada penelitian ini terdiri dari *flowchart* sistem secara keseluruhan serta *flowchart* penjelasan terhadap *pre-defined process* yang terdapat pada *flowchart* sistem secara keseluruhan.

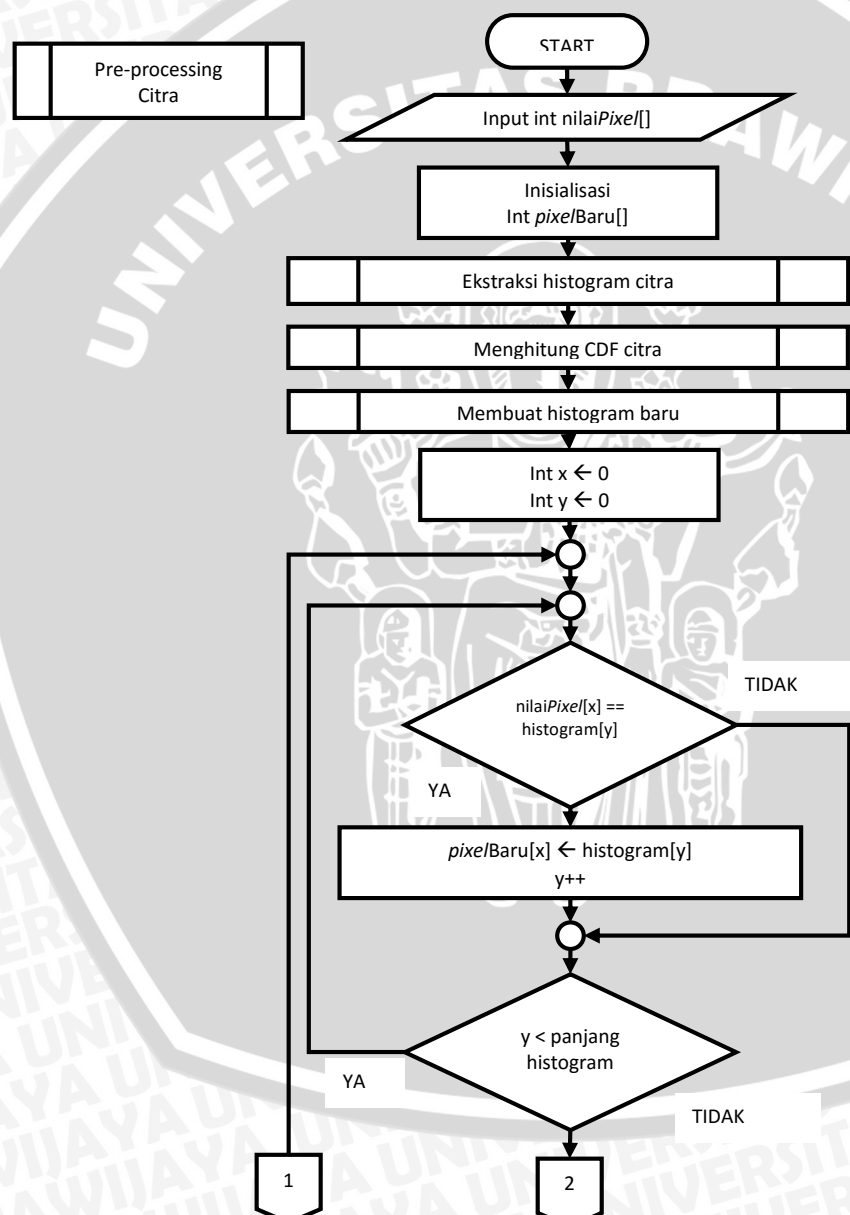
Flowchart pada gambar 4.1 menjelaskan alur jalannya sistem identifikasi tanaman atsiri secara umum. Langkah-langkah yang dilakukan oleh sistem yaitu pertama menerima masukan citra *multispectral* dari *user*. Pada langkah selanjutnya sistem melakukan *pre-processing* citra masukan. *Pre-processing* citra ini menggunakan metode *histogram equalization*. Tahap berikutnya sistem melakukan ekstraksi histogram untuk digunakan pada proses inisialisasi *K-Means*. Setelah proses inisialisasi selesai, sistem melakukan *K-Means clustering*. Langkah selanjutnya yaitu memilih *cluster* yang merupakan tanaman atsiri dan output yang ditampilkan oleh sistem yaitu label *cluster* pada setiap *pixel*.

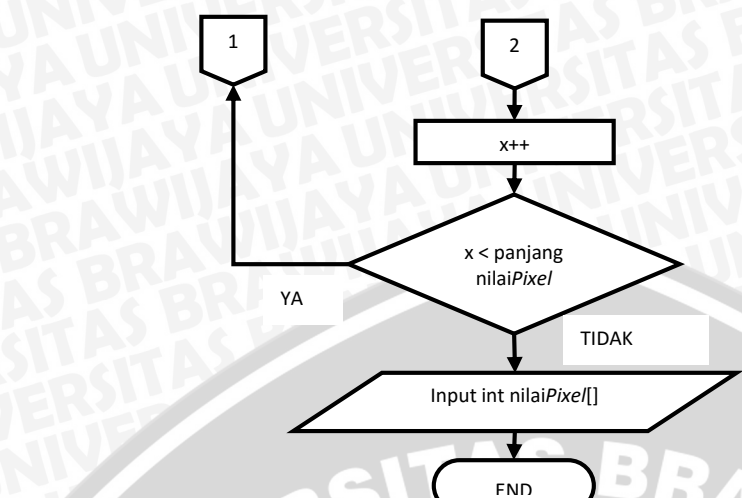


Gambar 4.2 *Flowchart* sistem identifikasi tanaman atsiri

1. Flowchart Pre-Processing Citra Metode Histogram Equalization

Gambar 4.2 menjelaskan alur sistem dalam melakukan *pre-processing* citra menggunakan metode *histogram equalization*. *Input* yang dibutuhkan fungsi ini yaitu *array* nilai *pixel* citra. Sistem melakukan inisialisasi *array* yang digunakan untuk menyimpan nilai *pixel* citra yang baru. Sistem melakukan proses untuk melakukan ekstraksi histogram kemudian melakukan proses menghitung *Cumulative Distribution Function* (CDF). Sistem selanjutnya melakukan perulangan untuk memasukkan nilai *pixel* yang baru ke dalam *array* berdasarkan histogram yang baru.

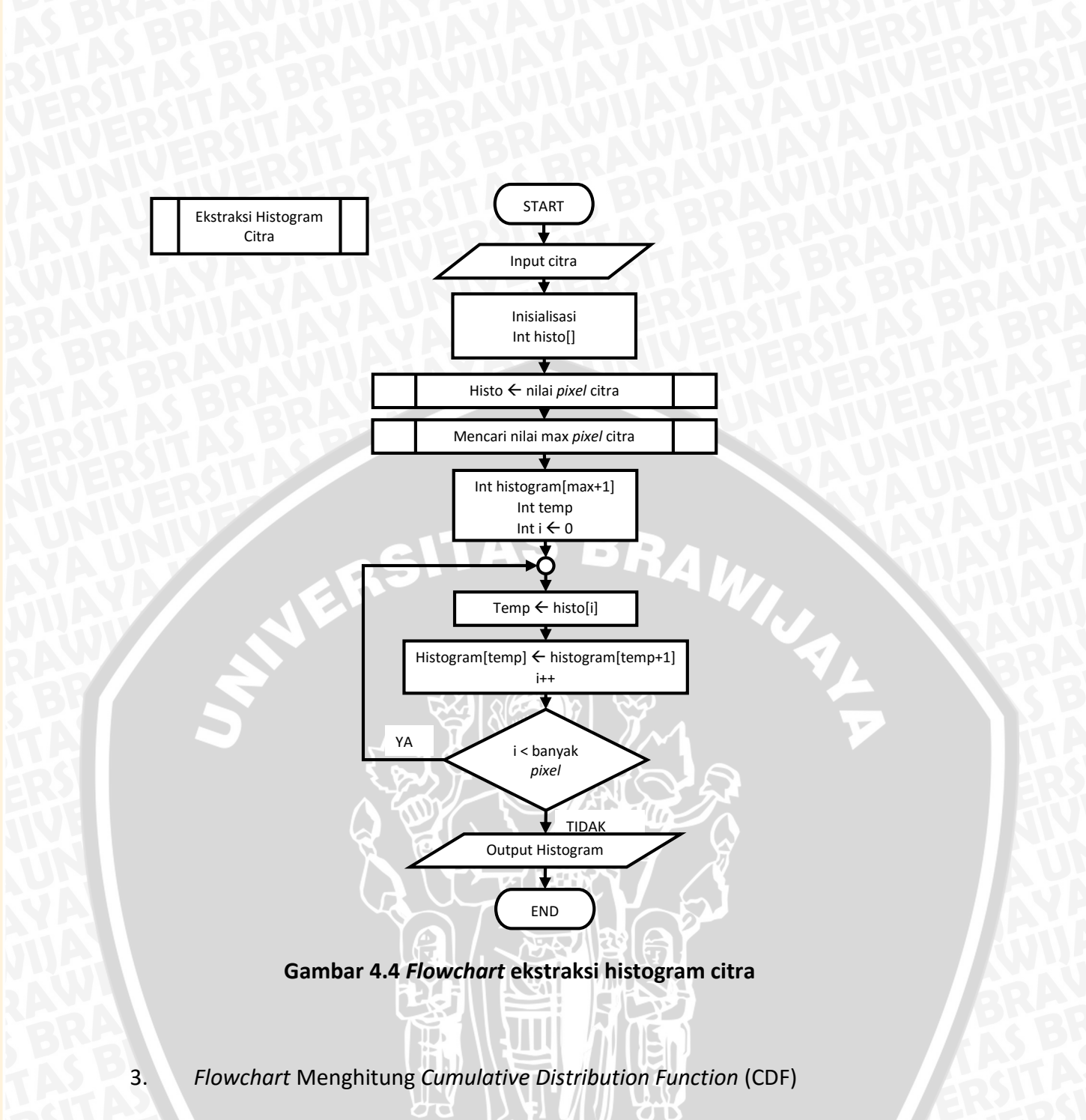




Gambar 4.3 Flowchart pre-processing citra histogram equalization

2. Flowchart Ekstraksi Histogram Citra

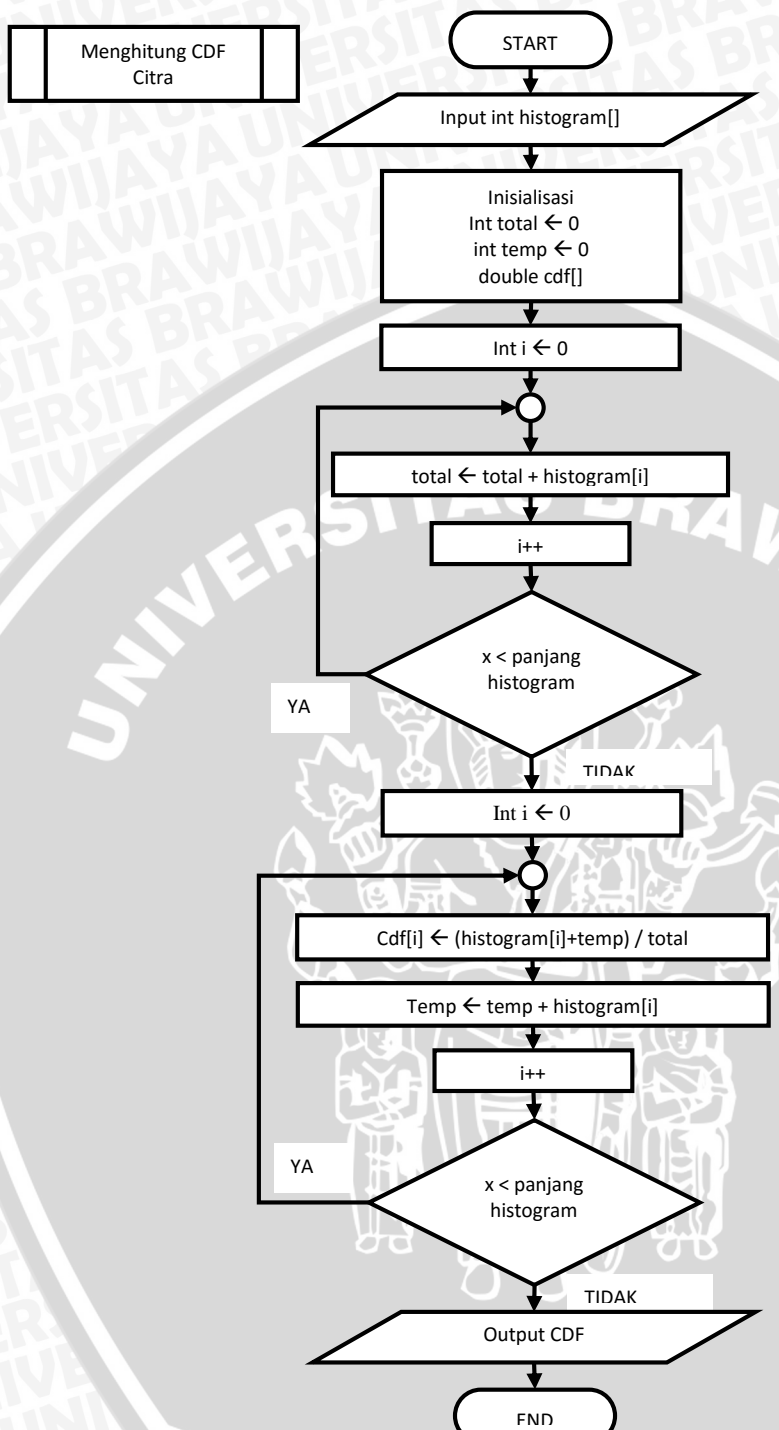
Gambar 4.3 menjelaskan alur sistem dalam melakukan ekstraksi histogram citra. *Input* yang dibutuhkan pada proses ini yaitu citra yang akan digunakan sebagai *dataset*. Sistem melakukan inisialisasi *variable array* yang digunakan untuk menyimpan nilai *pixel* secara *temporary*. Nilai *pixel* citra dimasukkan ke array *temporary* lalu dicari nilai maksimum dari array tersebut. Nilai maksimum ini digunakan untuk melakukan inisialisasi array yang digunakan untuk menyimpan histogram karena array histogram ini memiliki panjang sesuai dengan nilai maksimum *pixel* ditambah 1. Perulangan digunakan untuk memasukkan nilai histogram ke dalam array dengan menambahkan nilai 1 pada setiap indeks array histogram yang sesuai dengan nilai *pixel* pada array histo.



3. Flowchart Menghitung Cumulative Distribution Function (CDF)

Gambar 4.4 menjelaskan alur sistem dalam menghitung CDF. Proses ini membutuhkan *input* histogram citra. Sistem melakukan inisialisasi *variable* total, *temporary*, dan *array* yang digunakan untuk menyimpan nilai cdf. Sistem menghitung total nilai yang ada pada *array* histogram menggunakan perulangan. Nilai total histogram digunakan untuk menghitung cdf dengan formula yang telah dijelaskan pada bab sebelumnya. Proses menghitung cdf menggunakan perulangan sebanyak panjang *array* histogram.



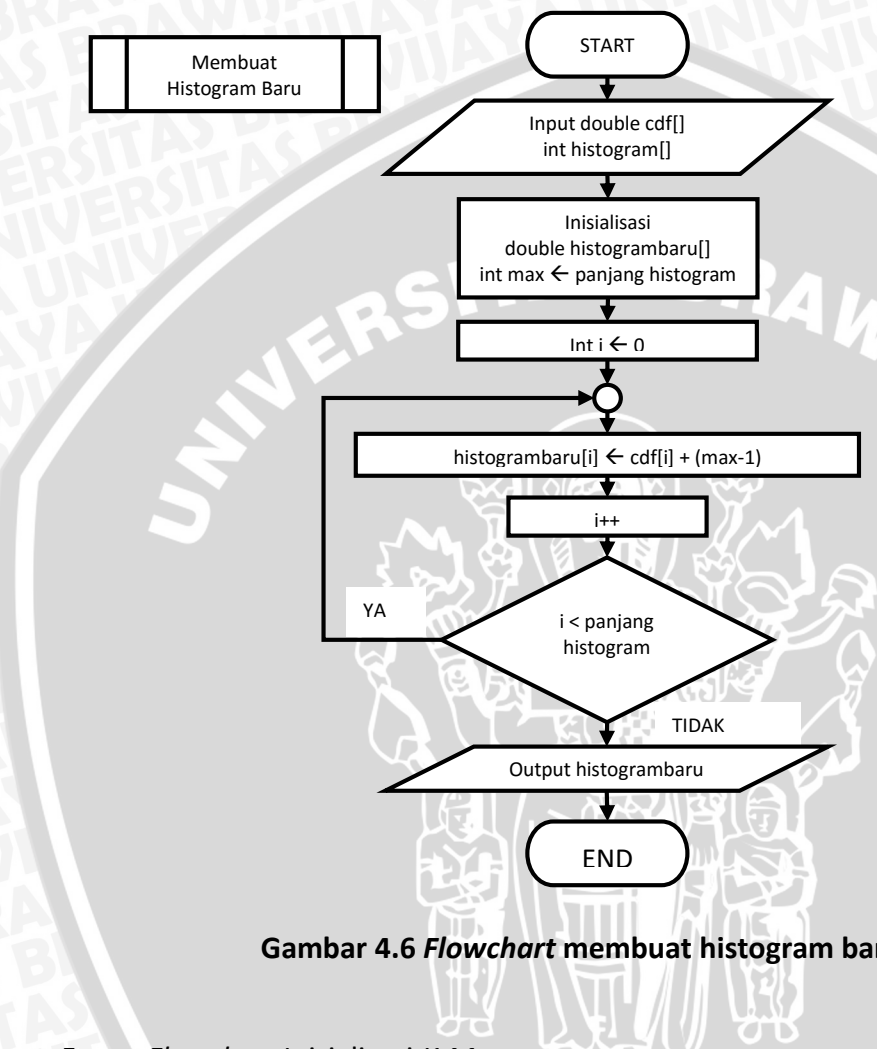


Gambar 4.5 Flowchart menghitung Cumulative Distribution Function (CDF)

4. Flowchart Membuat Histogram Baru

Gambar 4.5 menjelaskan alur sistem dalam membuat histogram baru dari nilai cdf yang telah dihitung sebelumnya. *Input* yang diperlukan untuk melakukan

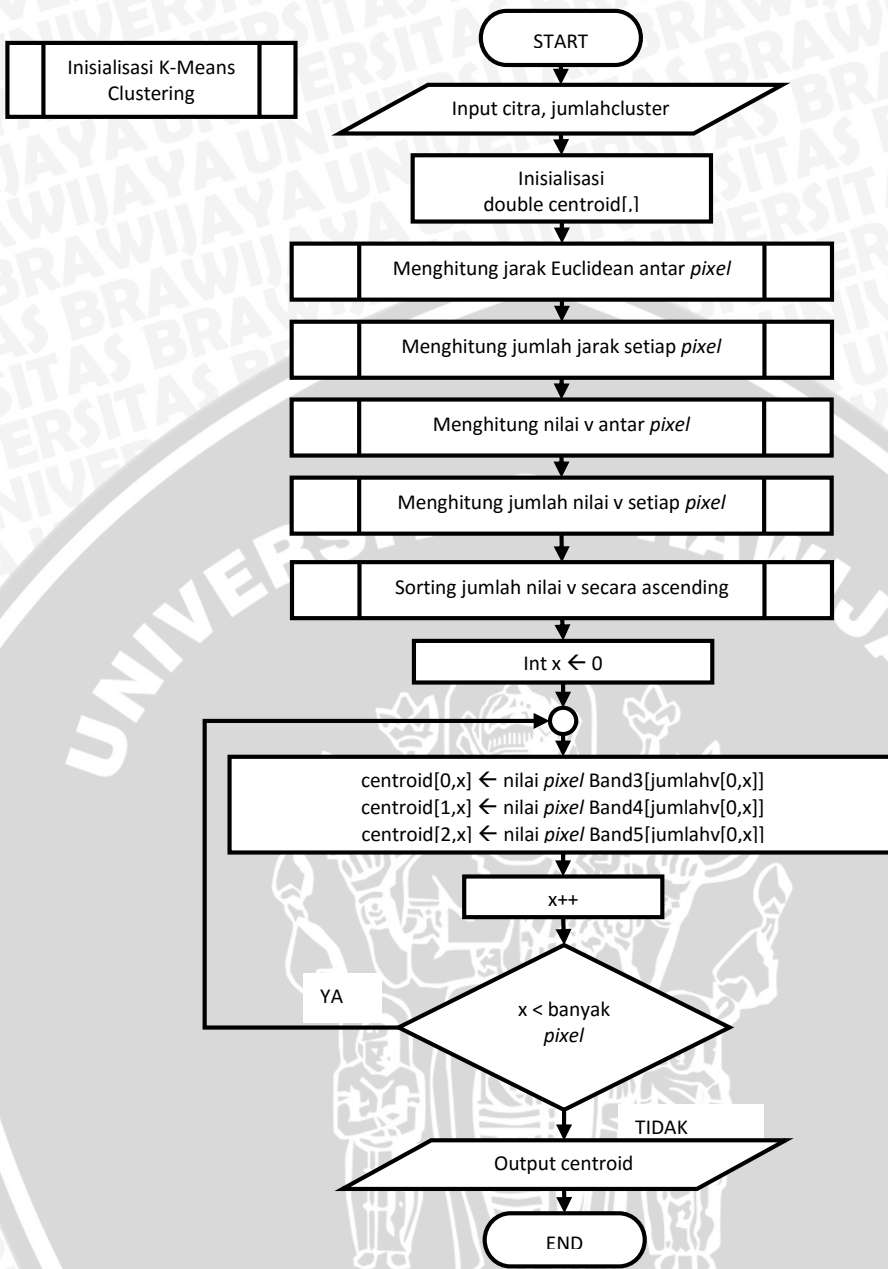
proses ini yaitu nilai cdf dan histogram citra. Sistem melakukan inisialisasi *variable array* yang digunakan untuk menyimpan histogram yang baru dan variable max yang nilainya merupakan panjang dari *array histogram*. Histogram baru diperoleh dengan mengalikan nilai cdf tiap level histogram dan nilai max yang dikurangi 1. Proses ini dilakukan sebanyak panjang *array histogram*.



Gambar 4.6 Flowchart membuat histogram baru

5. Flowchart Inisialisasi K-Means

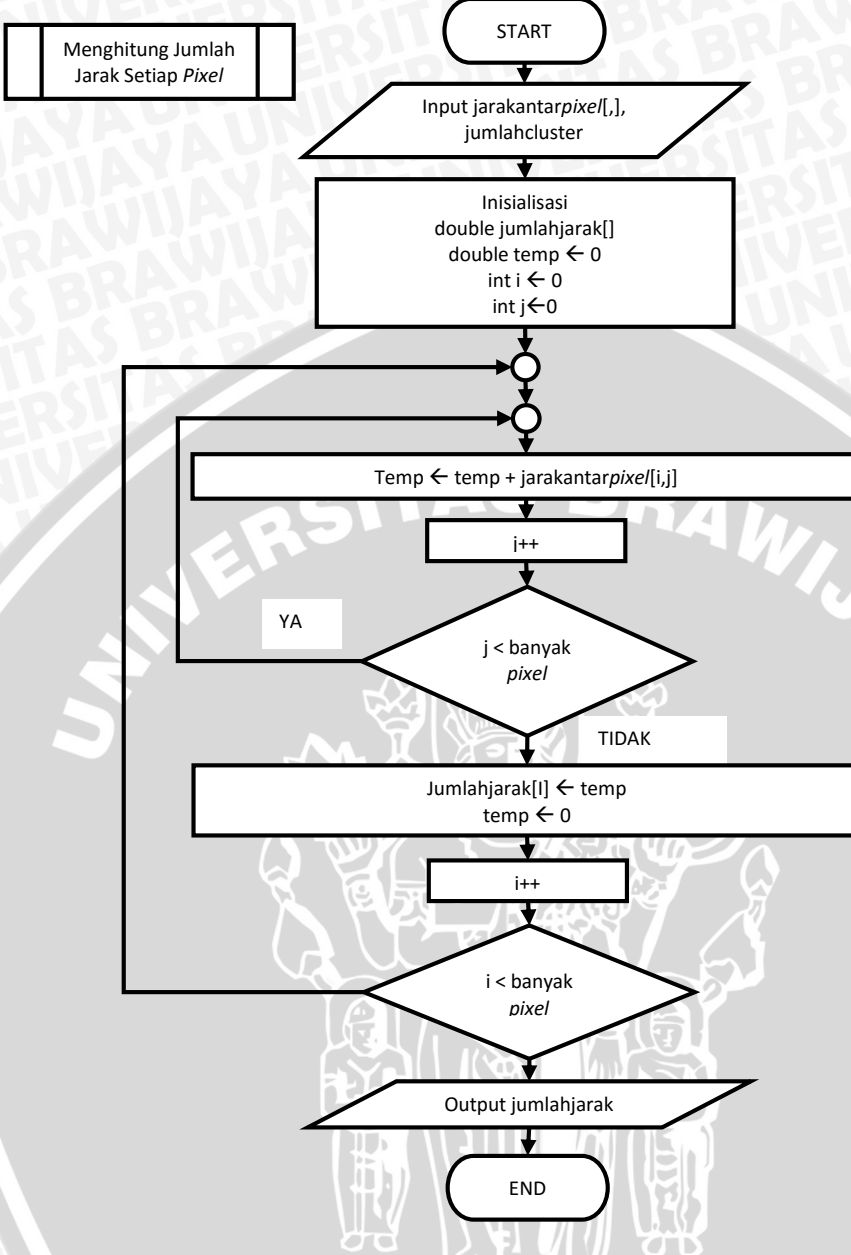
Gambar 4.6 menjelaskan alur kerja sistem dalam melakukan proses inisialisasi *K-Means*. Masukan yang dibutuhkan pada proses ini yaitu *dataset citra* dan jumlah *cluster*. Proses pertama yang dilakukan yaitu inisialisasi *variable array* yang digunakan untuk menyimpan *centroid* awal yang dihasilkan. Proses selanjutnya yaitu menghitung *Euclidean Distance* antar *pixel*, kemudian menghitung jumlah jarak setiap *pixel*. Jumlah ini digunakan untuk menghitung nilai *v* pada proses berikutnya, kemudian sistem menghitung jumlah nilai *v* setiap *pixel*. Proses selanjutnya yaitu melakukan *sorting ascending* pada jumlah nilai *v*, selanjutnya nilai *pixel* titik yang digunakan untuk *centroid* awal diambil dari n-titik yang memiliki jumlah nilai *v* terkecil menggunakan perulangan.



Gambar 4.7 Flowchart proses inisialisasi K-Means

6. Flowchart Menghitung Jumlah Jarak setiap Pixel

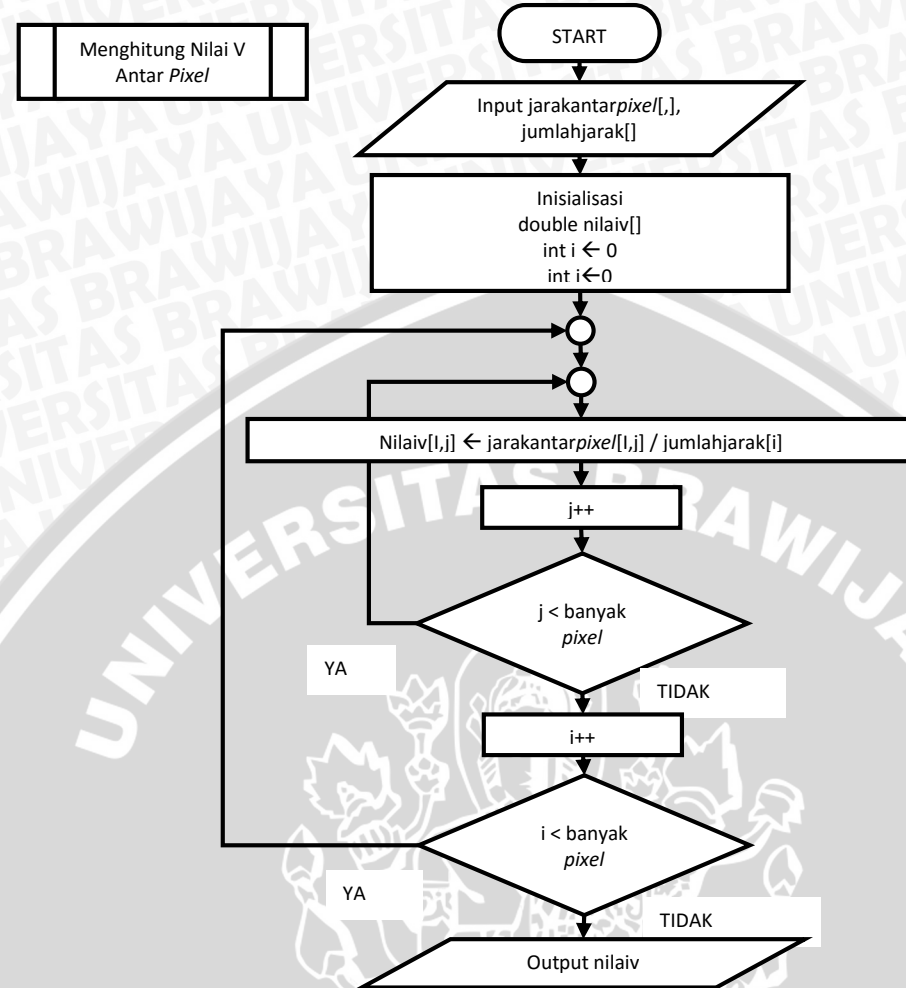
Gambar 4.7 menjelaskan alur kerja sistem dalam melakukan proses menghitung jumlah jarak setiap *pixel* terhadap *pixel* lain. *Input* yang dibutuhkan pada proses ini yaitu jarak antar *pixel*. Langkah yang dilakukan yaitu inisialisasi *variable array* yang digunakan untuk menyimpan jumlah jarak setiap *pixel* dan *variable temporary*. Langkah utama dari proses ini yaitu menghitung total *Euclidean Distance* sebuah *pixel* terhadap *pixel* lain. Langkah ini dilakukan sebanyak jumlah *pixel* menggunakan perulangan.



Gambar 4.8 Flowchart proses menghitung jumlah jarak setiap pixel

7. Flowchart Menghitung Nilai v antar Pixel

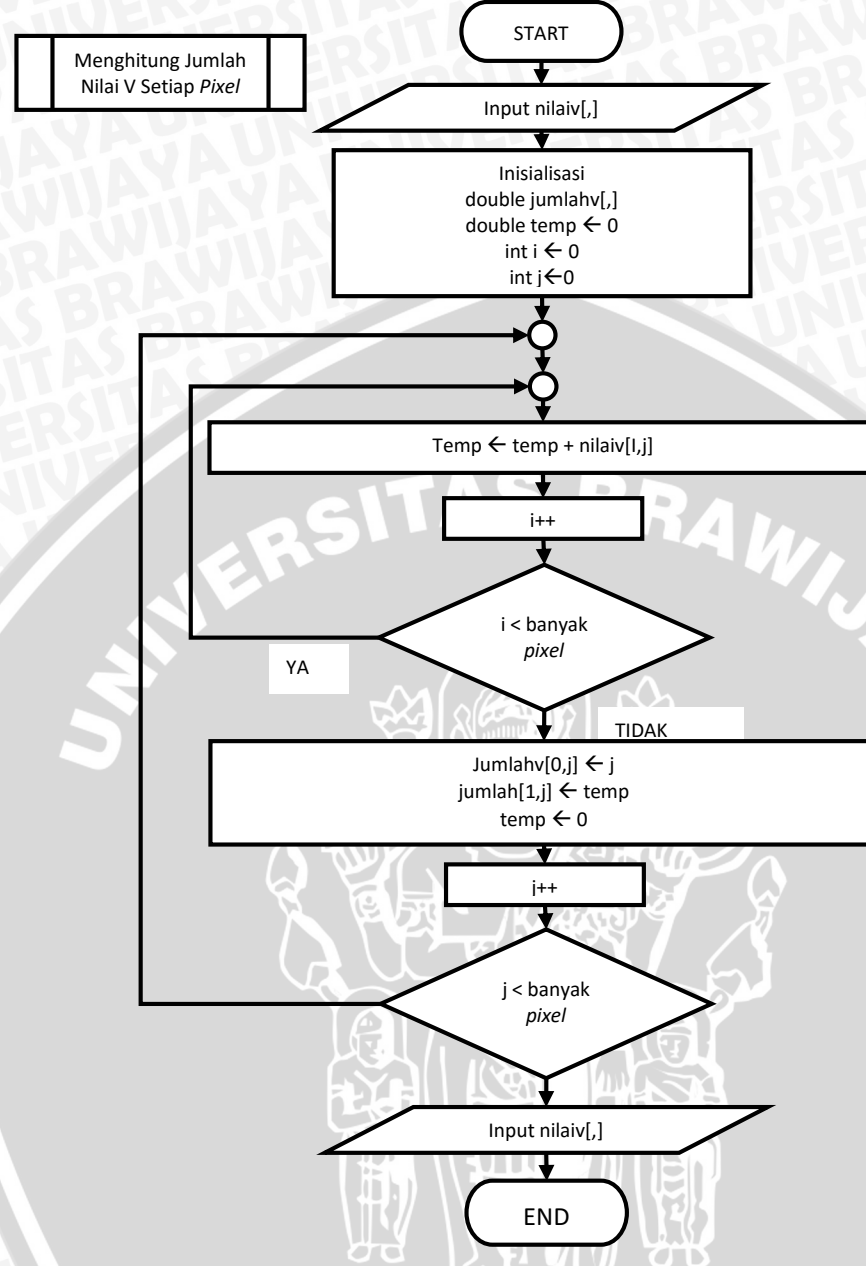
Gambar 4.8 menjelaskan alur kerja sistem dalam melakukan proses menghitung nilai v setiap *pixel* terhadap *pixel* lain. Input yang dibutuhkan dalam proses ini yaitu jarak antar *pixel* terhadap *pixel* lain dan jumlah jarak untuk setiap *pixel*. Inisialisasi dilakukan terhadap *variable array* untuk menyimpan nilai v antar *pixel*. Proses dilakukan dengan membagi jarak antar *pixel* dengan jumlah jarak pada *pixel*. Perhitungan tersebut dilakukan untuk semua jarak antar *pixel* menggunakan perulangan.



Gambar 4.9 *Flowchart* proses menghitung nilai v antar pixel

8. Flowchart Menghitung Jumlah Nilai v setiap Pixel

Gambar 4.9 menjelaskan alur kerja sistem dalam melakukan proses menghitung jumlah nilai v setiap *pixel*. Input yang dibutuhkan untuk proses ini yaitu nilai v antar *pixel*. Langkah yang dilakukan yaitu inisialisasi *variable array* yang digunakan untuk menyimpan jumlah nilai v untuk setiap *pixel* dan *variable temporary*. Nilai jumlah dihitung menggunakan perulangan dengan bantuan *variable temporary*.

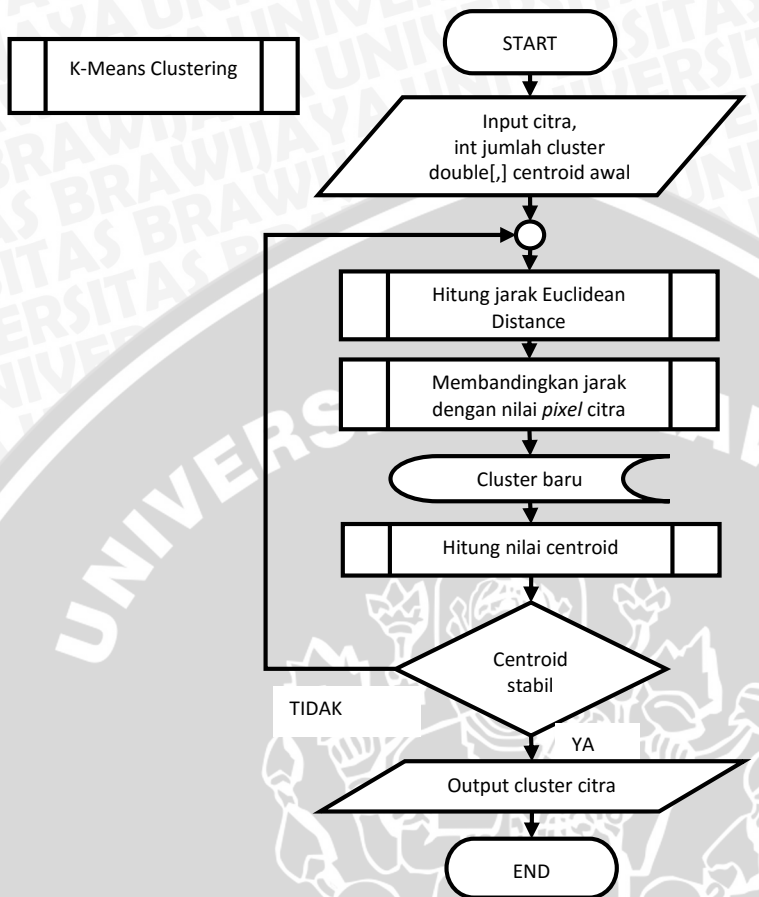


Gambar 4.10 Flowchart proses menghitung jumlah nilai v setiap pixel

9. Flowchart K-Means Clustering

Gambar 4.10 menjelaskan alur kerja sistem dalam melakukan proses *K-Means clustering*. Input yang dibutuhkan pada proses ini yaitu *dataset* citra yang digunakan dan jumlah *cluster* yang dibentuk. Proses pertama yang dilakukan yaitu inisialisasi *cluster* awal pada *dataset*. Alur pada proses ini serupa dengan langkah-langkah *K-Means clustering* yang dijelaskan pada bab sebelumnya. Langkah menghitung nilai *centroid*, kemudian jarak *Euclidean*, kemudian membandingkan

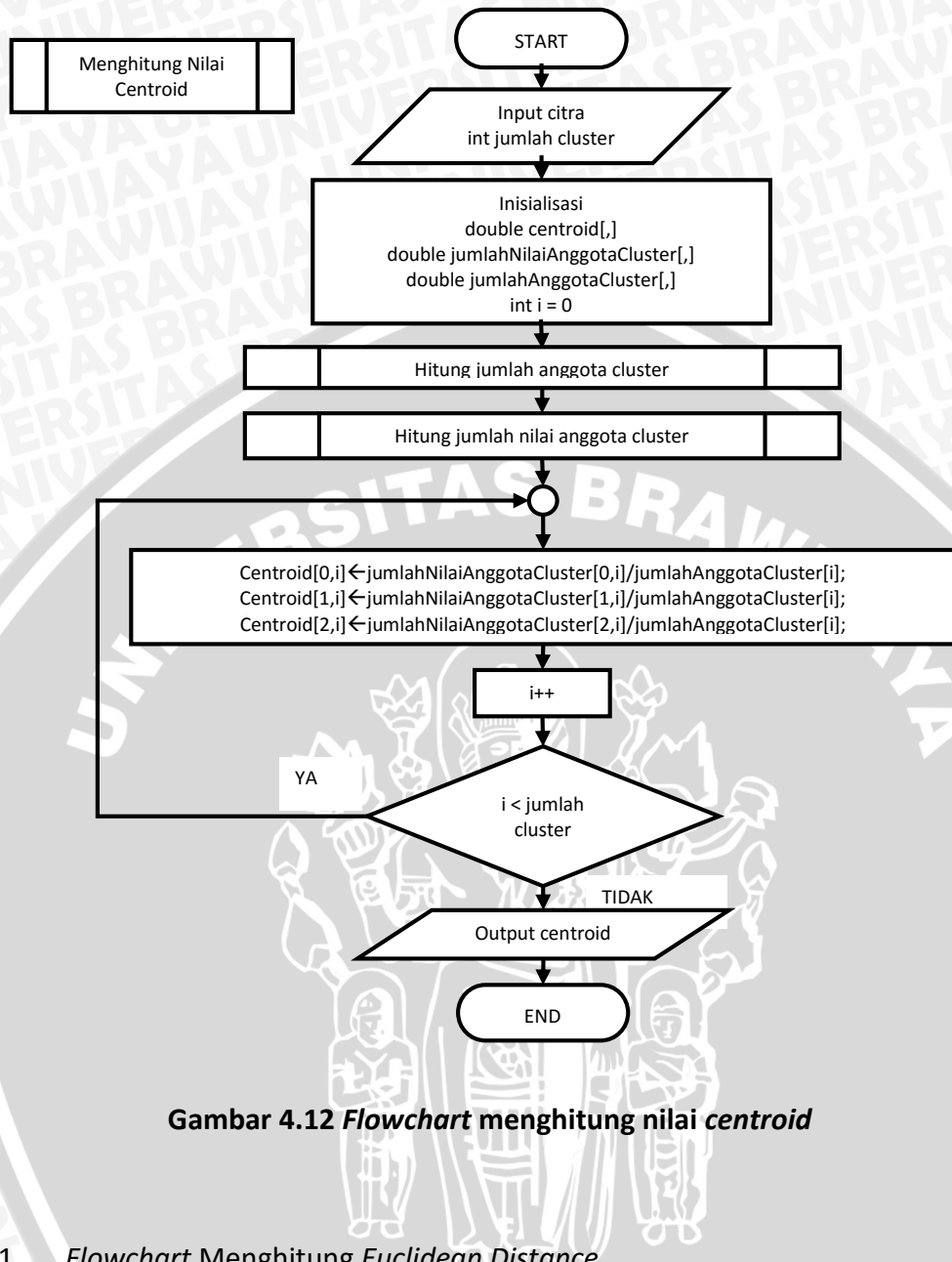
jarak *Euclidean* untuk mendapatkan *cluster* baru menggunakan perulangan hingga nilai *centroid* stabil.



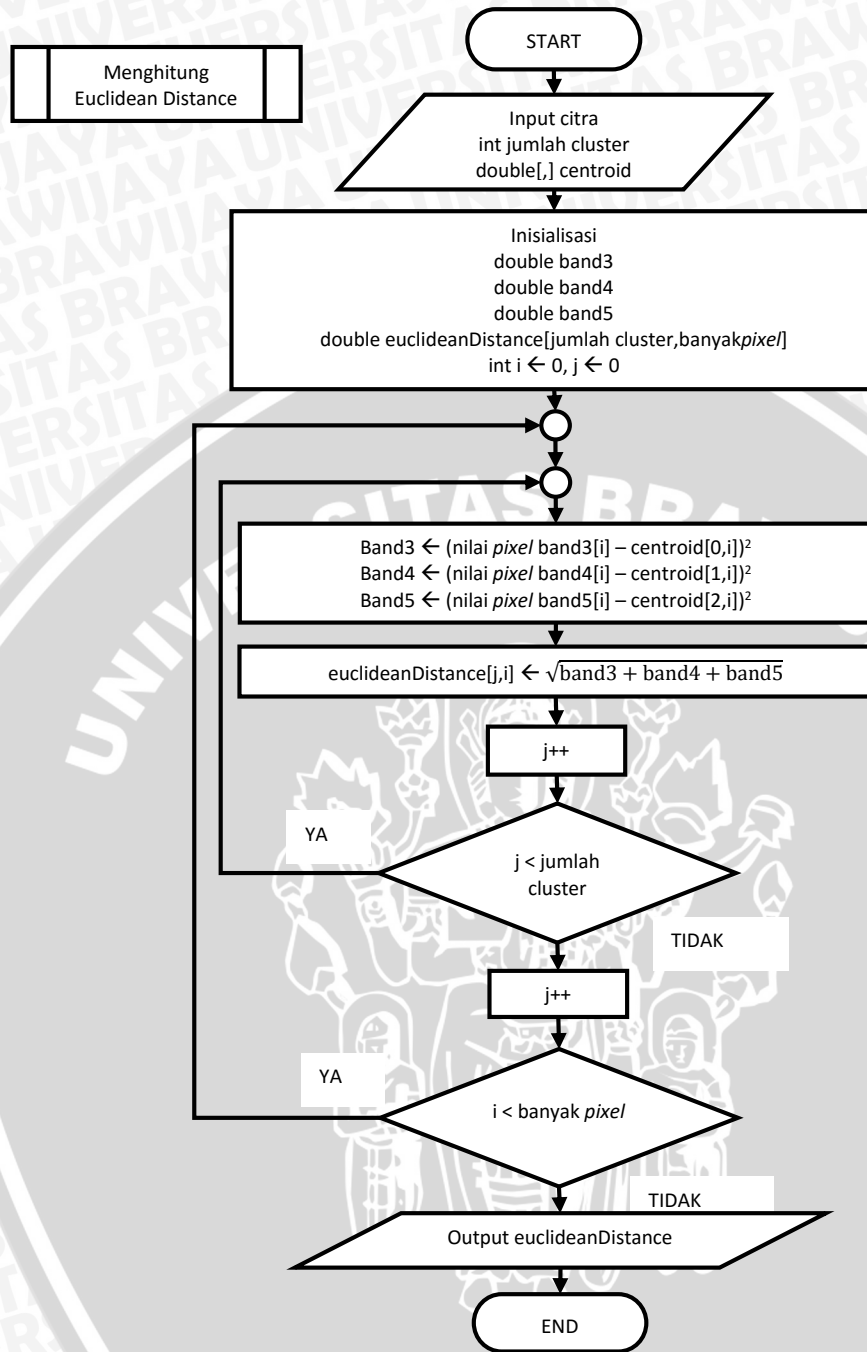
Gambar 4.11 *Flowchart* proses *K-Means Clustering*

10. *Flowchart* Menghitung Nilai *Centroid*

Gambar 4.11 menjelaskan alur sistem dalam proses menghitung nilai *centroid*. Input yang dibutuhkan yaitu dataset citra dan jumlah *cluster* yang akan dibuat. Proses selanjutnya sistem melakukan inisialisasi *variable array* untuk menyimpan *centroid*, *array* untuk jumlah nilai anggota untuk setiap *cluster*, dan jumlah anggota masing-masing *cluster*. Proses selanjutnya yaitu menghitung jumlah anggota *cluster* dan jumlah nilai anggota masing-masing *cluster*. Kemudian menghitung nilai *centroid* dari masing-masing BAND untuk masing-masing *cluster* menggunakan iterasi.

Gambar 4.12 Flowchart menghitung nilai *centroid*11. Flowchart Menghitung *Euclidean Distance*

Gambar 4.12 menjelaskan alur sistem dalam menghitung *euclidean distance*. Proses ini membutuhkan *input dataset* citra, jumlah *cluster*, dan *centroid*. Selanjutnya sistem melakukan proses untuk inisialisasi *variable* yang dibutuhkan, yaitu *variable* untuk menyimpan selisih nilai *pixel* dengan nilai *centroid* pada setiap BAND dengan nama band3 sampai band4, dan *variable* untuk menyimpan *variable* untuk menyimpan seluruh *euclidean distance* untuk setiap *pixel*. Proses perhitungan dilakukan sesuai dengan formula *euclidean distance* yang telah dijelaskan pada bab sebelumnya menggunakan perulangan untuk setiap *pixel dataset*.



Gambar 4.13 Flowchart menghitung Euclidean distance

4.3.2 Perhitungan Manualisasi

Perhitungan manualisasi memberikan contoh perhitungan metode *improved K-Means* secara berurutan. Perhitungan ini meliputi ekstraksi histogram, inisialisasi *centroid* awal, dan perhitungan *K-Means* sendiri. Data yang digunakan pada perhitungan manualisasi ini merupakan data image multispectral dengan ukuran 8×8 pixel. Data ditunjukkan pada tabel 4.3 untuk BAND 3, tabel 4.4 untuk BAND 4, dan 4.5 untuk BAND 5.

Tabel 4.3 Data citra BAND 3

11001	11206	11067	10915	10833	10677	10732	10488
10953	11136	11212	10960	10923	10791	10709	10511
10795	11036	10723	10166	10240	9951	10033	10581
10436	10142	10213	10328	10269	10466	10765	10894
10195	10155	10601	10926	10952	10865	10856	10978
9678	10520	10953	11015	10841	10690	10739	10852
10322	11012	11056	11056	11127	10933	10731	10881
11008	11291	11175	11170	11221	11138	11138	10748

Tabel 4.4 Data citra BAND 4

11824	12078	11903	11696	11567	11292	11378	10679
11725	11960	12119	11781	11749	11482	11269	10703
11406	11735	11254	10150	10174	9740	9818	10824
10721	10013	10195	10433	10296	10732	11230	11471
10148	10083	10875	11585	11648	11597	11436	11653
9076	10788	11703	11829	11460	11120	11162	11408
10196	11658	11917	11929	11970	11532	11211	11429
11617	12174	12099	11986	12000	12036	11816	11145

Tabel 4.5 Data citra BAND 5

17277	17793	18233	17979	17402	16790	16835	17829
17027	17325	18324	18117	17820	17125	17226	17630
17188	17421	18153	17700	17731	17311	17520	17098
16769	17563	18358	17725	17423	17337	16888	16932
17005	17556	17801	17709	17446	16879	16796	17188
17865	17425	17062	17198	16914	16592	16701	16816
18374	17185	17306	17390	17186	16546	16513	16172
16977	17545	17800	17759	17968	17521	17286	16864

Sistem melakukan proses *pre-processing* citra menggunakan metode *histogram equalization* dengan formula yang telah dijelaskan pada bab

sebelumnya. Hasil perhitungan merupakan *gray level* baru untuk setiap BAND, dapat dilihat pada tabel 4.6 untuk BAND 3, tabel 4.7 untuk BAND 4, dan 4.8 untuk BAND 5.

Tabel 4.6 Gray level baru BAND 3

Level	PMF	CDF	Gray Level Baru
9678	0,015625	0,015625	512
9951	0,015625	0,03125	1024
10033	0,015625	0,046875	1536
10142	0,015625	0,0625	2048
10155	0,015625	0,078125	2560
10166	0,015625	0,09375	3072
10195	0,015625	0,109375	3584
10213	0,015625	0,125	4096
10240	0,015625	0,140625	4608
10269	0,015625	0,15625	5120
10322	0,015625	0,171875	5632
10328	0,015625	0,1875	6144
10436	0,015625	0,203125	6656
10466	0,015625	0,21875	7168
10488	0,015625	0,234375	7680
10511	0,015625	0,25	8192
10520	0,015625	0,265625	8703
10581	0,015625	0,28125	9215
10601	0,015625	0,296875	9727
10677	0,015625	0,3125	10239
10690	0,015625	0,328125	10751
10709	0,015625	0,34375	11263
10723	0,015625	0,359375	11775
10731	0,015625	0,375	12287
10732	0,015625	0,390625	12799
10739	0,015625	0,40625	13311
10748	0,015625	0,421875	13823
10765	0,015625	0,4375	14335
10791	0,015625	0,453125	14847
10795	0,015625	0,46875	15359

Level	PMF	CDF	Gray Level Baru
10833	0,015625	0,484375	15871
10841	0,015625	0,5	16383
10852	0,015625	0,515625	16895
10856	0,015625	0,53125	17407
10865	0,015625	0,546875	17919
10881	0,015625	0,5625	18431
10894	0,015625	0,578125	18943
10915	0,015625	0,59375	19455
10923	0,015625	0,609375	19967
10926	0,015625	0,625	20479
10933	0,015625	0,640625	20991
10952	0,015625	0,65625	21503
10953	0,03125	0,6875	22527
10960	0,015625	0,703125	23039
10978	0,015625	0,71875	23551
11001	0,015625	0,734375	24063
11008	0,015625	0,75	24575
11012	0,015625	0,765625	25086
11015	0,015625	0,78125	25598
11036	0,015625	0,796875	26110
11056	0,03125	0,828125	27134
11067	0,015625	0,84375	27646
11127	0,015625	0,859375	28158
11136	0,015625	0,875	28670
11138	0,03125	0,90625	29694
11170	0,015625	0,921875	30206
11175	0,015625	0,9375	30718
11206	0,015625	0,953125	31230
11212	0,015625	0,96875	31742
11221	0,015625	0,984375	32254
11291	0,015625	1	32766

Tabel 4.7 Gray level baru BAND 4

Level	PMF	CDF	Gray Level Baru
9076	0,015625	0,015625	512
9740	0,015625	0,03125	1024
9818	0,015625	0,046875	1536
10013	0,015625	0,0625	2048
10083	0,015625	0,078125	2560
10148	0,015625	0,09375	3072
10150	0,015625	0,109375	3584
10174	0,015625	0,125	4096
10195	0,015625	0,140625	4608
10196	0,015625	0,15625	5120
10296	0,015625	0,171875	5632
10433	0,015625	0,1875	6144
10679	0,015625	0,203125	6656
10703	0,015625	0,21875	7168
10721	0,015625	0,234375	7680
10732	0,015625	0,25	8192
10788	0,015625	0,265625	8703
10824	0,015625	0,28125	9215
10875	0,015625	0,296875	9727
11120	0,015625	0,3125	10239
11145	0,015625	0,328125	10751
11162	0,015625	0,34375	11263
11211	0,015625	0,359375	11775
11230	0,015625	0,375	12287
11254	0,015625	0,390625	12799
11269	0,015625	0,40625	13311
11292	0,015625	0,421875	13823
11378	0,015625	0,4375	14335
11406	0,015625	0,453125	14847
11408	0,015625	0,46875	15359
11429	0,015625	0,484375	15871
11436	0,015625	0,5	16383
11460	0,015625	0,515625	16895

Level	PMF	CDF	Gray Level Baru
11471	0,015625	0,53125	17407
11482	0,015625	0,546875	17919
11532	0,015625	0,5625	18431
11567	0,015625	0,578125	18943
11585	0,015625	0,59375	19455
11597	0,015625	0,609375	19967
11617	0,015625	0,625	20479
11648	0,015625	0,640625	20991
11653	0,015625	0,65625	21503
11658	0,015625	0,671875	22015
11696	0,015625	0,6875	22527
11703	0,015625	0,703125	23039
11725	0,015625	0,71875	23551
11735	0,015625	0,734375	24063
11749	0,015625	0,75	24575
11781	0,015625	0,765625	25086
11816	0,015625	0,78125	25598
11824	0,015625	0,796875	26110
11829	0,015625	0,8125	26622
11903	0,015625	0,828125	27134
11917	0,015625	0,84375	27646
11929	0,015625	0,859375	28158
11960	0,015625	0,875	28670
11970	0,015625	0,890625	29182
11986	0,015625	0,90625	29694
12000	0,015625	0,921875	30206
12036	0,015625	0,9375	30718
12078	0,015625	0,953125	31230
12099	0,015625	0,96875	31742
12119	0,015625	0,984375	32254
12174	0,015625	1	32766

Tabel 4.8 Gray level baru BAND 5

Level	PMF	CDF	Gray Level Baru
16172	0,015625	0,015625	512
16513	0,015625	0,03125	1024
16546	0,015625	0,046875	1536
16592	0,015625	0,0625	2048
16701	0,015625	0,078125	2560
16769	0,015625	0,09375	3072
16790	0,015625	0,109375	3584
16796	0,015625	0,125	4096
16816	0,015625	0,140625	4608
16835	0,015625	0,15625	5120
16864	0,015625	0,171875	5632
16879	0,015625	0,1875	6144
16888	0,015625	0,203125	6656
16914	0,015625	0,21875	7168
16932	0,015625	0,234375	7680
16977	0,015625	0,25	8192
17005	0,015625	0,265625	8703
17027	0,015625	0,28125	9215
17062	0,015625	0,296875	9727
17098	0,015625	0,3125	10239
17125	0,015625	0,328125	10751
17185	0,015625	0,34375	11263
17186	0,015625	0,359375	11775
17188	0,03125	0,390625	12799
17198	0,015625	0,40625	13311
17226	0,015625	0,421875	13823
17277	0,015625	0,4375	14335
17286	0,015625	0,453125	14847
17306	0,015625	0,46875	15359
17311	0,015625	0,484375	15871
17325	0,015625	0,5	16383
17337	0,015625	0,515625	16895
17390	0,015625	0,53125	17407

Level	PMF	CDF	Gray Level Baru
17402	0,015625	0,546875	17919
17421	0,015625	0,5625	18431
17423	0,015625	0,578125	18943
17425	0,015625	0,59375	19455
17446	0,015625	0,609375	19967
17520	0,015625	0,625	20479
17521	0,015625	0,640625	20991
17545	0,015625	0,65625	21503
17556	0,015625	0,671875	22015
17563	0,015625	0,6875	22527
17630	0,015625	0,703125	23039
17700	0,015625	0,71875	23551
17709	0,015625	0,734375	24063
17725	0,015625	0,75	24575
17731	0,015625	0,765625	25086
17759	0,015625	0,78125	25598
17793	0,015625	0,796875	26110
17800	0,015625	0,8125	26622
17801	0,015625	0,828125	27134
17820	0,015625	0,84375	27646
17829	0,015625	0,859375	28158
17865	0,015625	0,875	28670
17968	0,015625	0,890625	29182
17979	0,015625	0,90625	29694
18117	0,015625	0,921875	30206
18153	0,015625	0,9375	30718
18233	0,015625	0,953125	31230
18324	0,015625	0,96875	31742
18358	0,015625	0,984375	32254
18374	0,015625	1	32766

Berdasarkan *gray level* baru yang dihasilkan, maka nilai *pixel* citra yang baru dapat dilihat pada tabel 4.9.

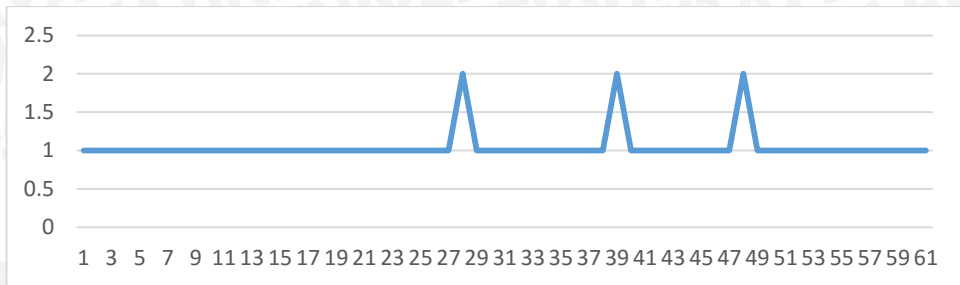
Tabel 4.9 Nilai pixel baru setelah *histogram equalization*

Pixel ke-	BAND3	BAND4	BAND5
1	11001	11824	17277
2	10953	11725	17027
3	10795	11406	17188
4	10436	10721	16769
5	10195	10148	17005
6	9678	9076	17865
7	10322	10196	18374
8	11008	11617	16977
9	11206	12078	17793
10	11136	11960	17325
11	11036	11735	17421
12	10142	10013	17563
13	10155	10083	17556
14	10520	10788	17425
15	11012	11658	17185
16	11291	12174	17545
17	11067	11903	18233
18	11212	12119	18324
19	10723	11254	18153
20	10213	10195	18358
21	10601	10875	17801
22	10953	11703	17062
23	11056	11917	17306
24	11175	12099	17800
25	10915	11696	17979
26	10960	11781	18117
27	10166	10150	17700
28	10328	10433	17725
29	10926	11585	17709
30	11015	11829	17198
31	11056	11929	17390
32	11170	11986	17759
33	10833	11567	17402

<i>Pixel ke-</i>	BAND3	BAND4	BAND5
34	10923	11749	17820
35	10240	10174	17731
36	10269	10296	17423
37	10952	11648	17446
38	10841	11460	16914
39	11127	11970	17186
40	11221	12000	17968
41	10677	11292	16790
42	10791	11482	17125
43	9951	9740	17311
44	10466	10732	17337
45	10865	11597	16879
46	10690	11120	16592
47	10933	11532	16546
48	11138	12036	17521
49	10732	11378	16835
50	10709	11269	17226
51	10033	9818	17520
52	10765	11230	16888
53	10856	11436	16796
54	10739	11162	16701
55	10731	11211	16513
56	11138	11816	17286
57	10488	10679	17829
58	10511	10703	17630
59	10581	10824	17098
60	10894	11471	16932
61	10978	11653	17188
62	10852	11408	16816
63	10881	11429	16172
64	10748	11145	16864

Proses inisialisasi *K-Means* dimulai dengan menghitung puncak histogram dari nilai *pixel* rata-rata BAND3, BAND 4, dan BAND 5. Jumlah puncak histogram ini selanjutnya digunakan sebagai jumlah *cluster* pada perhitungan *K-Means*.

clustering. Berikut histogram dari nilai *pixel rata-rata* digambarkan dalam bentuk grafik pada gambar 4.13, dari grafik histogram rata-rata diketahui terdapat 3 puncak histogram sehingga pada *K-Means clustering* nanti digunakan 3 cluster.



Gambar 4.14 Histogram nilai *pixel rata-rata*

Langkah selanjutnya yaitu menghitung *Euclidean Distance* setiap *pixel* terhadap *pixel* lain. Berikut contoh hasil perhitungan pada *pixel* ke-1 dapat dilihat pada tabel 4.10.

Tabel 4.10 Hasil perhitungan *Euclidean distance* untuk *pixel* ke-1

	1	2	3	4	5	6	7	64
1	0	273	474	1339	1880	3106	2077	834

Langkah selanjutnya menghitung jumlah *Euclidean distance* yang telah dihitung sebelumnya untuk setiap *pixel*. Berikut tabel 4.11 contoh hasil jumlah *Euclidean distance* pada *pixel* ke-1 sampai 5 dan untuk hasil selengkapnya terlampir.

Tabel 4.11 Hasil perhitungan jumlah *Euclidean distance* *pixel* ke-1 sampai 5

<i>Pixel</i> ke-	Total jarak
1	57832
2	57789
3	52015
4	75002
5	94465

Langkah selanjutnya yaitu menghitung nilai *v* untuk setiap *pixel* terhadap setiap *pixel* yang lain. Perhitungan ini menggunakan formula yang telah dijelaskan pada bab sebelumnya. Hasil perhitungan untuk *pixel* ke-1 dijelaskan pada tabel 4.12.

Tabel 4.12 Hasil perhitungan nilai v pada pixel ke-1

	1	2	3	4	5	6	7	64
1	0	0,00473	0,00912	0,01786	0,0199	0,01926	0,01925	0,0141

Langkah selanjutnya menghitung jumlah nilai v setiap *pixel*. Hasil perhitungan untuk *pixel* 1 sampai 5 dapat dilihat pada tabel 4.13 dan untuk hasil selengkapnya terlampir.

Tabel 4.13 Jumlah nilai v untuk *pixel* 1 sampai 5

<i>Pixel</i> ke	1	2	3	4	5
Total v	0,73675	0,73099	0,66594	1,06673	1,41343

Langkah selanjutnya yaitu melakukan *sorting* terhadap jumlah nilai v secara *ascending*. Kemudian diambil 3 *pixel* teratas untuk kemudian dijadikan sebagai *centroid* awal. 3 *pixel* diambil karena *cluster* yang digunakan yaitu 3. Hasil *sorting ascending* jumlah nilai v untuk urutan 3 teratas ditampilkan pada tabel 4.14 dan untuk hasil selengkapnya terlampir.

Tabel 4.14 Hasil *sorting ascending* terhadap jumlah nilai v

<i>Pixel</i> ke	3	42	61
Total v	0,73675	0,73099	0,66594

Hasil *sorting* menunjukkan bahwa *pixel* ke-3, 42, dan 61 sebagai 3 *cluster* teratas. Sehingga *centroid* awal yang digunakan yaitu nilai *pixel* dari 3 *pixel* tersebut. *Centroid* awal yang dihasilkan ditampilkan pada tabel 4.15.

Tabel 4.15 *Centroid* awal

<i>Pixel</i> ke	3	42	61
BAND3	10795	10791	10978
BAND4	11406	11482	11653
BAND5	17188	17125	17188

Langkah selanjutnya merupakan inisialisasi *cluster* pada dataset. Inisialisasi *cluster* ini dihitung menggunakan jarak *Euclidean distance* yang telah dijelaskan pada bab sebelumnya. Berikut hasil perhitungan inisialisasi *cluster* pada *pixel* ke 1



sampai 5 terhadap *centroid* awal pada tabel 4.16 dan untuk hasil selengkapnya terlampir.

Tabel 4.16 Inisialisasi cluster awal

<i>Pixel</i> ke-	BAND3	BAND4	BAND5	Jarak C1	Jarak C2	Jarak C3	Cluster
1	11001	11824	17277	474,427	429,148	194,142	3
2	10953	11725	17027	390,699	308,054	178,129	3
3	10795	11406	17188	0	98,7978	307,405	1
4	10436	10721	16769	879,583	912,076	1156,7	1
5	10195	10148	17005	1405,72	1466,01	1706,34	1

Pada tahap *K-Means clustering*, langkah yang pertama dilakukan yaitu menghitung jumlah anggota serta jumlah nilai *pixel* dari setiap *cluster* yang dibentuk pada dataset. Berikut hasil perhitungan dapat dilihat pada tabel 4.17

Tabel 4.17 Jumlah anggota dan jumlah nilai *pixel* anggota setiap *cluster*

Cluster	1	2	3
Jumlah anggota	24	14	26
Jumlah BAND 3	249103	151247	287625
Jumlah BAND 4	252285	159208	308190
Jumlah BAND 5	420853	234499	455842

Langkah selanjutnya yaitu menghitung rata-rata dari nilai *pixel* anggota setiap *cluster*. Hasil perhitungan ini yang kemudian digunakan sebagai *cluster* baru. Berikut *cluster* baru yang dihasilkan pada iterasi pertama ditampilkan pada tabel 4.18.

Tabel 4.18 *Centroid* baru yang dihasilkan

Cluster	1	2	3
BAND3	10379,29	10803,36	11062,5
BAND4	10511,88	11372	11853,46
BAND5	17535,54	16749,93	17532,38

Langkah selanjutnya menghitung jarak *Euclidean distance* setiap *pixel* dengan *centroid* baru. Perhitungan ini menghasilkan perubahan keanggotaan *cluster*. Hasil perhitungan ini pada *pixel* 1 sampai 5 ditampilkan pada tabel 4.19 dan hasil selengkapnya terlampir.



Tabel 4.19 Cluster baru

<i>Pixel ke-</i>	BAND3	BAND4	BAND5	Jarak C1	Jarak C2	Jarak C3	Cluster
1	11001	11824	17277	1475	722	264	3
2	10953	11725	17027	1435	473	533	2
3	10795	11406	17188	1045	439	625	2
4	10436	10721	16769	797	748	1503	2
5	10195	10148	17005	669	1390	1985	1

Langkah *K-Means* mulai dari perhitungan jumlah anggota hingga memperoleh keanggotaan *cluster* baru merupakan satu iterasi. Iterasi dilanjutkan hingga memperoleh *centroid* yang tidak berubah lagi nilainya. Pada perhitungan manualisasi ini didapatkan *centroid* tidak berubah nilainya pada iterasi ke-5 sehingga iterasi berhenti pada iterasi ke-4. Nilai keanggotaan *cluster* yang digunakan merupakan nilai yang dihasilkan pada iterasi ke-4. Hasil *K-Means clustering* pada *pixel* ke-1 sampai 5 ditampilkan pada tabel 4.20 dan untuk hasil selengkapnya terlampir.

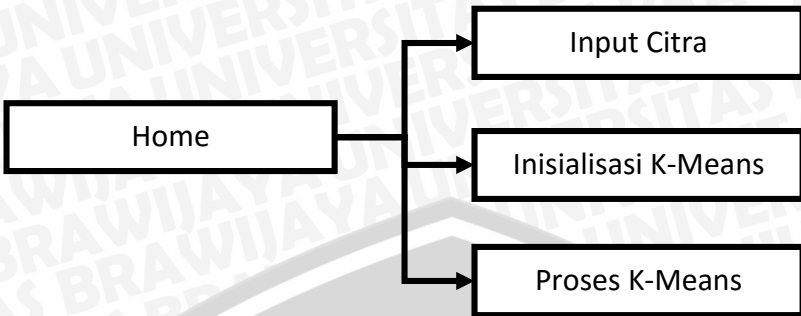
Tabel 4.20 Hasil *K-Means clustering* untuk *pixel* 1 sampai 5

<i>Pixel ke-</i>	BAND3	BAND4	BAND5	Jarak C1	Jarak C2	Jarak C3	Cluster
1	11001	11824	17277	1791,852	673,5959	340,2055	3
2	10953	11725	17027	1757,702	447,7007	605,0891	2
3	10795	11406	17188	1367,941	342,7998	658,315	2
4	10436	10721	16769	1025,254	724,2452	1529,605	2
5	10195	10148	17005	660,1192	1347,767	1990,077	1

4.3.3 Antarmuka

Perancangan antarmuka pada sistem identifikasi tanaman atsiri menggunakan metode *Improved K-Means* berdasarkan citra satelit pada penelitian ini terdiri dari tampilan home, form input data, tampilan proses inisialisasi K-Means, dan tampilan proses K-Means. Hubungan antar tampilan dijelaskan pada *sitemap* antarmuka pada gambar 4.14.

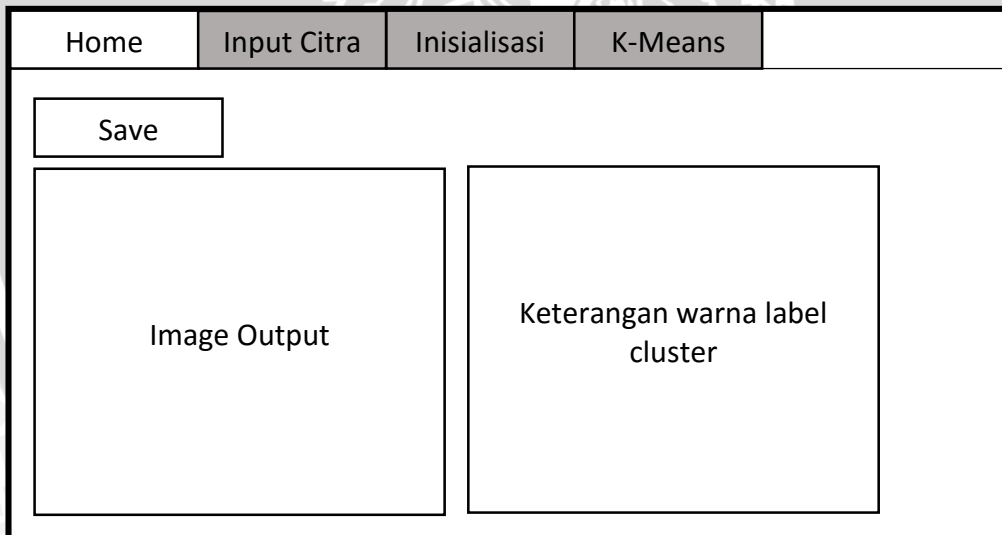




Gambar 4.15 Sitemap antarmuka sistem

1. Tampilan *home*

Gambar 4.15 merupakan tampilan antarmuka *home* dari sistem yang akan dibuat. *Home* merupakan tampilan awal sistem ketika dijalankan. Pada tampilan ini terdapat tombol yang digunakan untuk menuju ke antarmuka input citra, inisialisasi, *K-Means*, dan tombol untuk menyimpan citra hasil identifikasi. Pada antarmuka ini ditampilkan citra hasil identifikasi serta keterangan dari label *cluster*.

Gambar 4.16 Antarmuka *Home*2. Antarmuka *Form Input Citra*

Antarmuka ini digunakan untuk memasukkan data citra satelit ke dalam sistem. Terdapat tombol *open* yang membuka *file dialog box* untuk memilih citra yang dimasukkan sesuai dengan BAND. Pada sebelah kanan antarmuka ditampilkan citra yang dimasukkan dalam bentuk citra komposit dari citra *multispectral*. Di bawah tombol *open* terdapat tombol *histogram equalization*

yang digunakan untuk melakukan *pre-processing* citra menggunakan metode *histogram equalization*. Berikut adalah gambar 4.16 antarmuka form *input* citra.

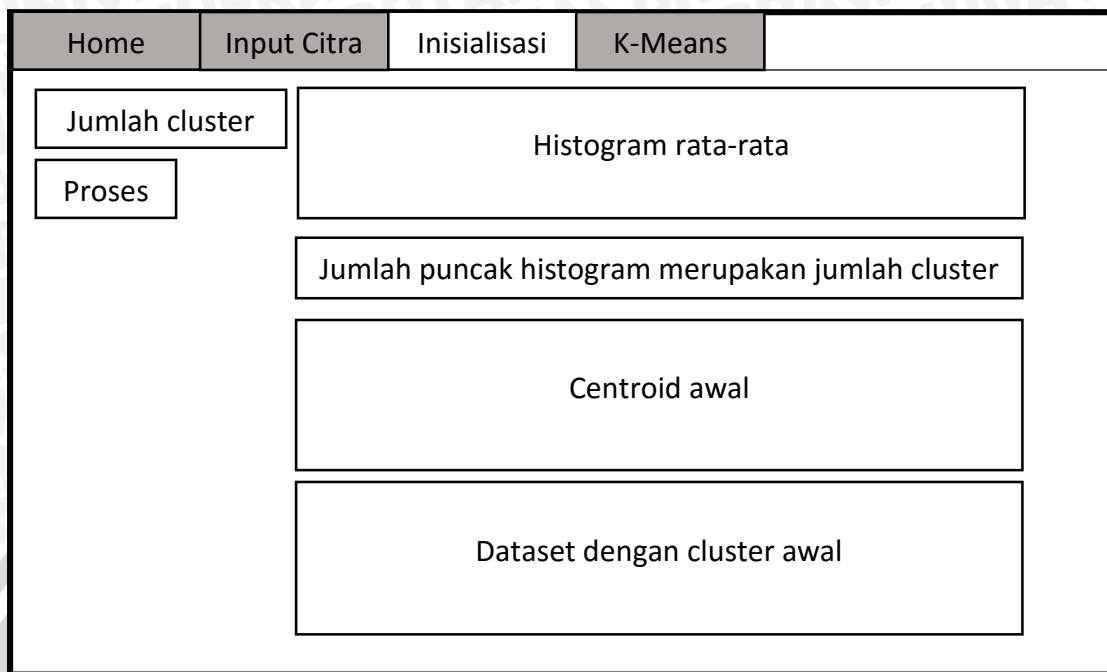
Home	Input Citra	Inisialisasi	K-Means	
Input citra satelit sesuai BAND				Tampilan Komposit
Band 3	Band 4	Band 5		
<input type="button" value="Open"/>	<input type="button" value="Open"/>	<input type="button" value="Open"/>		
<input type="button" value="Histogram equalization"/>				1

Gambar 4.17 Antarmuka Form Input Citra

3. Antarmuka proses inisialisasi *K-Means*

Antarmuka ini digunakan untuk melakukan proses dan melihat hasil inisialisasi *cluster* awal *K-Means*. Hasil dari proses perhitungan puncak histogram, penentuan *centroid* awal, dan penentuan *cluster* awal ditampilkan pada antarmuka ini. Berikut gambar 4.17 yang merupakan tampilan antarmuka proses inisialisasi *K-Means*. Terdapat tombol proses dan *form* jumlah *cluster*, tombol proses digunakan untuk melakukan proses inisialisasi sesuai dengan jumlah *cluster* yang ditentukan. *Form* jumlah *cluster* dapat tidak diisi jika ingin menggunakan inisialisasi berdasarkan jumlah puncak histogram citra.

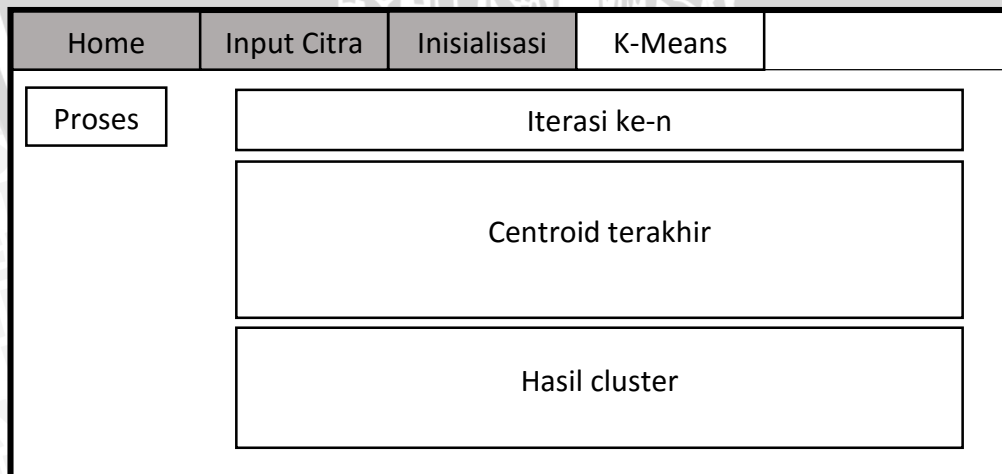




Gambar 4.18 Antarmuka Inisialisasi *K-Means*

4. Tampilan proses *K-Means*

Antarmuka ini digunakan untuk melakukan proses dan melihat hasil *clustering* *K-Means*. Hasil dari proses perhitungan *centroid*, dan penentuan *cluster* pada setiap iterasi ditampilkan pada antarmuka ini. Berikut gambar 4.18 yang merupakan tampilan antarmuka proses *K-Means*.



Gambar 4.19 Antarmuka proses *K-Means*

4.3.4 Perancangan Pengujian dan Analisis

Pengujian dan analisis yang dilakukan pada penelitian ini dimaksudkan untuk memenuhi tujuan penelitian sebagaimana telah dijelaskan pada bab sebelumnya. Pada tahap ini dijelaskan langkah yang dilakukan untuk melakukan pengujian dan analisis terhadap metode *improved K-Means*. Pengujian dilakukan dengan 2 kriteria, yaitu *internal criteria* dan *external criteria* untuk mengetahui kualitas *cluster* yang telah dibentuk.

Pengujian *internal criteria* dimaksudkan untuk mengetahui tingkat kesamaan sifat anggota dalam sebuah *cluster* dan kualitas *clustering* secara keseluruhan. Pengujian *internal criteria* ini menggunakan perhitungan *silhouette coefficient* seperti yang telah dijelaskan pada bab sebelumnya. Analisis yang akan dilakukan yaitu pengujian nilai kualitas *clustering* dengan membandingkan penggunaan jumlah *k cluster* dengan inisialisasi *improved K-Means* dan penggunaan jumlah *k cluster* manual yaitu 2 sampai *k-1*. Pengujian ini dimaksudkan untuk mengetahui apakah *k cluster* dari metode *improved K-Means* merupakan *k cluster* terbaik.

Tahapan pengujian iterasi yang akan dilakukan yaitu :

1. Inisialisasi *K-Means* menggunakan metode *improved K-Means*.
2. Input data citra *multispectral*.
3. Menentukan jumlah cluster untuk pengujian sebagaimana dijelaskan di atas.
4. Analisis hasil *clustering* menggunakan perhitungan *silhouette coefficient*.

Pengujian *external criteria* dimaksudkan untuk mengetahui tingkat akurasi pelabelan *cluster* terhadap *class* yang sebenarnya. Pengujian ini dilakukan dengan perhitungan *purity* sebagaimana telah dijelaskan pada bab sebelumnya. Analisis yang akan dilakukan yaitu dengan memeriksa kesamaan label *cluster pixel* dengan label *class* sebenarnya. Dataset yang digunakan pada pengujian ini yaitu dataset yang memiliki nilai *silhouette coefficient* positif dengan jumlah *cluster* 2-6. Label *class* ini diperoleh dengan melakukan observasi di lapangan yang telah dijelaskan pada sub bab sebelumnya.

Tahapan pengujian *external criteria* yang akan dilakukan :

1. Melakukan *clustering* terhadap dataset yang digunakan.
2. Menentukan label *cluster* dengan menyesuaikan sifat-sifat anggota *cluster* dengan *class* sebenarnya.
3. Pengujian *cluster* setiap *pixel* dengan *class* sebenarnya menggunakan perhitungan *purity*.



BAB 5

IMPLEMENTASI

Bab ini membahas implementasi metode *improved K-Means* dalam identifikasi tanaman atsiri berbasis citra satelit. Implementasi metode ke dalam sistem disesuaikan dengan perancangan yang telah dijelaskan pada bab sebelumnya. Pembahasan pada bab ini meliputi spesifikasi, algoritma, dan *interface*.

5.1 Spesifikasi Lingkungan Pengembangan

5.1.1 Spesifikasi Sistem

Implementasi perangkat lunak yang dikembangkan mengacu pada analisis kebutuhan dan perancangan yang telah dijelaskan pada Bab 4. Implementasi dari spesifikasi dijelaskan pada bagian spesifikasi perangkat keras dan spesifikasi perangkat lunak. Spesifikasi yang dijelaskan merupakan spesifikasi yang digunakan pada pengembangan perangkat lunak.

5.1.2 Spesifikasi Perangkat Keras

Perangkat keras yang digunakan untuk pengembangan perangkat lunak ini menggunakan spesifikasi yang dijelaskan pada tabel 5.1. Spesifikasi perangkat keras ini digunakan untuk mendukung performa perangkat lunak yang digunakan dalam pengembangan.

Tabel 5.1 Spesifikasi perangkat keras

Jenis Perangkat Keras	Spesifikasi
Prosesor	Intel Core i5 3210M
Memori (RAM)	8 GB
Harddisk	500GB
Monitor	14"

5.1.3 Spesifikasi Perangkat Lunak

Perangkat lunak yang digunakan untuk implementasi metode *improved K-Means* pada identifikasi tanaman atsiri berdasar citra satelit dijelaskan pada tabel 5.2.

Tabel 5.2 Spesifikasi perangkat lunak

Jenis Perangkat Lunak	Spesifikasi
Sistem Operasi	Windows 10 Pro x64
Tools Pemrograman	Visual Studio 2013
Bahasa Pemrograman	C#
Library	GDAL
Tools Dokumentasi	Microsoft Word 2013
Tools Pengujian	Microsoft Excel 2013

5.2 Batasan Implementasi

Batasan implementasi pada identifikasi tanaman atsiri menggunakan metode *improved K-Means* berbasis citra satelit yaitu :

1. Identifikasi tanaman atsiri menggunakan metode *improved K-Means* berbasis citra satelit dibangun dalam ruang lingkup berbasis aplikasi desktop menggunakan bahasa pemrograman C# dengan framework GDAL C#.
2. Metode yang digunakan yaitu metode *improved K-Means* dengan improvisasi inisialisasi *centroid* awal berdasarkan *Euclidean distance* antar *pixel* dan nilai *v*.
3. Data yang digunakan adalah citra satelit Landsat 8 OLI yang diperoleh dari <http://earthexplorer.usgs.gov>. Citra tersebut melalui *pre-processing* citra yaitu *cropping* pada daerah Kecamatan Kesamben, Kabupaten Blitar. Citra memiliki ukuran 41x42 *pixel*.
4. Citra yang digunakan yaitu citra yang direkam oleh satelit pada bulan Februari sampai Juli 2015, karena penanaman tanaman atsiri di kebun kesamben pada bulan Januari 2015.
5. Keluaran dari sistem ini berupa label *cluster* untuk setiap *pixel* dalam bentuk tabel data dan visualisasi.

5.3 Implementasi Algoritma

Implementasi yang dibahas merupakan implementasi algoritma menggunakan bahasa pemrograman C#. Bahasa pemrograman ini digunakan untuk memproses perhitungan dan antarmuka perangkat lunak yang dikembangkan berdasarkan perancangan yang telah dijelaskan pada bab sebelumnya.

5.3.1 Pre-Processing Citra

Tahapan pertama yang dilakukan oleh sistem yaitu melakukan *pre-processing* citra. Tahapan ini dilakukan menggunakan metode *histogram*



equalization yang telah dijelaskan pada bab sebelumnya. Implementasi langkah ini dimasukkan ke dalam sebuah fungsi untuk menghasilkan histogram baru yang disimpan pada sebuah *array*. Berikut *source code* untuk menghasilkan histogram baru pada *source code* 5.1.

```

1 public int[] newHisto(double[] buatcdf, int[] histogram)
2 {
3     int[] newHistogram = new int[histogram.Length];
4     int max = histogram.Length;
5     double temp;
6
7     for (int i = 0; i < histogram.Length; i++)
8     {
9         temp = buatcdf[i] * ((double)max - 1);
10        newHistogram[i] = Convert.ToInt16(temp);
11    }
12    return newHistogram;
13 }
```

Source code 5.1 Menghasilkan histogram baru

Penjelasan *source code*:

- Baris 1 menerima input berupa nilai CDF yang telah dihitung sebelumnya dan histogram citra.
- Baris 3-5 melakukan inisialisasi variabel yang digunakan dalam perhitungan.
- Baris 7-11 melakukan perulangan untuk menghitung nilai level histogram baru pada setiap level histogram yang lama.

5.3.2 Inisialisasi *Improved K-Means*

Pada tahap inisialisasi *improved K-Means*, langkah yang dilakukan yaitu ekstraksi histogram rata-rata citra. Langkah ini digunakan untuk menghitung jumlah puncak histogram rata-rata citra untuk menentukan jumlah cluster. Berikut *source code* langkah ini pada *source code* 5.2.

```

1 public int[] histogramAveGenerate(List<Datapixel> axl)
2 {
3
4     int[] histo = new int[axl.Count];
5     for (int i = 0; i < axl.Count; i++)
6     {
7         histo[i] = (axl[i].getBand3() + axl[i].getBand4() + axl[i].getBand5()) / 3;
8     }
9     int max = 0;
10    for (int i = 0; i < axl.Count; i++)
11    {
12        if (histo[i] > max)
13            max = histo[i];
14    }
15    for (int i = 0; i < axl.Count; i++)
16    {
17        histo[i] = histo[i] / max;
18    }
19 }
```



```

11    {
12        if (histo[i] > max)
13            max = histo[i];
14    }
15    maxhistogram = 0;
16    max = max + 1;
17    int[] histogram = new int[max];
18    int temp;
19    for (int i = 0; i < max; i++)
20    {
21        histogram[i] = 0;
22    }
23    for (int i = 0; i < axl.Count; i++)
24    {
25        temp = histo[i];
26        histogram[temp] = histogram[temp] + 1;
27        if (maxhistogram < histogram[temp])
28            maxhistogram = histogram[temp];
29    }
30    return histogram;
31 }

```

Source code 5.2 Ekstraksi histogram rata-rata citra

Penjelasan *source code* :

- Baris 1 menerima input berupa *list* dataset.
- Baris 5-8 melakukan perulangan untuk mendapatkan nilai *pixel* rata-rata citra.
- Baris 10-15 melakukan perulangan untuk mendapatkan nilai *pixel* terbesar.
- Baris 23-29 melakukan perulangan untuk membuat histogram dari nilai *pixel* rata-rata citra.

Langkah selanjutnya yaitu menghitung *Euclidean distance* antar *pixel* dan jumlah *Euclidean distance* pada setiap *pixel*. *Source code 5.3* menampilkan *source code* untuk menghitung *Euclidean distance* antar *pixel* dan *source code 5.4* menampilkan *source code* untuk menghitung jumlah nilai *Euclidean distance* setiap *pixel*.

```

1 public double[,] pixel/dist(List<Datapixel> p xl)
2 {
3     double band3;
4     double band4;
5     double band5;
6     double[,] _pixel/dist = new double[pxl.Count, p xl.Count];
7

```



```
8     for (int i = 0; i < pxl.Count; i++)  
9     {  
10        for (int j = 0; j < pxl.Count; j++)  
11        {  
12            band3 = Math.Pow((pxl[i].getBand3() - pxl[j].getBand3()), 2);  
13            band4 = Math.Pow((pxl[i].getBand4() - pxl[j].getBand4()), 2);  
14            band5 = Math.Pow((pxl[i].getBand5() - pxl[j].getBand5()), 2);  
15            _pixeldist[i, j] = Math.Sqrt(band3 + band4 + band5);  
16        }  
17    }  
18    return _pixeldist;  
19 }
```

Source code 5.3 Menghitung *Euclidean distance* antar pixel

Penjelasan *source code* :

- Baris 1 menerima input berupa list dataset.
- Baris 3-6 melakukan inisialisasi variabel yang dibutuhkan dalam perhitungan.
- Baris 8-17 melakukan perulangan untuk menghitung *Euclidean distance* antar pixel.

```
1 public double[] jumlahDistance(double[,] _pixeldist)  
2 {  
3     double[] _jmldist = new double[_pixeldist.GetLength(0)];  
4     double temp = 0;  
5  
6     for (int i = 0; i < _pixeldist.GetLength(0); i++)  
7     {  
8         for (int j = 0; j < _pixeldist.GetLength(1); j++)  
9         {  
10             temp = temp + _pixeldist[i, j];  
11         }  
12         _jmldist[i] = temp;  
13         temp = 0;  
14     }  
15     return _jmldist;  
16 }
```

Source code 5.4 Menghitung jumlah *Euclidean distance* setiap pixel

Penjelasan *source code* :

- Baris 1 menerima input berupa array *Euclidean distance* antar pixel.
- Baris 3-4 melakukan inisialisasi variabel yang dibutuhkan.

- Baris 6-14 melakukan perulangan untuk menghitung dan memasukkan jumlah *Euclidean distance* pada *pixel* ke-*i* ke dalam array *_jmldist*.

Langkah berikutnya pada tahap inisialisasi yaitu menghitung nilai *v* berdasarkan *Euclidean distance* antar *pixel* dan jumlah *Euclidean distance*. Perhitungan untuk langkah ini telah dijelaskan pada bab sebelumnya. *Source code* pada langkah ini ditampilkan pada *source code* 5.5. Nilai *v* antar *pixel* kemudian dimasukkan ke dalam fungsi yang menghitung jumlah nilai *v* untuk setiap *pixel*. Pada langkah selanjutnya dilakukan *sorting* terhadap jumlah nilai *v*, diambil nilai yang terkecil sebanyak jumlah *cluster*. *Source code* langkah ini ditampilkan pada *source code* 5.6.

```

1 public double[,] pixelv(double[,] _pixeldist, double[] _jmldist)
2 {
3     double[,] _pixlev = new double[_pixeldist.GetLength(0),
4 _pixeldist.GetLength(1)];
5     for (int i = 0; i < _pixeldist.GetLength(0); i++)
6     {
7         for (int j = 0; j < _pixeldist.GetLength(1); j++)
8         {
9             _pixlev[i, j] = _pixeldist[i, j] / _jmldist[i];
10        }
11    }
12 }
```

Source code 5.5 Menghitung nilai v

Penjelasan *source code* :

- Baris 1 menerima input berupa *array Euclidean distance* antar *pixel* dan jumlah *Euclidean distance* setiap *pixel*.
- Baris 4-10 melakukan perulangan untuk menghitung dan memasukkan nilai *v* ke dalam *array*.

```

1 public double[,] jumlahv(double[,] _pixlev)
2 {
3     double[,] _jmlev = new double[2, _pixlev.GetLength(1)];
4     double temp = 0;
5     for (int j = 0; j < _pixlev.GetLength(0); j++)
6     {
7         for (int i = 0; i < _pixlev.GetLength(1); i++)
8         {
9             temp = temp + _pixlev[i, j];
10        }
11    }
12    _jmlev[1, j] = temp;
13    _jmlev[0, j] = j;
```

```

13     temp = 0;
14 }
15 return _jmlv;
16 }
```

Source code 5.6 Menghitung jumlah nilai v setiap pixel**Penjelasan source code :**

- Baris 1 menerima input berupa *array* nilai v.
- Baris 3-4 melakukan inisialisasi variabel yang akan digunakan dalam perhitungan.
- Baris 5-14 melakukan perulangan untuk menghitung dan memasukkan jumlah nilai v ke dalam variabel yang telah dibuat.

5.3.3 K-Means Clustering

Pada tahap *K-Means clustering*, perangkat lunak menghitung nilai *centroid* untuk setiap *cluster*, menghitung *Euclidean distance* antara nilai *pixel* dengan *centroid*, dan menentukan *cluster* berdasarkan *Euclidean distance*. Berikut *source code* untuk memperoleh nilai *centroid* pada *source code* 5.7.

```

1 public double[,] getCentroid(List<Datapixel> pzl, int jmlcluster)
2 {
3     double[] _clustcount = new double[jmlcluster];
4     double[,] centroid = new double[3, jmlcluster];
5     double[,] _jmlband = new double[3, jmlcluster];
6
7     _clustcount = clustcount(pzl, jmlcluster);
8     _jmlband = jmlband(pzl, jmlcluster);
9
10    for (int i = 0; i < jmlcluster; i++)
11    {
12        centroid[0, i] = _jmlband[0, i] / _clustcount[i];
13        centroid[1, i] = _jmlband[1, i] / _clustcount[i];
14        centroid[2, i] = _jmlband[2, i] / _clustcount[i];
15    }
16    return centroid;
17 }
```

Source code 5.7 Menghitung centroid**Penjelasan source code :**

- Baris 1 menerima input berupa list dataset dan jumlah cluster.
- Baris 3-5 melakukan inisialisasi variabel yang akan digunakan dalam perhitungan.



- Baris 7 memanggil fungsi untuk menghitung jumlah data pada setiap *cluster*.
- Baris 8 memanggil fungsi untuk menghitung jumlah nilai *pixel* pada setiap *cluster*.
- Baris 10-15 melakukan perulangan untuk menghitung *centroid* pada setiap *cluster*.

Berikut *source code* 5.8 yang merupakan *source code* menghitung *Euclidean distance*.

```

1 public double[,] euclidean(List<Datapixel> pzl, int jmlcluster, double[,] centroid)
2 {
3     double band3;
4     double band4;
5     double band5;
6     double[] distanceBand = new double[jmlcluster];
7     eucliDist = new double[jmlcluster, pzl.Count];
8     //perulangan menghitung distance
9     for (int i = 0; i < pzl.Count; i++)
10    {
11        for (int j = 0; j < jmlcluster; j++)
12        {
13            band3 = Math.Pow((pzl[i].getBand3() - centroid[0, j]), 2);
14            band4 = Math.Pow((pzl[i].getBand4() - centroid[1, j]), 2);
15            band5 = Math.Pow((pzl[i].getBand5() - centroid[2, j]), 2);
16            eucliDist[j, i] = Math.Sqrt(band3 + band4 + band5);
17        }
18    }
19    return eucliDist;
20 }
```

Source code 5.8 Menghitung Euclidean distance

Penjelasan *source code* :

- Baris 1 menerima input berupa list dataset, jumlah *cluster* dan *centroid*.
- Baris 3-7 melakukan inisialisasi variabel yang akan digunakan dalam perhitungan.
- Baris 9-18 melakukan perulangan untuk menghitung *Euclidean distance* antara nilai *pixel* dengan *centroid* setiap *cluster*.

Langkah selanjutnya yaitu menentukan *cluster* untuk setiap *pixel* berdasarkan *Euclidean distance*. Berikut *source code* langkah ini pada *source code* 5.9.

1	public void compareDistance(double[,] dis, List<Datapixel> pzl)
2	{

```

3     double min = Int16.MaxValue;
4     for (int i = 0; i < dis.GetLength(1); i++)
5     {
6         for (int j = 0; j < dis.GetLength(0); j++)
7         {
8             if (min > dis[j, i])
9             {
10                 min = dis[j, i];
11                 pzl[i].setCluster(j);
12             }
13         }
14     }
15 }
16 }
```

Source code 5.9 Menentukan cluster baru

Penjelasan *source code* :

- Baris 1 menerima input berupa *Euclidean distance* dan list dataset.
- Baris 3 melakukan inisialisasi *variable* berisi nilai maksimum tipe data integer.
- Baris 6-12 melakukan perulangan untuk mencari nilai minimum pada *Euclidean distance* untuk *pixel* ke-*i*, index dari *array* ini yang dijadikan sebagai *cluster*.

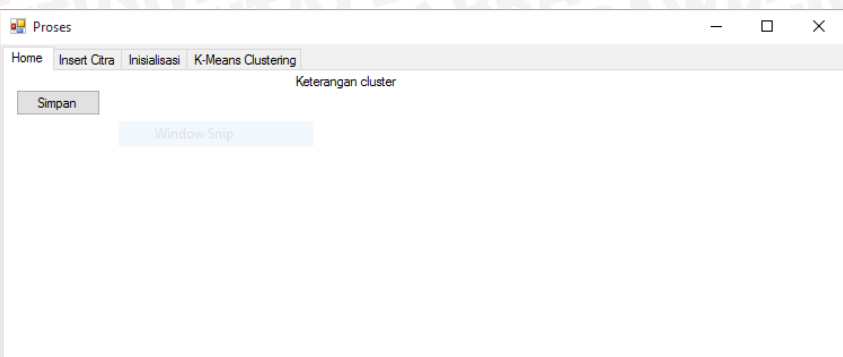
5.4 Implementasi Antarmuka

Implementasi antarmuka mengacu pada perancangan yang telah dijelaskan pada bab sebelumnya. Antarmuka dibangun dalam sebuah *form* sederhana agar mudah dipahami dan digunakan oleh *user*. Kontrol yang dapat dilakukan oleh *user* untuk melakukan proses identifikasi terbagi dalam 4 *tab* antarmuka. Berikut antarmuka sistem pada setiap *tab*.

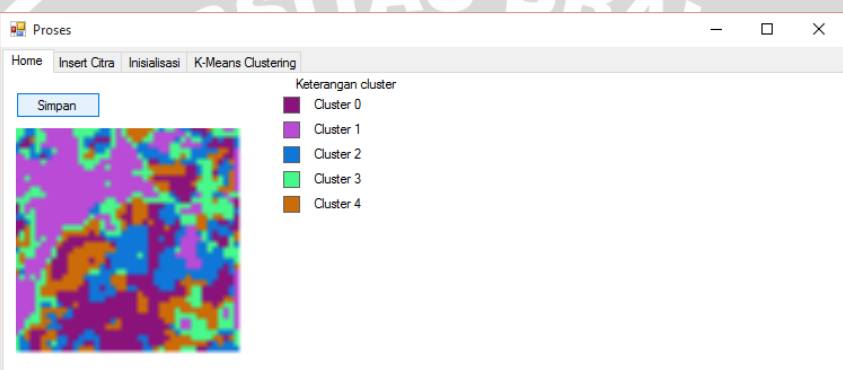
5.4.1 Antarmuka Home

Antarmuka *home* merupakan antarmuka yang muncul pertama ketika perangkat lunak dijalankan. Pada *tab home* secara *default* hanya terdapat tampilan tombol save yang diperlihatkan pada gambar 5.1. Tampilan antarmuka pada *tab home* berubah ketika proses *clustering* telah selesai. Perubahan yang terjadi yaitu ditampilkan visualisasi hasil *clustering* serta label *cluster*. Label *cluster* direpresentasikan dengan warna yang ditampilkan. Keterangan label *cluster* ditampilkan di samping citra hasil *clustering*. Antarmuka ini diperlihatkan pada gambar 5.2.





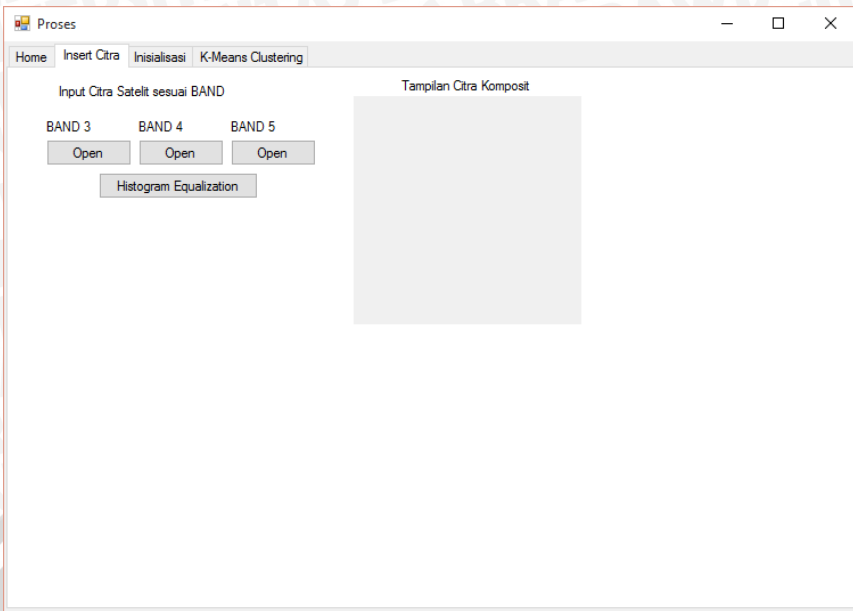
Gambar 5.1 Antarmuka *home (default)*



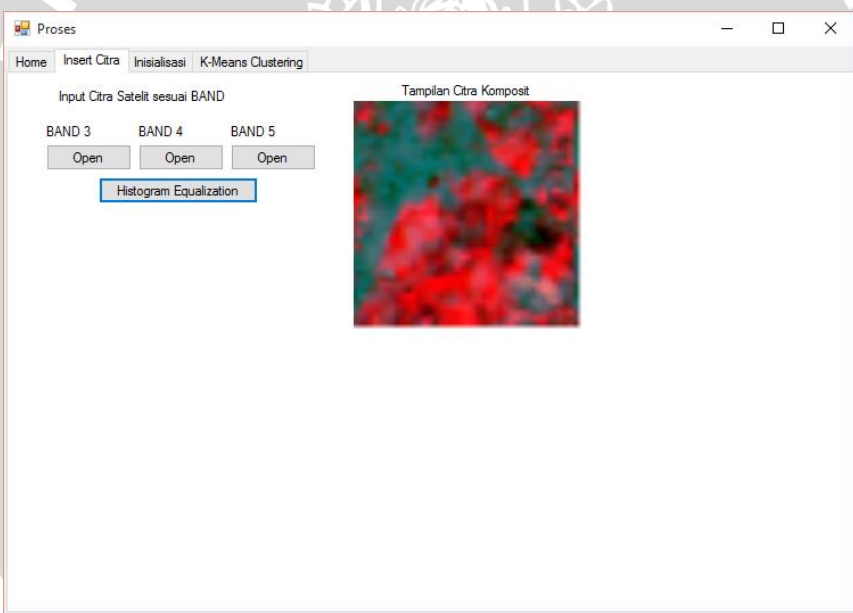
Gambar 5.2 Antarmuka *home* setelah *clustering*

5.4.2 Antarmuka Input Citra

Antarmuka input citra secara *default* menampilkan tombol-tombol untuk mengambil file citra yang akan diproses sesuai dengan BAND yang digunakan, dan tombol untuk proses *histogram equalization*. Antarmuka *default* pada tab input citra ditampilkan pada gambar 5.3. Antarmuka menampilkan citra composit dari citra yang telah dipilih setelah semua BAND citra diinputkan. Tombol untuk membuka file citra BAND berubah menjadi *disabled* setiap user telah melakukan input citra BAND. Antarmuka setelah user melakukan input citra untuk semua BAND ditampilkan pada gambar 5.4.



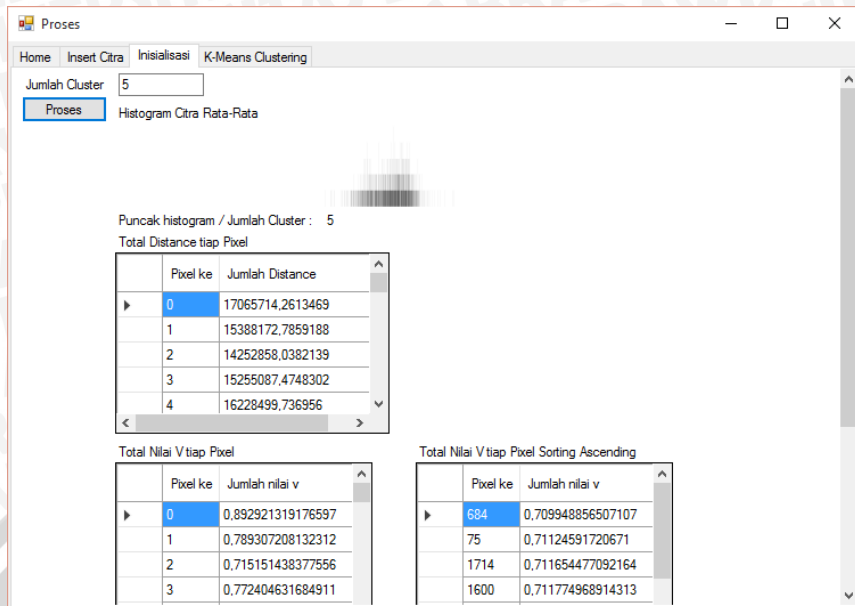
Gambar 5.3 Antarmuka input citra (*default*)



Gambar 5.4 Antarmuka input citra setelah proses input citra dan *histogram equalization*

5.4.3 Antarmuka Inisialisasi

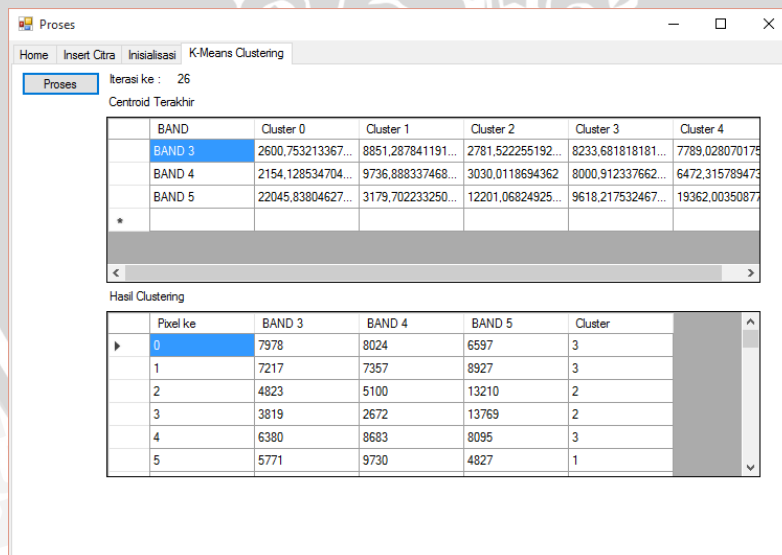
Antarmuka inisialisasi digunakan untuk menampilkan histogram rata-rata citra, hasil perhitungan inisialisasi *improved K-Means*, dan *cluster* awal untuk setiap *pixel*. Pada *tab* inisialisasi terdapat *form* jumlah *cluster* untuk melakukan inisialisasi menggunakan jumlah *cluster* yang ditentukan oleh *user* serta tombol proses untuk melakukan proses inisialisasi. Antarmuka pada *tab* inisialisasi ditampilkan pada gambar 5.5.



Gambar 5.5 Antarmuka inisialisasi

5.4.4 Antarmuka *K-Means Clustering*

Antarmuka *K-Means clustering* menampilkan tombol proses yang digunakan untuk melakukan proses *clustering*. Antarmuka ini menampilkan jumlah iterasi yang telah dilakukan, *centroid* terakhir, dan hasil *clustering* setelah proses *clustering* selesai. Tampilan ketika proses *clustering* selesai ditampilkan pada gambar 5.6.

Gambar 5.6 Antarmuka *K-Means clustering*

BAB 6

PENGUJIAN DAN ANALISIS

Bab ini membahas pengujian terhadap implementasi metode *improved K-Means* pada identifikasi tanaman atsiri berbasis citra satelit. Proses pengujian dilakukan menggunakan 2 skenario seperti yang telah dijelaskan pada perancangan pengujian pada bab sebelumnya. Pengujian dilakukan terhadap 6 dataset citra yang mewakili data setiap bulan selama 6 bulan. Hasil pengujian yang disajikan pada bab ini yaitu hasil pengujian dalam bentuk perhitungan nilai *pixel*, sedangkan hasil dalam bentuk visual terlampir.

6.1 Pengujian *Internal Criteria*

Pengujian *internal criteria* ini dimaksudkan untuk mengetahui jumlah *cluster* terbaik menggunakan *silhouette coefficient*. Jumlah *cluster* yang memiliki nilai *silhouette coefficient* terbesar merupakan jumlah *cluster* yang paling optimal. Nilai *silhouette coefficient* memiliki rentang nilai dari -1 sampai 1 dan dalam persentase memiliki rentang 0 – 100%.

Pengujian jumlah *cluster* menggunakan 6 dataset citra dengan jumlah *cluster* yang ditentukan oleh jumlah histogram citra (*k*) dan jumlah *cluster* yang ditentukan oleh input *user*. Jumlah *cluster* input *user* yang digunakan pada pengujian ini yaitu mulai dari 2 sampai (*k*-1). Hasil pengujian ditunjukkan oleh tabel 6.1 sampai 6.6. Pada tabel di bawah, nilai *silhouette coefficient* yaitu pada kolom dengan label "S" dan nilai dalam persentase pada kolom dengan label "S (%)", sedangkan yang ada pada baris atas dari tabel merupakan hasil dari jumlah *cluster* yang ditentukan oleh jumlah puncak histogram.

Tabel 6.1 Tabel Nilai *Silhouette Coefficient* Dataset Bulan Februari

Bulan	Cluster	Iterasi	S	S (%)
Februari	11	17	0,151487	57,57434
	2	7	0,501783	75,08913
	3	22	0,409176	70,4588
	4	29	0,276072	63,8036
	5	24	0,331857	66,59285
	6	28	0,238806	61,94028
	7	36	0,271834	63,59168
	8	51	0,238811	61,94055
	9	25	0,19031	59,51552
	10	30	0,089815	54,49074



Tabel 6.2 Tabel Nilai *Silhouette Coefficient* Dataset Bulan Maret

Bulan	Cluster	Iterasi	S	S (%)
Maret	9	52	0,304909	65,24547
	2	5	0,490425	74,52125
	3	14	0,435199	71,75995
	4	13	0,225673	61,28364
	5	29	0,23039	61,51949
	6	19	0,27985	63,99252
	7	25	0,279438	63,97191
	8	32	0,276578	63,82888

Tabel 6.3 Tabel Nilai *Silhouette Coefficient* Dataset Bulan April

Bulan	Cluster	Iterasi	S	S (%)
April	18	37	0,247563	62,37815
	2	11	0,454482	72,72412
	3	8	0,294645	64,73225
	4	22	0,311183	65,55915
	5	13	0,359866	67,99331
	6	26	0,354707	67,73537
	7	34	0,217087	60,85434
	8	35	0,308593	65,42963
	9	51	0,277278	63,86388
	10	25	0,3274	66,37002
	11	53	0,335654	66,78269
	12	36	0,310632	65,53158
	13	59	0,339507	66,97536
	14	64	0,330133	66,50667
	15	31	0,285197	64,25984
	16	45	0,285747	64,28737
	17	36	0,269733	63,48663

Tabel 6.4 Tabel Nilai *Silhouette Coefficient* Dataset Bulan Mei

Bulan	Cluster	Iterasi	S	S (%)
Mei	11	29	0,275796	63,78978
	2	17	0,180354	59,01772
	3	12	0,444787	72,23937
	4	23	0,147451	57,37256
	5	56	0,310375	65,51877
	6	20	0,310662	65,5331
	7	20	0,210869	60,54345
	8	22	0,286683	64,33416
	9	36	0,274681	63,73407
	10	22	0,297544	64,87719

Tabel 6.5 Tabel Nilai *Silhouette Coefficient* Dataset Bulan Juni

Bulan	Cluster	Iterasi	S	S (%)
Juni	30	37	-0,1662	41,69012
	2	6	0,430012	71,50058
	3	14	0,356946	67,84729
	4	20	0,342249	67,11243
	5	34	0,383888	69,19441
	6	22	0,249778	62,48888
	7	29	0,32482	66,24098
	8	7	0,294928	64,74638
	9	36	0,284115	64,20574
	10	49	0,249691	62,48455
	11	31	0,263357	63,16787
	12	46	0,26297	63,1485
	13	30	0,260568	63,02841

Tabel 6.6 Tabel Nilai *Silhouette Coefficient* Dataset Bulan Juli

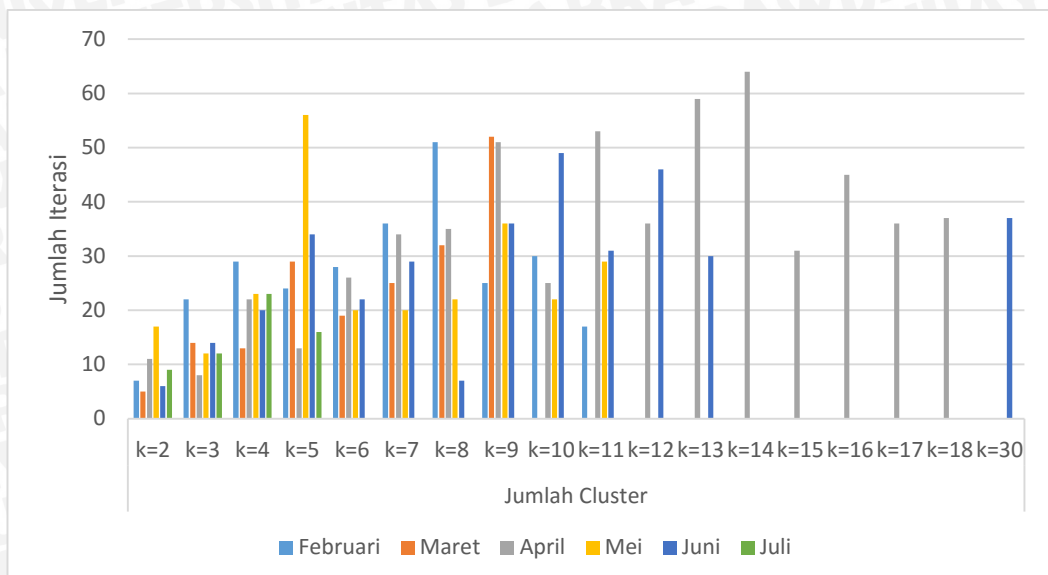
Bulan	Cluster	Iterasi	S	S (%)
Juli	5	16	-0,60609	19,6955
	2	9	0,073238	53,66189

Bulan	Cluster	Iterasi	S	S (%)
Juli	3	12	0,05185	52,59248
	4	23	-0,66492	16,75379

Dari tabel 6.1 sampai 6.6 diketahui bahwa hasil nilai *silhouette coefficient* pada setiap dataset bervariasi meskipun pada jumlah *cluster* yang sama. Pada dataset bulan Juli diketahui nilai *silhouette coefficient* sangat jauh di bawah dataset yang lain, bahkan saat menggunakan inisialisasi jumlah histogram hanya menghasilkan 19,6955%. Nilai *silhouette coefficient* tertinggi diperoleh saat pengujian dataset bulan Februari dengan jumlah *cluster* = 2 yaitu 75,08913%. Pada pengujian inisialisasi jumlah *cluster* menggunakan jumlah puncak histogram citra, nilai *silhouette coefficient* terbaik hanya mencapai 65,24547% pada dataset Bulan Maret dengan jumlah *cluster* yaitu 9. Pengujian pada dataset lain menghasilkan nilai yang lebih rendah dengan jumlah *cluster* lebih banyak. Kondisi ini disebabkan oleh jumlah *cluster* yang dihasilkan dari inisialisasi berdasarkan jumlah puncak histogram terlalu banyak. Jumlah *cluster* yang terlalu banyak mengakibatkan pengelompokan menjadi semakin sulit karena sifat setiap *cluster* hampir sama.

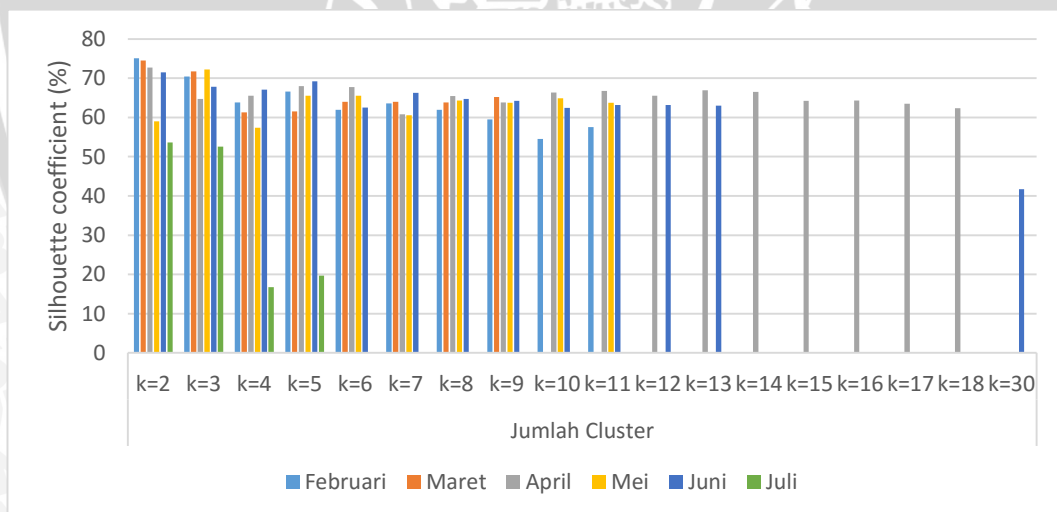
6.2 Analisis Pengujian *Internal Criteria*

Analisis pengujian ini dimaksudkan untuk mengetahui penyebab dari nilai *silhouette coefficient* yang dihasilkan. Pada pengujian *internal criteria* ini terdapat 2 nilai yang berubah bergantung pada dataset dan jumlah *cluster* yang diuji. Kedua nilai tersebut adalah banyaknya iterasi dan nilai *silhouette coefficient*. Perubahan iterasi diakibatkan dari perbedaan *centroid* awal dan perubahan nilai *centroid* yang terjadi pada proses *K-Means clustering*. Setiap dataset memiliki nilai *pixel* yang berbeda sehingga pada inisialisasi *centroid* awal memiliki nilai yang berbeda. Perbedaan nilai ini menyebabkan perbedaan iterasi yang dibutuhkan untuk mencapai *centroid* yang konvergen. *Centroid* yang konvergen pada penelitian ini yaitu *centroid* yang nilainya sudah tidak berubah lagi. Pada pengujian ini diketahui bahwa tidak ditemui hasil *centroid* yang tidak bisa konvergen melebihi 64 iterasi. Perubahan banyak iterasi untuk setiap dataset dan jumlah *cluster* yang diuji diperlihatkan dalam bentuk grafik pada gambar 6.1.



Gambar 6.1 Grafik jumlah iterasi pada setiap jumlah cluster

Perubahan nilai *silhouette coefficient* diakibatkan perbedaan keanggotaan *cluster* yang dihasilkan oleh proses *K-Means clustering*. Perbedaan keanggotaan ini menyebabkan perbedaan rata-rata jarak tiap *pixel* terhadap *pixel* lain pada *cluster* yang sama maupun berbeda. Berikut nilai *silhouette coefficient* yang dihasilkan pada pengujian direpresentasikan dalam bentuk grafik pada gambar 6.2.



Gambar 6.2 Grafik nilai *silhouette coefficient* pada setiap jumlah cluster

Berdasarkan grafik pada gambar 6.2 diketahui pergerakan nilai *silhouette coefficient* fluktuatif. Pada dataset Februari, semakin banyak jumlah *cluster* maka nilai *silhouette coefficient* semakin rendah. Pada dataset bulan Mei, nilai *silhouette coefficient* tertinggi diperoleh pada pengujian dengan 3 jumlah *cluster*. Pada dataset lain juga terjadi hal yang sama meski pada beberapa jumlah *cluster* tidak terjadi. Berdasarkan nilai *silhouette coefficient* yang dihasilkan pada keseluruhan

dataset, maka jumlah *cluster* optimal yaitu 2. Perubahan nilai *pixel* setiap bulan tidak sedikit, hal ini disebabkan kondisi cuaca, pencahayaan matahari, usia tanam atsiri, usia tanam padi, usia tanam pada kebun lain, dan pembangunan.

6.3 Pengujian *External Criteria*

Pengujian *external criteria* menggunakan metode *purity* dimaksudkan untuk menguji kemurnian *cluster* terhadap *class* sebenarnya. Data *class* sebenarnya yang digunakan pada pengujian ini diperoleh dari observasi lapang dan telah dijelaskan pada bab sebelumnya. Hasil pengujian ini berupa nilai *purity* dengan *range* nilai 0–1. Hasil *clustering* yang baik memiliki nilai *purity* mendekati 1.

Pengujian *external criteria* ini menggunakan 5 dataset citra yaitu dari Februari hingga Juni. Dataset bulan Juli tidak digunakan karena menghasilkan nilai *silhouette coefficient* sangat rendah dengan terdapat nilai di bawah 0, sehingga dapat diketahui bahwa hasil *clustering* pada dataset bulan Juli tidak bagus. Pada setiap dataset diuji menggunakan jumlah *cluster* 2–6. Hasil pengujian *purity* pada dataset bulan Februari dapat dilihat pada tabel 6.7 untuk jumlah *cluster* 2 sampai tabel 6.11 untuk jumlah *cluster* 6. Untuk hasil pengujian *purity* pada dataset lain terlampir. Angka yang ditampilkan pada hasil pengujian *purity* ini merupakan jumlah anggota kelas yang masuk pada sebuah *cluster*. Kolom yang berwarna kuning merupakan kelas yang memiliki frekuensi tertinggi pada sebuah *cluster*.

Tabel 6.7 Hasil pengujian purity bulan Februari untuk 2 cluster

Kelas	Frekuensi kelas setiap cluster	
	Cluster 0	Cluster 1
Bangunan	406	227
Sawah Padi	326	483
Kebun Bambu	36	75
Pohon Besar	28	78
Pemakaman	0	11
Rerumputan	16	0
Tanah Terbuka	0	2
Sawah Jagung	1	3
Serai Wangi	4	0
Nilam	2	16
Kebun tebu	0	8



Tabel 6.8 Hasil pengujian purity bulan Februari untuk 3 cluster

Kelas	Frekuensi kelas setiap cluster		
	Cluster 0	Cluster 1	Cluster 2
Bangunan	346	134	153
Sawah Padi	194	312	303
Kebun Bambu	24	41	46
Pohon Besar	11	50	45
Pemakaman	0	5	6
Rerumputan	15	1	0
Tanah Terbuka	0	1	1
Sawah Jagung	1	1	2
Serai Wangi	2	2	0
Nilam	1	3	14
Kebun tebu	0	0	8

Tabel 6.9 Hasil pengujian purity bulan Februari untuk 4 cluster

Kelas	Frekuensi kelas setiap cluster			
	Cluster 0	Cluster 1	Cluster 2	Cluster 3
Bangunan	332	91	75	135
Sawah Padi	173	166	206	264
Kebun Bambu	23	30	16	42
Pohon Besar	6	29	29	42
Pemakaman	0	1	4	6
Rerumputan	14	2	0	0
Tanah Terbuka	0	1	0	1
Sawah Jagung	0	1	1	2
Serai Wangi	2	2	0	0
Nilam	1	0	4	13
Kebun tebu	0	0	0	8

Tabel 6.10 Hasil pengujian purity bulan Februari untuk 5 cluster

Kelas	Frekuensi kelas setiap cluster				
	Cluster 0	Cluster 1	Cluster 2	Cluster 3	Cluster 4
Bangunan	110	69	280	105	69
Sawah Padi	147	204	108	178	172
Kebun Bambu	21	19	16	36	19
Pohon Besar	27	27	2	35	15
Pemakaman	0	4	0	4	3
Rerumputan	2	0	14	0	0
Tanah Terbuka	0	0	0	0	2
Sawah Jagung	1	1	0	2	0
Serai Wangi	3	0	1	0	0
Nilam	0	4	1	12	1
Kebun tebu	0	0	0	7	1

Tabel 6.11 Hasil pengujian purity bulan Februari untuk 6 cluster

Kelas	Frekuensi kelas setiap cluster					
	Cluster 0	Cluster 1	Cluster 2	Cluster 3	Cluster 4	Cluster 5
Bangunan	93	41	280	63	96	60
Sawah Padi	138	108	96	164	144	159
Kebun Bambu	19	2	17	32	26	15
Pohon Besar	22	6	1	36	30	11
Pemakaman	0	0	0	7	2	2
Rerumputan	2	0	14	0	0	0
Tanah Terbuka	0	0	0	0	0	2
Sawah Jagung	1	0	0	1	2	0
Serai Wangi	3	0	1	0	0	0
Nilam	0	2	0	7	8	1
Kebun tebu	0	0	0	0	7	1

Berdasarkan hasil pengujian yang telah dijelaskan pada tabel 6.7 sampai 6.11, maka nilai maksimum digunakan untuk perhitungan nilai *purity*. Perhitungan nilai *purity* menggunakan formula 2.7 yang telah dijelaskan pada bab sebelumnya. Hasil nilai *purity* untuk semua dataset ditampilkan pada tabel 6.12.

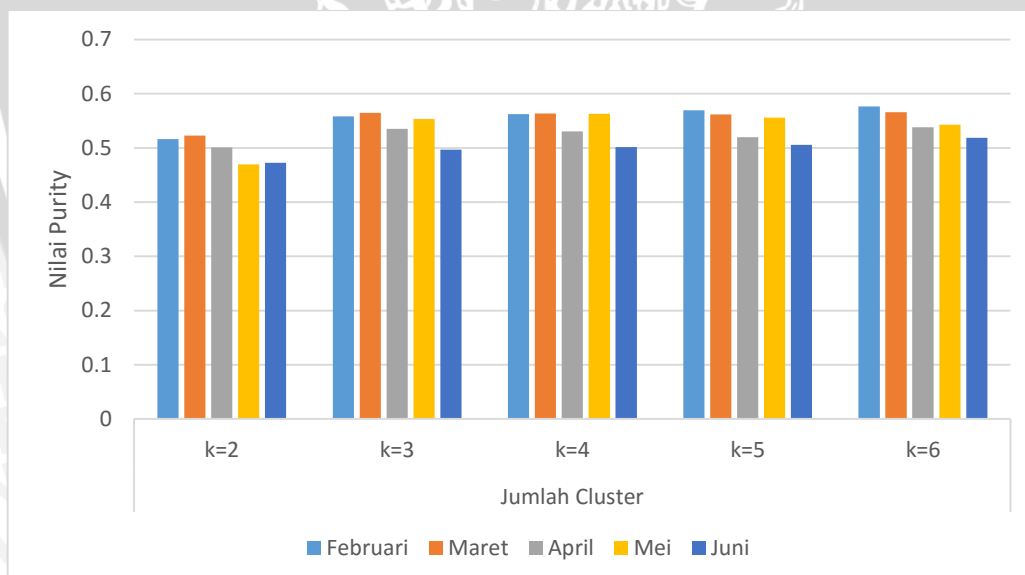
Tabel 6.12 Hasil nilai *purity*

Bulan	Jumlah Cluster				
	k=2	k=3	k=4	k=5	k=6
Februari	0.51626	0.55807	0.56214	0.56969	0.57666
Maret	0.52265	0.56446	0.56329	0.56156	0.565622
April	0.501161	0.53542	0.530197	0.51974	0.53833
Mei	0.469803	0.55343	0.56272	0.55575	0.54297
Juni	0.472706	0.49652	0.50174	0.505807	0.51858

Berdasarkan tabel 6.12 diketahui bahwa nilai *purity* tertinggi terjadi ketika *clustering* pada dataset bulan Februari dengan jumlah *cluster* 6 yang menghasilkan nilai *purity* 0,57666. Nilai *purity* terendah terjadi saat *clustering* pada dataset bulan Mei dengan jumlah *cluster* 2 yang menghasilkan nilai *purity* 0,469803.

6.4 Analisis Pengujian *External Criteria*

Analisis pengujian ini dimaksudkan untuk mengetahui penyebab dari nilai *purity* yang dihasilkan. Nilai *purity* dihasilkan dari komparasi frekuensi keanggotaan kelas sebenarnya pada *cluster* akhir. Perubahan nilai *purity* untuk setiap dataset pengujian dan jumlah *cluster* direpresentasikan ke dalam sebuah grafik pada gambar 6.5.

**Gambar 6.3 Grafik nilai *purity* dan jumlah *cluster***

Pada bulan Februari dan Maret nilai *purity* berada di atas 0,5. Nilai yang dihasilkan pada dataset ini hanya berasal dari *cluster* yang didominasi oleh kelas bangunan dan sawah padi. Hal ini dapat dilihat pada tabel 6.7 sampai 6.11. Tanaman padi merupakan tanaman yang mendominasi pada area penelitian.

Dominasi *pixel* tanaman padi menyebabkan kelas tanaman padi mendominasi di hampir semua *cluster* sehingga pada pengujian *purity* ini tidak didapat *cluster* yang didominasi oleh kelas tanaman atsiri. Kondisi ini disebabkan nilai *pixel* tanaman padi jauh lebih banyak daripada tanaman atsiri sehingga sistem mengenali tanaman atsiri dan tanaman padi sebagai satu *cluster* yang sama.

Pada bulan April hingga juni terdapat nilai *purity* yang berada di bawah 0,5. Pada bulan tersebut usia atsiri dan usia tanam padi semakin tua. Pada usia tua warna visual tanaman atsiri semakin merah dan warna visual tanaman padi semakin menguning. Perubahan yang terjadi secara visual ini ternyata tidak mampu ditangkap oleh sensor satelit pada komposit BAND *visible green*, BAND *visible red*, dan BAND *near infrared* dengan nilai *pixel* yang jauh berbeda. Perbedaan nilai *pixel* antar tanaman masih tipis sehingga pengenalan oleh metode *improved K-Means* masih buruk bahkan nilai *purity* semakin rendah. Berdasarkan analisis hasil pengujian *external criteria* yang telah dibahas, hasil *clustering* menggunakan metode *improved K-Means* masih belum dapat mengelompokkan tanaman dengan jenis yang berbeda dengan baik.



BAB 7

PENUTUP

7.1 Kesimpulan

Berdasarkan hasil perancangan, implementasi, dan pengujian yang telah dilakukan sebelumnya, maka diperoleh kesimpulan sebagai berikut :

1. Implementasi metode *improved K-Means* untuk identifikasi tanaman atsiri berbasis citra satelit dapat dilakukan. Sistem ini dapat menerima input berupa citra satelit *multispectral* yang kemudian diproses dengan *pre-processing* citra menggunakan metode *histogram equalization*. Proses yang terjadi dalam sistem berupa inisialisasi *cluster* awal menggunakan nilai v kemudian sistem melakukan proses *K-Means clustering*. Output yang dihasilkan oleh sistem ini berupa keanggotaan *cluster* terbaru yang ditampilkan dalam bentuk tabel dan visual.
2. Identifikasi tanaman atsiri menggunakan metode *improved K-Means* berbasis citra satelit ini telah diuji menggunakan 2 kriteria yaitu *internal* dan *external criteria*. Hasil pengujian *internal* menggunakan *silhouette coefficient* menunjukkan bahwa inisialisasi jumlah *cluster* menggunakan jumlah puncak histogram tidak menghasilkan kualitas *clustering* yang optimal. *Clustering* menggunakan metode *K-Means* sendiri hanya menghasilkan *silhouette coefficient* paling besar 75,08913% ketika pengujian menggunakan dataset bulan Februari dan jumlah *cluster* 2. Pada pengujian *external criteria* menggunakan metode *purity*, nilai *purity* untuk jumlah *cluster* yang berbeda bergerak fluktuatif. Hasil pada pengujian *purity*, tidak ada *cluster* yang didominasi oleh *pixel* tanaman atsiri. Kondisi ini diketahui disebabkan oleh jumlah *pixel* tanaman atsiri yang terlalu sedikit dibandingkan dengan *pixel* tanaman di sekitarnya.

7.2 Saran

Berdasarkan hasil penelitian yang telah dilakukan serta kesimpulan yang telah dicapai, maka penulis menyarankan :

1. Perlu melakukan penelitian tentang identifikasi tanaman atsiri berbasis citra satelit menggunakan metode *improved K-Means* dengan dataset lain yang memiliki *pixel* tanaman atsiri dan *pixel* kelas lain yang seimbang.
2. Pada inisialisasi *improved K-Means* menggunakan jumlah puncak histogram sebagai jumlah *cluster*, perlu dilakukan penelitian menggunakan histogram yang dinormalisasi atau diproses terlebih dahulu untuk menekan jumlah puncak histogram.
3. Pada penelitian selanjutnya dapat digunakan nilai *vegetation index* atau kombinasi BAND lain sebagai parameter untuk identifikasi tanaman atsiri.

DAFTAR PUSTAKA

- [KPE-15] Direktorat Jenderal Perkebunan Kementerian Pertanian, *Luas Areal Perkebunan Angka Estimasi Tahun 2013*, <http://ditjenbun.pertanian.go.id/statis-35-luasareal.html>, diakses pada 24 Maret 2015.
- [SUT-86] Sutanto, *Pengetahuan Dasar Interpretasi Citra*, Gadjah Mada University Press, Yogyakarta, 1986.
- [KIN-15] Kementerian Perindustrian, *Pemasok 90% Bahan Baku Dunia, Tapi RI Masih Impor Parfum*, <http://www.kemenperin.go.id/artikel/1921/Pemasok-90-Bahan-Baku-Dunia,-Tapi-RI-Masih-Impor-Parfum>, diakses pada 24 Maret 2015.
- [LIL-79] Lillesand, M. Thomas, Kiefer, Ralph, *Remote Sensing and Image Interpretation*, Wiley, University of California, 1979.
- [KAA-05] Kardinan, Agus, *Tanaman Penghasil Minyak Atsiri Komoditas Wangi Penuh Potensi*, AgroMedia Pustaka, Depok, 2005.
- [PES-14] Peijun Sun, Dengfeng Xie, Jinshui Zhang, Xiufang Zhu, Fenghua Wei, Zhoumiqi Yuan, *Tempora-Spatial-Probabilistic Model Based For Mapping Paddy Rice Using Multi-Temporal Landsat Images*, State Key Laboratory of Earth Surface Processes and Resource Ecology/College of Resources Science and Technology, Beijing Normal University, Beijing, China, 2014.
- [HOY-12] Hong Yao, Qingling Duan, Daoliang Li, Jianping Wang, *An improved K-Means clustering algorithm for fish image segmentation*, College of Information and Electrical Engineering, China Agricultural University, Beijing, China, 2012.
- [DAP-12] Danoedoro, Projo, *Pengantar Peninderaan Jauh Digital*, Andi, Yogyakarta, 2012.
- [XXT-04] Xiangming Xiaoa, T, Stephen Bolesa, Jiyuan Liub, Dafang Zhuangb, Steve Frolikinga, Changsheng Lia, William Salasc, Berrien Moore Illa, *Mapping paddy rice agriculture in southern China using multi-temporal MODIS images*, Institute for the Study of Earth, Oceans and Space, University of New Hampshire, Durham, NH 03824, USA, 2004.
- [GOW-08] Gonzalez, C, Rafael., and Woods, E, Richard., *Digital Image Processing 3rd Edition*, Pearson Prentice Hall, New Jersey, USA, 2008.
- [GUE-52] Guenther, *The Essensial Oils*, D. Van Norstrand Co.Inc. 2nd ed. Vol. III, New York, 1952
- [HIM-98] Hidayat, Moko, dkk, *Budidaya*, Monograf V, Balai Penelitian Tanaman Rempah dan Obat, Bogor, 1998



- [MAQ-67] J. B. MacQueen, *Some Methods for classification and Analysis of Multivariate Observations*, Proceedings of 5-th Berkeley Symposium on Mathematical Statistics and Probability, Berkeley, University of California Press, 1967
- [KOG-07] Kogan, Jacob, *Introduction to Clustering Large and High-Dimensional Data*, Cambridge University Press, New York, USA, 2007.
- [DEM-12] Deepa, M., Revathy, P., *Validation of Document Clustering based on Purity and Entropy Measures*, International Journal of Advanced Research in Computer and Communication Engineering Vol. 1, Issue 3, Rajalakshmi Engineering College, Thandalam, India, 2012.
- [MSN-05] Murti, Darlis H., Suciati,Nanik., & Nanjaya , Daru., *Clustering Data Non-Numerik Dengan Pendekatan Algoritma K-Means Dan Hamming Distance Studi Kasus Biro Jodoh*, JUTI Vol .4 No.1, Fakultas Teknologi Informasi, Institut Teknologi Sepuluh Nopember, Surabaya, 2005.



LAMPIRAN A HASIL PERHITUNGAN MANUALISASI

A.1 Tabel Hasil Perhitungan Jumlah *Euclidean Distance* setiap Pixel

Pixel ke-	Total jarak
1	57832
2	57789
3	52015
4	75002
5	94465
6	161238
7	107910
8	57491
9	76356
10	64361
11	56791
12	98048
13	94594
14	63574
15	54811
16	78115
17	84738
18	97006
19	74237
20	109005
21	67049
22	56571
23	61375
24	76720
25	69044
26	76166
27	93146
28	80201
29	59216
30	58605
31	62001
32	71628
33	53279
34	64559
35	91186
36	83219
37	54827
38	55843

Pixel ke-	Total jarak
39	65496
40	79364
41	60248
42	52605
43	115768
44	65522
45	58493
46	69173
47	71157
48	68489
49	58162
50	53120
51	109736
52	57308
53	59283
54	64020
55	71512
56	59991
57	73091
58	68032
59	63150
60	55698
61	54279
62	58493
63	89218
64	59135

A.2 Tabel Hasil Perhitungan Jumlah Nilai v setiap Pixel

Pixel ke	Jumlah v
1	0.736748
2	0.730985
3	0.665944
4	1.066734
5	1.413429
6	2.459301
7	1.640195
8	0.728513
9	1.03877
10	0.835466
11	0.73009
12	1.499048
13	1.443987



Pixel ke	Jumlah v
14	0.910455
15	0.69122
16	1.050539
17	1.190133
18	1.368105
19	1.061572
20	1.658944
21	0.968178
22	0.713699
23	0.790059
24	1.044369
25	0.951712
26	1.062027
27	1.422038
28	1.206024
29	0.791735
30	0.745159
31	0.803506
32	0.96807
33	0.685792
34	0.873306
35	1.390081
36	1.253063
37	0.705658
38	0.712166
39	0.847279
40	1.093833
41	0.793556
42	0.668193
43	1.765379
44	0.942866
45	0.74568
46	0.938517
47	0.940523
48	0.906926
49	0.754793
50	0.697146
51	1.679821
52	0.751316
53	0.764693
54	0.856886
55	0.966749

Pixel ke	Jumlah v
56	0.769616
57	1.078467
58	0.993057
59	0.885517
60	0.708477
61	0.683749
62	0.754328
63	1.220181
64	0.785633

A.3 Table Sorting Jumlah Nilai v

Pixel ke	Jumlah v
3	0.665944
42	0.668193
61	0.683749
33	0.685792
15	0.69122
50	0.697146
37	0.705658
60	0.708477
38	0.712166
22	0.713699
8	0.728513
11	0.73009
2	0.730985
1	0.736748
30	0.745159
45	0.74568
52	0.751316
62	0.754328
49	0.754793
53	0.764693
56	0.769616
64	0.785633
23	0.790059
29	0.791735
41	0.793556
31	0.803506
10	0.835466
39	0.847279
54	0.856886
34	0.873306

Pixel ke-	Jumlah v
59	0.885517
48	0.906926
14	0.910455
46	0.938517
47	0.940523
44	0.942866
25	0.951712
55	0.966749
32	0.96807
21	0.968178
58	0.993057
9	1.03877
24	1.044369
16	1.050539
19	1.061572
26	1.062027
4	1.066734
57	1.078467
40	1.093833
17	1.190133
28	1.206024
63	1.220181
36	1.253063
18	1.368105
35	1.390081
5	1.413429
27	1.422038
13	1.443987
12	1.499048
7	1.640195
20	1.658944
51	1.679821
43	1.765379
6	2.459301

A.4 Tabel Inisialisasi Cluster Awal

Pixel ke-	BAND3	BAND4	BAND5	Jarak C1	Jarak C2	Jarak C3	Cluster
1	11001	11824	17277	474.427	429.148	194.142	3
2	10953	11725	17027	390.699	308.054	178.129	3
3	10795	11406	17188	0	98.7978	307.405	1
4	10436	10721	16769	879.583	912.076	1156.7	1
5	10195	10148	17005	1405.72	1466.01	1706.34	1

Pixel ke-	BAND3	BAND4	BAND5	Jarak C1	Jarak C2	Jarak C3	Cluster
6	9678	9076	17865	2671.13	2752.31	2964.67	1
7	10322	10196	18374	1759.1	1853.04	1989.92	1
8	11008	11617	16977	366.621	295.327	216.141	3
9	11206	12078	17793	993.242	986.745	773.714	3
10	11136	11960	17325	664.805	622.502	371.459	3
11	11036	11735	17421	469.692	460.054	253.726	3
12	10142	10013	17563	1583.5	1664.63	1878.6	1
13	10155	10083	17556	1515.04	1596.08	1810.43	1
14	10520	10788	17425	716.741	803.167	1007.05	1
15	11012	11658	17185	332.569	288.82	34.4964	3
16	11291	12174	17545	981.473	951.454	704.882	3
17	11067	11903	18233	1188.7	1217	1078.17	3
18	11212	12119	18324	1404.55	1421.48	1249.96	3
19	10723	11254	18153	979.547	1055.17	1074.92	1
20	10213	10195	18358	1781.61	1873.7	2019.87	1
21	10601	10875	17801	833.886	928.184	1059.8	1
22	10953	11703	17062	359.234	281.165	137.844	3
23	11056	11917	17306	585.804	540.565	299.506	3
24	11175	12099	17800	999.596	991.852	782.476	3
25	10915	11696	17979	850.988	889.094	794.669	3
26	10960	11781	18117	1015.33	1049.77	937.949	3
27	10166	10150	17700	1495.1	1579.71	1783.39	1
28	10328	10433	17725	1205.48	1294.13	1482.99	1
29	10926	11585	17709	566.253	608.186	527.986	3
30	11015	11829	17198	476.895	419.421	180.125	3
31	11056	11929	17390	618.429	583.317	350.805	3
32	11170	11986	17759	896.139	894.211	688.327	3
33	10833	11567	17402	270.483	292.776	272.428	1
34	10923	11749	17820	730.381	756.134	641.611	3
35	10240	10174	17731	1456.26	1543.28	1739.81	1
36	10269	10296	17423	1250.6	1329.62	1548.99	1
37	10952	11648	17446	387.01	395.624	259.355	3
38	10841	11460	16914	283.034	217.956	362.069	2
39	11127	11970	17186	654.465	595.618	350.277	3
40	11221	12000	17968	1068.98	1078.83	887.614	3
41	10677	11292	16790	430.493	401.648	615.894	2
42	10791	11482	17125	98.7978	0	261.111	2
43	9951	9740	17311	1871.64	1942.87	2174.72	1
44	10466	10732	17337	764.669	844.434	1064.23	1
45	10865	11597	16879	369.949	281.455	333.745	2
46	10690	11120	16592	669.356	652.176	849.852	2
47	10933	11532	16546	668.643	598.252	654.851	2

Pixel ke-	BAND3	BAND4	BAND5	Jarak C1	Jarak C2	Jarak C3	Cluster
48	11138	12036	17521	790.846	764.291	532.145	3
49	10732	11378	16835	359.669	313.683	510.637	2
50	10709	11269	17226	166.16	249.588	470.384	1
51	10033	9818	17520	1792.38	1870.69	2090.57	1
52	10765	11230	16888	349.107	346.914	560.623	2
53	10856	11436	16796	397.85	338.5	464.367	2
54	10739	11162	16701	547.577	533.742	731.691	2
55	10731	11211	16513	705.511	672.001	843.8	2
56	11138	11816	17286	543.464	507.825	248.542	3
57	10488	10679	17829	1016.69	1110.06	1264.78	1
58	10511	10703	17630	877.627	969.673	1147.15	1
59	10581	10824	17098	626.594	691.226	923.553	1
60	10894	11471	16932	282.067	219.041	325.14	2
61	10978	11653	17188	307.405	261.111	0	3
62	10852	11408	16816	376.347	323.54	462.909	2
63	10881	11429	16172	1019.89	958.706	1044.91	2
64	10748	11145	16864	418.696	428.415	644.934	1

A.5 Tabel Cluster Baru Hasil Iterasi Pertama

Pixel ke-	BAND3	BAND4	BAND5	Jarak C1	Jarak C2	Jarak C3	Cluster
1	11001	11824	17277	1475	722	264	3
2	10953	11725	17027	1435	473	533	2
3	10795	11406	17188	1045	439	625	2
4	10436	10721	16769	797	748	1503	2
5	10195	10148	17005	669	1390	1985	1
6	9678	9076	17865	1632	2790	3121	1
7	10322	10196	18374	898	2062	2001	1
8	11008	11617	16977	1389	392	606	2
9	11206	12078	17793	1790	1322	373	3
10	11136	11960	17325	1647	887	244	3
11	11036	11735	17421	1393	798	165	3
12	10142	10013	17563	553	1716	2058	1
13	10155	10083	17556	484	1653	1990	1
14	10520	10788	17425	329	937	1200	1
15	11012	11658	17185	1355	561	402	3
16	11291	12174	17545	1896	1230	394	3
17	11067	11903	18233	1701	1597	702	3
18	11212	12119	18324	1974	1790	848	3
19	10723	11254	18153	1025	1410	927	3
20	10213	10195	18358	897	2078	2038	1
21	10601	10875	17801	501	1180	1115	1

Pixel ke-	BAND3	BAND4	BAND5	Jarak C1	Jarak C2	Jarak C3	Cluster
22	10953	11703	17062	1404	479	506	2
23	11056	11917	17306	1576	819	235	3
24	11175	12099	17800	1795	1330	380	3
25	10915	11696	17979	1373	1276	496	3
26	10960	11781	18117	1512	1436	598	3
27	10166	10150	17700	451	1674	1932	1
28	10328	10433	17725	212	1435	1611	1
29	10926	11585	17709	1217	990	349	3
30	11015	11829	17198	1501	674	339	3
31	11056	11929	17390	1577	885	161	3
32	11170	11986	17759	1688	1237	284	3
33	10833	11567	17402	1156	681	390	3
34	10923	11749	17820	1381	1141	336	3
35	10240	10174	17731	414	1648	1881	1
36	10269	10296	17423	267	1377	1751	1
37	10952	11648	17446	1275	763	249	3
38	10841	11460	16914	1224	190	766	2
39	11127	11970	17186	1676	808	371	3
40	11221	12000	17968	1764	1433	486	3
41	10677	11292	16790	1119	155	1007	2
42	10791	11482	17125	1131	391	615	2
43	9951	9740	17311	911	1925	2398	1
44	10466	10732	17337	309	932	1285	1
45	10865	11597	16879	1358	267	729	2
46	10690	11120	16592	1165	318	1249	2
47	10933	11532	16546	1525	290	1045	2
48	11138	12036	17521	1703	1071	198	3
49	10732	11378	16835	1168	111	906	2
50	10709	11269	17226	882	496	749	2
51	10033	9818	17520	776	1898	2281	1
52	10765	11230	16888	1041	202	945	2
53	10856	11436	16796	1276	95	871	2
54	10739	11162	16701	1117	225	1129	2
55	10731	11211	16513	1288	295	1250	2
56	11138	11816	17286	1529	772	260	3
57	10488	10679	17829	355	1321	1341	1
58	10511	10703	17630	251	1143	1280	1
59	10581	10824	17098	574	686	1217	1
60	10894	11471	16932	1245	226	732	2
61	10978	11653	17188	1335	549	407	3
62	10852	11408	16816	1243	90	869	2
63	10881	11429	16172	1718	586	1437	2

<i>Pixel ke-</i>	BAND3	BAND4	BAND5	Jarak C1	Jarak C2	Jarak C3	Cluster
64	10748	11145	16864	994	260	1024	2

A.6 Tabel Cluster Baru Hasil Iterasi ke-4

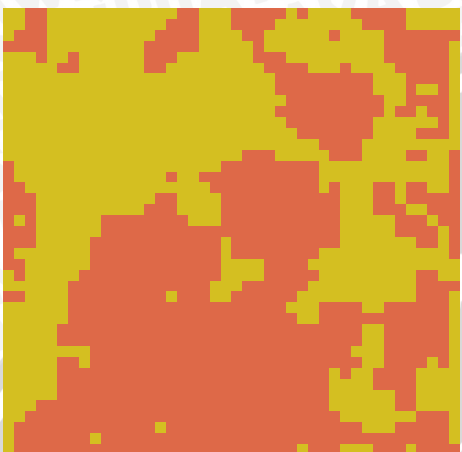
<i>Pixel ke-</i>	BAND3	BAND4	BAND5	Jarak C1	Jarak C2	Jarak C3	Cluster
1	11001	11824	17277	1791.852	673.5959	340.2055	3
2	10953	11725	17027	1757.702	447.7007	605.0891	2
3	10795	11406	17188	1367.941	342.7998	658.315	2
4	10436	10721	16769	1025.254	724.2452	1529.605	2
5	10195	10148	17005	660.1192	1347.767	1990.077	1
6	9678	9076	17865	1315.381	2724.893	3095.127	1
7	10322	10196	18374	722.7895	1966.081	1951.409	1
8	11008	11617	16977	1710.626	368.5719	675.0905	2
9	11206	12078	17793	2074.531	1262.928	337.2405	3
10	11136	11960	17325	1961.182	848.5299	324.176	3
11	11036	11735	17421	1703.569	732.1434	218.8903	3
12	10142	10013	17563	269.6666	1645.658	2039.898	1
13	10155	10083	17556	210.603	1581.066	1971.748	1
14	10520	10788	17425	651.5227	846.1107	1192.015	1
15	11012	11658	17185	1675.586	507.321	466.3866	3
16	11291	12174	17545	2197.413	1190.065	418.1827	3
17	11067	11903	18233	1938.947	1515.537	623.3065	3
18	11212	12119	18324	2212.434	1715.988	780.9005	3
19	10723	11254	18153	1222.724	1307.646	860.5341	3
20	10213	10195	18358	704.5153	1983.35	1989.454	1
21	10601	10875	17801	738.1479	1078.063	1079.846	1
22	10953	11703	17062	1726.818	444.7911	576.0253	2
23	11056	11917	17306	1891.588	776.4041	317.1199	3
24	11175	12099	17800	2079.67	1270.714	343.6889	3
25	10915	11696	17979	1631.26	1187.849	415.3741	3
26	10960	11781	18117	1756.55	1349.54	515.0916	3
27	10166	10150	17700	132.5469	1595.31	1908.322	1
28	10328	10433	17725	217.7188	1347.014	1584.481	1
29	10926	11585	17709	1504.518	901.096	298.4097	3
30	11015	11829	17198	1820.411	635.1542	416.8816	3
31	11056	11929	17390	1888.576	836.7989	240.8928	3
32	11170	11986	17759	1974.483	1173.62	239.1615	3
33	10833	11567	17402	1469.858	595.4676	407.1796	3
34	10923	11749	17820	1658.705	1057.968	259.012	3
35	10240	10174	17731	101.2749	1566.713	1855.289	1
36	10269	10296	17423	240.0617	1305.64	1739.814	1
37	10952	11648	17446	1585.54	686.4594	272.1223	3
38	10841	11460	16914	1543.911	139.0908	822.3567	2

Pixel ke-	BAND3	BAND4	BAND5	Jarak C1	Jarak C2	Jarak C3	Cluster
39	11127	11970	17186	1994.049	783.3702	453.447	3
40	11221	12000	17968	2032.393	1363.845	425.3241	3
41	10677	11292	16790	1426.652	141.0251	1056.492	2
42	10791	11482	17125	1453.518	306.2658	658.0305	2
43	9951	9740	17311	678.6554	1870.816	2388.501	1
44	10466	10732	17337	623.4671	848.8294	1281.722	1
45	10865	11597	16879	1678.821	262.6181	794.9688	2
46	10690	11120	16592	1448.036	358.4101	1299.794	2
47	10933	11532	16546	1833.807	383.3945	1116.637	2
48	11138	12036	17521	2006.356	1022.195	234.6997	3
49	10732	11378	16835	1482.356	69.84457	958.8554	2
50	10709	11269	17226	1204.435	392.3516	768.8887	2
51	10033	9818	17520	495.3252	1833.14	2264.366	1
52	10765	11230	16888	1353.268	125.1911	988.9534	2
53	10856	11436	16796	1591.442	122.7903	931.6118	2
54	10739	11162	16701	1413.391	243.1688	1177.781	2
55	10731	11211	16513	1573.86	368.685	1306.39	2
56	11138	11816	17286	1844.673	727.9223	339.4457	3
57	10488	10679	17829	526.7944	1222.86	1306.876	1
58	10511	10703	17630	530.3568	1049.097	1257.463	1
59	10581	10824	17098	871.5818	615.3728	1231.083	2
60	10894	11471	16932	1565.084	180.43	789.8074	2
61	10978	11653	17188	1655.319	492.4563	469.6527	3
62	10852	11408	16816	1558.12	92.54577	927.6401	2
63	10881	11429	16172	2002.394	689.2147	1507.902	2
64	10748	11145	16864	1300.279	206.5291	1064.947	2

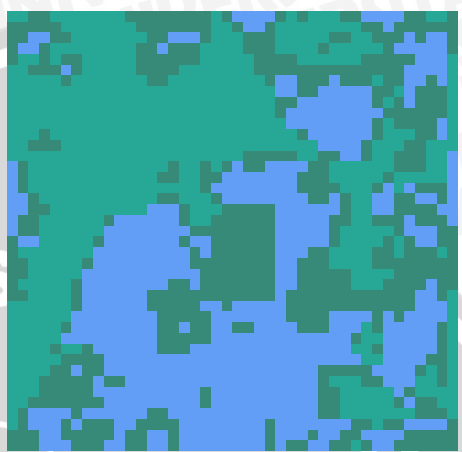
LAMPIRAN B HASIL PENGUJIAN

B.1 Citra Hasil *Clustering*

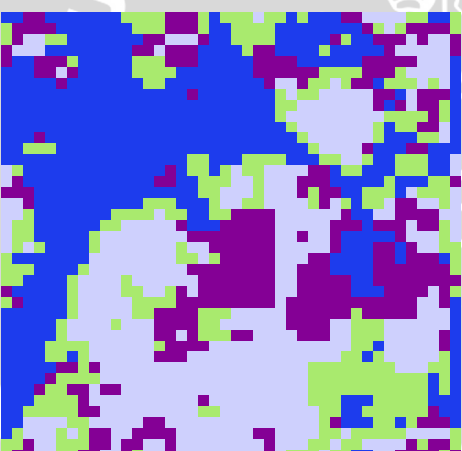
B.1.1 Dataset Bulan Februari



Jumlah Cluster 2



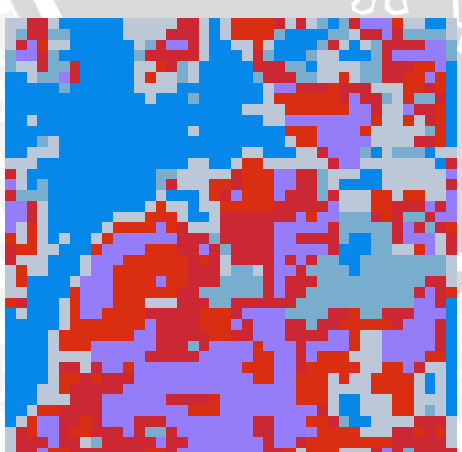
Jumlah Cluster 3



Jumlah Cluster 4

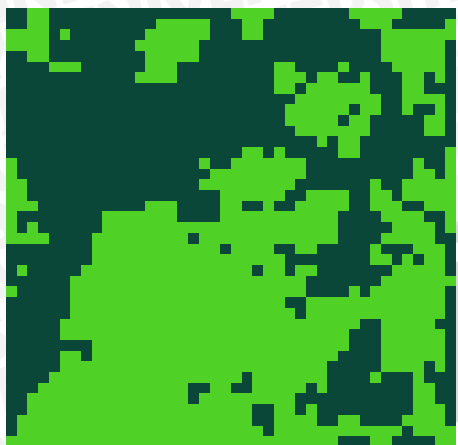


Jumlah Cluster 5

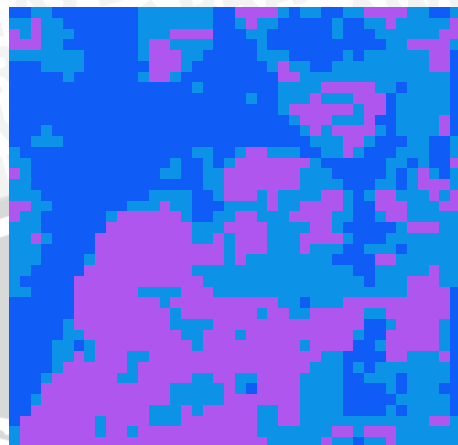


Jumlah Cluster 6

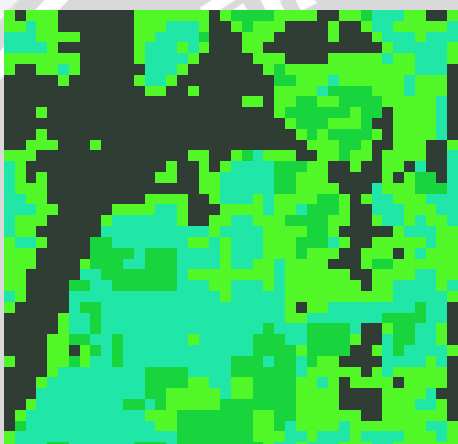
B.1.2 Dataset Bulan Maret



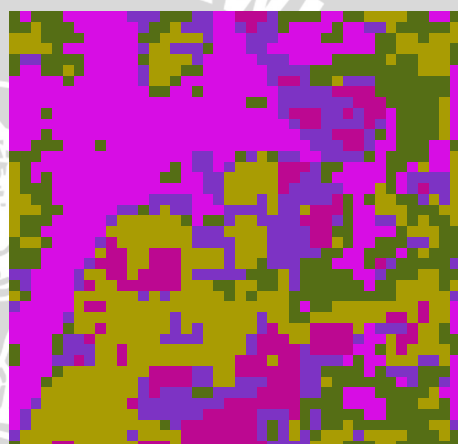
Jumlah Cluster 2



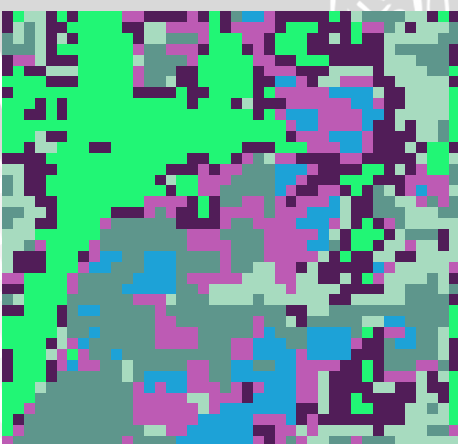
Jumlah Cluster 3



Jumlah Cluster 4

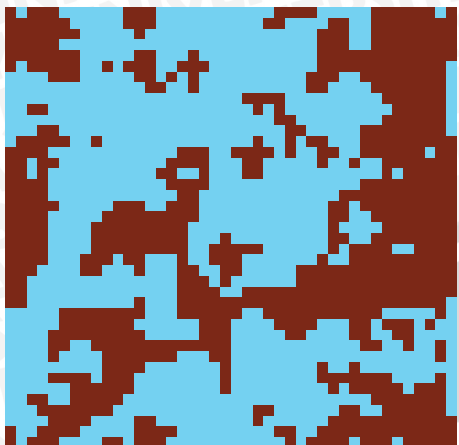


Jumlah Cluster 5

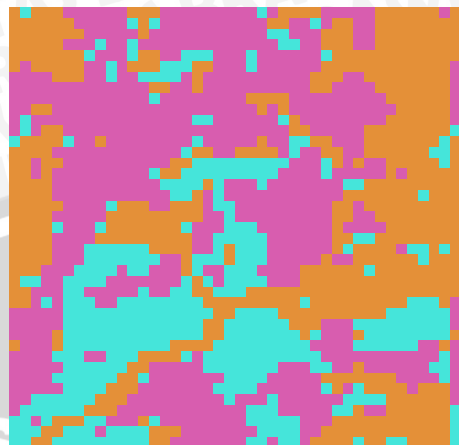


Jumlah Cluster 6

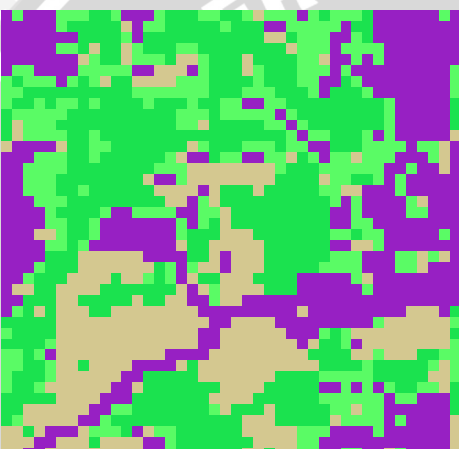
B.1.3 Dataset Bulan April



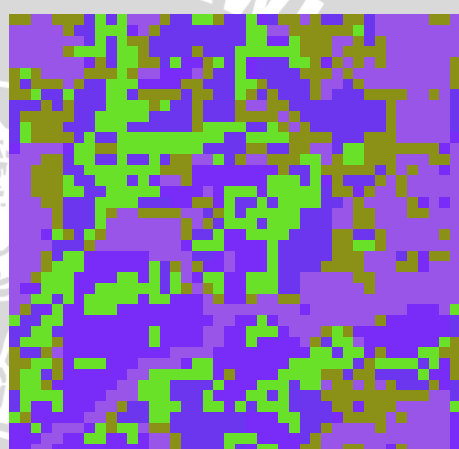
Jumlah Cluster 2



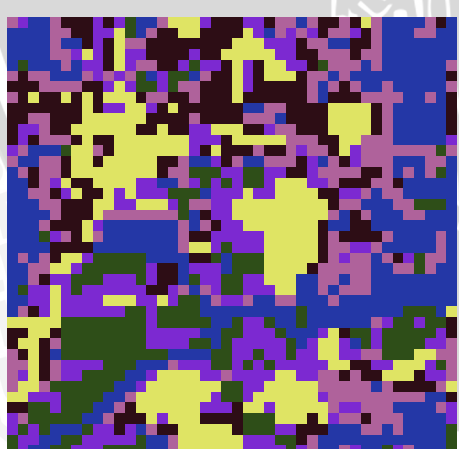
Jumlah Cluster 3



Jumlah Cluster 4



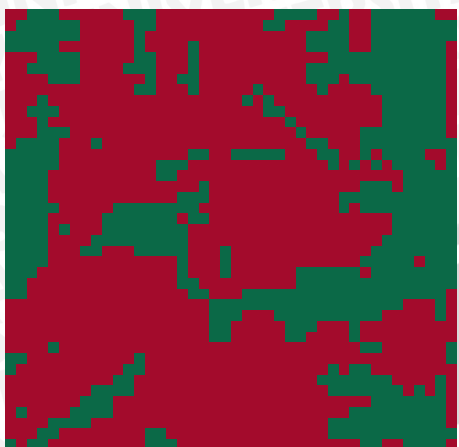
Jumlah Cluster 5



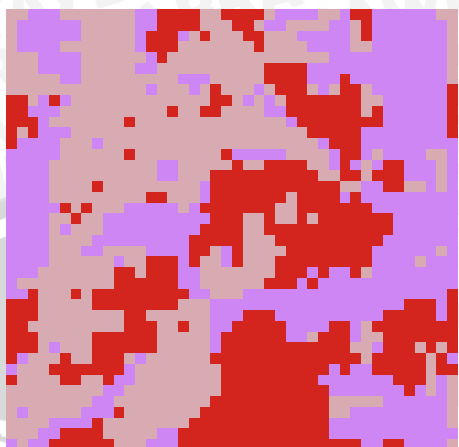
Jumlah Cluster 6



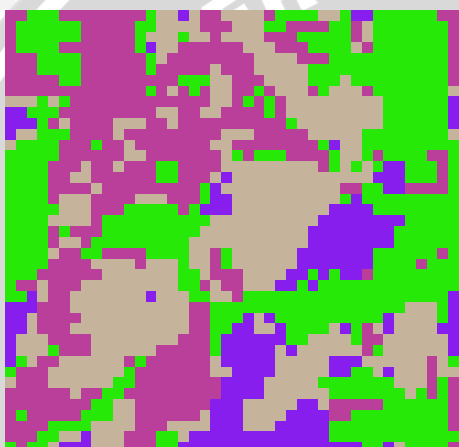
B.1.4 Dataset Bulan Mei



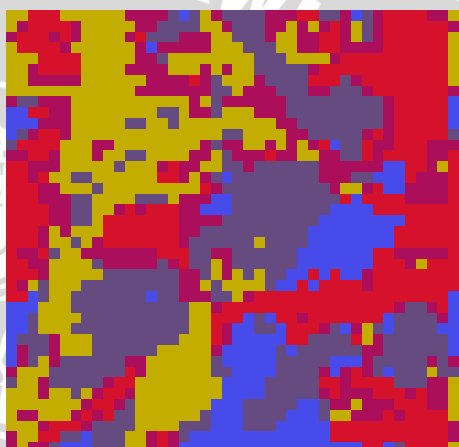
Jumlah Cluster 2



Jumlah Cluster 3



Jumlah Cluster 4



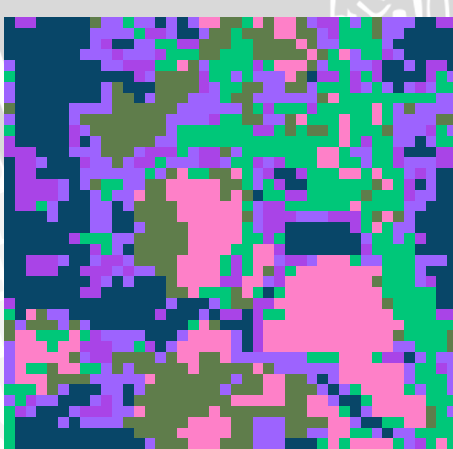
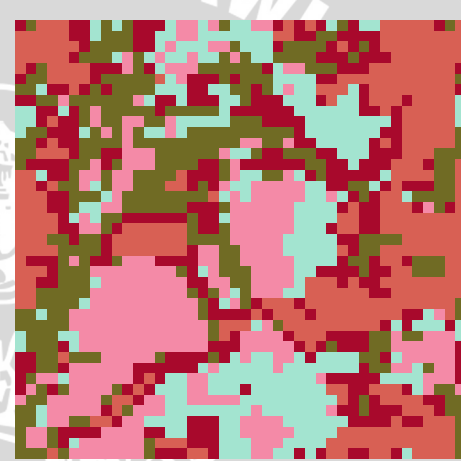
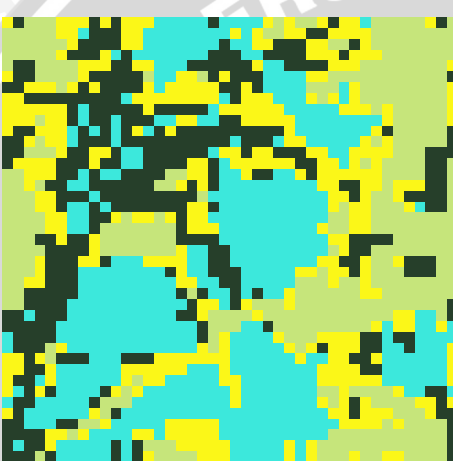
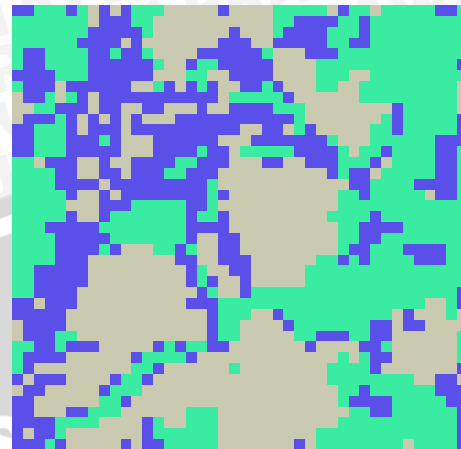
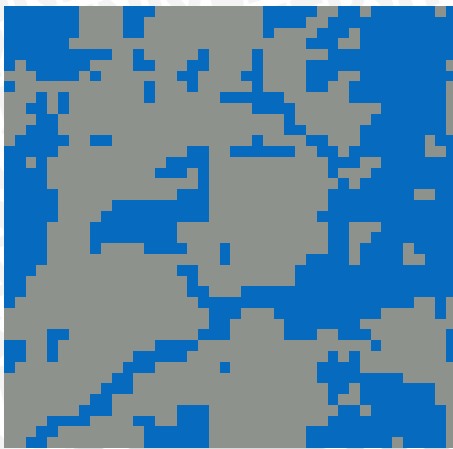
Jumlah Cluster 5



Jumlah Cluster 6



B.1.5 Dataset Bulan Juni



B.2 Hasil Pengujian *Purity*

B.2.1 Tabel Hasil Pengujian *Purity* Bulan Maret 2 Cluster

Kelas	Frekuensi kelas setiap cluster	
	Cluster 0	Cluster 1
Bangunan	419	214
Sawah Padi	328	481
Kebun Bambu	27	84
Pohon Besar	34	72
Pemakaman	1	10
Rerumputan	16	0
Tanah Terbuka	1	1
Sawah Jagung	1	3
Serai Wangi	3	1
Nilam	4	14
Kebun tebu	0	8

B.2.2 Tabel Hasil Pengujian *Purity* Bulan Maret 3 Cluster

Kelas	Frekuensi kelas setiap cluster		
	Cluster 0	Cluster 1	Cluster 2
Bangunan	342	151	140
Sawah Padi	179	325	305
Kebun Bambu	19	27	65
Pohon Besar	8	64	34
Pemakaman	0	1	10
Rerumputan	14	2	0
Tanah Terbuka	0	1	1
Sawah Jagung	0	1	3
Serai Wangi	2	2	0
Nilam	1	9	8
Kebun tebu	0	0	8

B.2.3 Tabel Hasil Pengujian *Purity* Bulan Maret 4 Cluster

Kelas	Frekuensi kelas setiap cluster			
	Cluster 0	Cluster 1	Cluster 2	Cluster 3
Bangunan	149	107	317	60
Sawah Padi	279	265	156	109
Kebun Bambu	22	58	16	15
Pohon Besar	58	23	4	21
Pemakaman	1	5	0	5
Rerumputan	2	0	14	0
Tanah Terbuka	1	1	0	0
Sawah Jagung	1	2	0	1
Serai Wangi	2	0	2	0
Nilam	9	1	1	7
Kebun tebu	0	7	0	1

B.2.4 Tabel Hasil Pengujian *Purity* Bulan Maret 5 Cluster

Kelas	Frekuensi kelas setiap cluster				
	Cluster 0	Cluster 1	Cluster 2	Cluster 3	Cluster 4
Bangunan	103	96	307	79	48
Sawah Padi	183	247	149	149	81
Kebun Bambu	13	55	15	14	14
Pohon Besar	43	18	5	22	18
Pemakaman	0	5	0	1	5
Rerumputan	1	0	14	1	0
Tanah Terbuka	0	1	0	1	0
Sawah Jagung	0	2	0	1	1
Serai Wangi	0	0	2	2	0
Nilam	3	1	0	8	6
Kebun tebu	0	7	0	0	1

B.2.5 Tabel Hasil Pengujian *Purity* Bulan Maret 6 Cluster

Kelas	Frekuensi kelas setiap cluster					
	Cluster 0	Cluster 1	Cluster 2	Cluster 3	Cluster 4	Cluster 5
Bangunan	125	82	257	54	75	40
Sawah Padi	147	206	92	143	148	73
Kebun Bambu	11	54	13	10	10	13
Pohon Besar	18	14	3	33	20	18
Pemakaman	0	4	0	0	2	5
Rerumputan	2	0	14	0	0	0
Tanah Terbuka	0	1	0	0	1	0
Sawah Jagung	1	3	0	0	0	0
Serai Wangi	1	0	2	0	1	0
Nilam	1	0	0	2	10	5
Kebun tebu	0	8	0	0	0	0

B.2.6 Tabel Hasil Pengujian *Purity* Bulan April 2 Cluster

Kelas	Frekuensi kelas setiap cluster	
	Cluster 0	Cluster 1
Bangunan	211	422
Sawah Padi	441	368
Kebun Bambu	39	72
Pohon Besar	60	46
Pemakaman	7	4
Rerumputan	1	15
Tanah Terbuka	0	2
Sawah Jagung	4	0
Serai Wangi	2	2
Nilam	3	15
Kebun tebu	1	7

B.2.7 Tabel Hasil Pengujian *Purity* Bulan April 3 Cluster

Kelas	Frekuensi kelas setiap cluster		
	Cluster 0	Cluster 1	Cluster 2
Bangunan	166	361	106
Sawah Padi	347	248	214
Kebun Bambu	21	46	44
Pohon Besar	44	33	29
Pemakaman	5	4	2
Rerumputan	1	14	1
Tanah Terbuka	0	2	0
Sawah Jagung	3	0	1
Serai Wangi	1	1	2
Nilam	3	15	0
Kebun tebu	0	2	6

B.2.8 Tabel Hasil Pengujian *Purity* Bulan April 4 Cluster

Kelas	Frekuensi kelas setiap cluster			
	Cluster 0	Cluster 1	Cluster 2	Cluster 3
Bangunan	120	160	262	91
Sawah Padi	292	136	182	199
Kebun Bambu	17	17	36	41
Pohon Besar	40	12	25	29
Pemakaman	4	2	3	2
Rerumputan	1	5	9	1
Tanah Terbuka	0	1	1	0
Sawah Jagung	3	0	0	1
Serai Wangi	1	1	0	2
Nilam	2	2	14	0
Kebun tebu	0	0	2	6

B.2.9 Tabel Hasil Pengujian *Purity* Bulan April 5 Cluster

Kelas	Frekuensi kelas setiap cluster				
	Cluster 0	Cluster 1	Cluster 2	Cluster 3	Cluster 4
Bangunan	134	112	159	71	157
Sawah Padi	143	270	104	166	126
Kebun Bambu	12	16	23	37	23
Pohon Besar	11	39	20	26	10
Pemakaman	2	4	2	2	1
Rerumputan	1	1	8	0	6
Tanah Terbuka	1	0	1	0	0
Sawah Jagung	0	3	0	1	0
Serai Wangi	1	1	0	2	0
Nilam	2	2	9	0	5
Kebun tebu	0	0	0	6	2



B.2.10 Tabel Hasil Pengujian *Purity* Bulan April 6 Cluster

Kelas	Frekuensi kelas setiap cluster					
	Cluster 0	Cluster 1	Cluster 2	Cluster 3	Cluster 4	Cluster 5
Bangunan	104	91	152	89	148	49
Sawah Padi	142	235	88	138	94	112
Kebun Bambu	11	15	13	29	19	24
Pohon Besar	12	35	12	14	15	18
Pemakaman	2	4	0	0	3	2
Rerumputan	1	1	7	4	3	0
Tanah Terbuka	1	0	0	0	1	0
Sawah Jagung	0	3	0	0	0	1
Serai Wangi	1	1	0	1	0	1
Nilam	1	2	3	0	12	0
Kebun tebu	0	0	0	2	2	4

B.2.11 Tabel Hasil Pengujian *Purity* Bulan Mei 2 Cluster

Kelas	Frekuensi kelas setiap cluster	
	Cluster 0	Cluster 1
Bangunan	457	176
Sawah Padi	467	342
Kebun Bambu	86	25
Pohon Besar	58	48
Pemakaman	6	5
Rerumputan	15	1
Tanah Terbuka	1	1
Sawah Jagung	1	3
Serai Wangi	2	2
Nilam	18	0
Kebun tebu	8	0

B.2.12 Tabel Hasil Pengujian *Purity* Bulan Mei 3 Cluster

Kelas	Frekuensi kelas setiap cluster		
	Cluster 0	Cluster 1	Cluster 2
Bangunan	349	123	161
Sawah Padi	205	284	320
Kebun Bambu	45	44	22
Pohon Besar	11	48	47
Pemakaman	3	3	5
Rerumputan	12	4	0
Tanah Terbuka	0	1	1
Sawah Jagung	1	1	2
Serai Wangi	1	1	2
Nilam	5	13	0
Kebun tebu	1	7	0

B.2.13 Tabel Hasil Pengujian *Purity* Bulan Mei 4 Cluster

Kelas	Frekuensi kelas setiap cluster			
	Cluster 0	Cluster 1	Cluster 2	Cluster 3
Bangunan	295	146	34	158
Sawah Padi	135	254	107	313
Kebun Bambu	35	38	16	22
Pohon Besar	10	19	30	47
Pemakaman	4	2	1	4
Rerumputan	9	7	0	0
Tanah Terbuka	0	1	0	1
Sawah Jagung	1	1	0	2
Serai Wangi	1	0	1	2
Nilam	0	11	7	0
Kebun tebu	0	8	0	0

B.2.14 Tabel Hasil Pengujian *Purity* Bulan Mei 5 Cluster

Kelas	Frekuensi kelas setiap cluster				
	Cluster 0	Cluster 1	Cluster 2	Cluster 3	Cluster 4
Bangunan	242	140	33	118	100
Sawah Padi	100	134	103	236	236
Kebun Bambu	26	22	16	37	10
Pohon Besar	7	12	30	15	42
Pemakaman	2	4	1	2	2
Rerumputan	7	5	0	4	0
Tanah Terbuka	0	0	0	1	1
Sawah Jagung	0	1	0	1	2
Serai Wangi	1	1	1	0	1
Nilam	0	0	7	11	0
Kebun tebu	0	0	0	8	0

B.2.15 Tabel Hasil Pengujian *Purity* Bulan Mei 6 Cluster

Kelas	Frekuensi kelas setiap cluster					
	Cluster 0	Cluster 1	Cluster 2	Cluster 3	Cluster 4	Cluster 5
Bangunan	124	129	28	96	85	171
Sawah Padi	59	127	95	196	220	112
Kebun Bambu	16	19	14	28	8	26
Pohon Besar	6	11	27	18	40	4
Pemakaman	4	2	1	2	2	0
Rerumputan	2	4	0	2	0	8
Tanah Terbuka	0	0	0	1	1	0
Sawah Jagung	1	0	0	1	2	0
Serai Wangi	1	1	0	1	1	0
Nilam	0	0	7	7	0	4
Kebun tebu	0	0	0	8	0	0

B.2.16 Tabel Hasil Pengujian *Purity* Bulan Juni 2 Cluster

Kelas	Frekuensi kelas setiap cluster	
	Cluster 0	Cluster 1
Bangunan	224	409
Sawah Padi	405	404
Kebun Bambu	29	82
Pohon Besar	48	58
Pemakaman	8	3
Rerumputan	1	15
Tanah Terbuka	1	1
Sawah Jagung	3	1
Serai Wangi	2	2
Nilam	5	13
Kebun tebu	0	8

B.2.17 Tabel Hasil Pengujian *Purity* Bulan Juni 3 Cluster

Kelas	Frekuensi kelas setiap cluster		
	Cluster 0	Cluster 1	Cluster 2
Bangunan	231	191	211
Sawah Padi	185	347	277
Kebun Bambu	31	24	56
Pohon Besar	11	45	50
Pemakaman	3	7	1
Rerumputan	10	0	6
Tanah Terbuka	1	1	0
Sawah Jagung	0	3	1
Serai Wangi	2	2	0
Nilam	0	5	13
Kebun tebu	0	0	8

B.2.18 Tabel Hasil Pengujian *Purity* Bulan Juni 4 Cluster

Kelas	Frekuensi kelas setiap cluster			
	Cluster 0	Cluster 1	Cluster 2	Cluster 3
Bangunan	168	105	189	171
Sawah Padi	178	251	134	246
Kebun Bambu	21	6	29	55
Pohon Besar	11	43	9	43
Pemakaman	2	6	2	1
Rerumputan	2	0	9	5
Tanah Terbuka	0	1	1	0
Sawah Jagung	1	2	0	1
Serai Wangi	1	1	2	0
Nilam	3	2	0	13
Kebun tebu	0	0	0	8



B.2.19 Tabel Hasil Pengujian *Purity* Bulan Juni 5 Cluster

Kelas	Frekuensi kelas setiap cluster				
	Cluster 0	Cluster 1	Cluster 2	Cluster 3	Cluster 4
Bangunan	140	96	174	126	97
Sawah Padi	164	236	127	111	171
Kebun Bambu	21	5	26	16	43
Pohon Besar	4	42	9	27	24
Pemakaman	4	4	2	1	0
Rerumputan	1	0	9	4	2
Tanah Terbuka	1	0	1	0	0
Sawah Jagung	1	2	0	1	0
Serai Wangi	1	1	2	0	0
Nilam	3	2	0	11	2
Kebun tebu	0	0	0	2	6

B.2.20 Tabel Hasil Pengujian *Purity* Bulan Juni 6 Cluster

Kelas	Frekuensi kelas setiap cluster					
	Cluster 0	Cluster 1	Cluster 2	Cluster 3	Cluster 4	Cluster 5
Bangunan	51	96	135	166	109	76
Sawah Padi	93	236	135	90	101	154
Kebun Bambu	6	5	21	31	15	33
Pohon Besar	4	41	6	5	27	23
Pemakaman	3	4	1	2	1	0
Rerumputan	2	0	1	10	3	0
Tanah Terbuka	0	0	1	1	0	0
Sawah Jagung	0	2	1	0	1	0
Serai Wangi	0	1	1	2	0	0
Nilam	0	2	3	0	12	1
Kebun tebu	0	0	0	1	2	5

